



**MINISTÉRIO DA EDUCAÇÃO**  
**UNIVERSIDADE FEDERAL RURAL DA AMAZÔNIA – UFRA**  
**PROGRAMA DE PÓS GRADUAÇÃO EM AGRONOMIA**

**THAYNÁ DA CRUZ FERREIRA**

**MICROORGANISMOS COMO POTENCIAIS AGENTES PROMOTORES DO  
CRESCIMENTO EM PLANTAS DE JAMBU (*Acmella oleracea* (L.) R. K.  
Jansen)**

**BELÉM-PA**

**2023**

**THAYNÁ DA CRUZ FERREIRA**

**MICROORGANISMOS COMO POTENCIAIS AGENTES PROMOTORES DO  
CRESCIMENTO EM PLANTAS DE JAMBU (*Acmella oleracea* (L.) R. K.  
Jansen)**

Dissertação de mestrado apresentada à  
Universidade Federal Rural da Amazônia,  
como parte das exigências do Curso de  
Pós-graduação em Agronomia: área de  
concentração Produção Vegetal, para  
obtenção do título de Mestre.

Orientadora: Prof<sup>ª</sup>. Dr<sup>ª</sup>. Telma Fátima Vieira Batista  
Co-orientador: Prof. Dr. Gledson Luiz Salgado de Castro

**BELÉM-PA**

**2023**

Dados Internacionais de Catalogação na Publicação (CIP)  
Bibliotecas da Universidade Federal Rural da Amazônia  
Gerada automaticamente mediante os dados fornecidos pelo(a) autor(a)

---

F383m Ferreira, Thayná da Cruz Ferreira  
MICROORGANISMOS COMO POTENCIAIS AGENTES PROMOTORES DO CRESCIMENTO  
EM PLANTAS DE JAMBU (*Acmella oleracea* (L.) R. K. Jansen) / Thayná da Cruz Ferreira Ferreira. -  
2023.  
69 f. : il. color.

Dissertação (Mestrado) - Programa de PÓS-GRADUAÇÃO em Agronomia (PPGA), Campus Universitário  
de Belém, Universidade Federal Rural Da Amazônia, Belém, 2023.

Orientador: Profa. Dra. Telma Fátima Vieira Batista  
Coorientador: Profa. Dra. Gledson Luiz Salgado de Castro.

1. Microrganismos. 2. Promotores de Crescimento. 3. *Acmella oleracea*. 4. Sustentável. 5. Produção.  
I. Batista, Telma Fátima Vieira Batista. *orient.* II. Título

---

CDD 630.275

## THAYNÁ DA CRUZ FERREIRA


Dissertação de mestrado apresentada à Universidade Federal Rural da Amazônia, como parte das exigências do Curso de Pós-graduação em Agronomia: área de concentração Produção Vegetal, para obtenção do título de Mestre.

**Orientadora:** Prof.<sup>a</sup> Dr.<sup>a</sup> Telma Fátima Vieira Batista

**Co-orientador:** Prof. Dr. Gledson Luiz Salgado de Castro

Defesa: 26/05/2023


### ORIENTADORA:

Documento assinado digitalmente  
 TELMA FATIMA VIEIRA BATISTA  
Data: 26/05/2023 19:41:25-0300  
Verifique em <https://validar.iti.gov.br>

---


Prof.<sup>a</sup> Dr.<sup>a</sup> Telma Fátima Vieira Batista  
Universidade Federal Rural da Amazônia (UFRA)

### EXAMINADORES:

Documento assinado digitalmente  
 DENISE CASTRO LUSTOSA  
Data: 28/05/2023 10:46:34-0300  
Verifique em <https://validar.iti.gov.br>

---

Prof.<sup>a</sup> Dra. Denise Castro Lustosa- 1º Examinador  
Universidade Federal do Oeste do Pará - UFOPA

Documento assinado digitalmente  
 ITALO MARLONE GOMES SAMPAIO  
Data: 06/06/2023 21:09:50-0300  
Verifique em <https://validar.iti.gov.br>

---

Dr. Italo Malorne Gomes Sampaio - 2º Examinador  
Secretaria de Estado de Desenvolvimento Agropecuário da Pesca - SEDAP



---

Dr. Sérgio Antônio Lopes de Gusmão- 3º Examinador  
Universidade Federal Rural da Amazônia - UFRA

**BELÉM/PA**

**2023**

Dedico a Deus  
Aos meus pais Ormindá e José Maria  
À minha filha Valentina Ferreira, meu amor  
Ao meu namorado Madion Tavares  
À toda minha família e amigos, que foram essenciais na minha jornada.

## **AGRADECIMENTOS**

A Deus pelo dom da vida, pela minha saúde, força e fé.

A minha eterna gratidão aos meus pais Ormindia Ferreira e Jose Maria Ferreira, pelo amor, criação, dedicação e rede de apoio, que me fizeram chegar até aqui.

A minha filha Valentina Ferreira, que me dá forças todos os dias para alcançar meus objetivos

Ao meu namorado Madion Tavares que sempre me apoiou quando mais precisei, obrigada pelo amor, apoio e reciprocidade.

A minha orientadora professora Dr. Telma Fátima Vieira Batista pela orientação neste trabalho, paciência, disponibilidade e apoio em todos os momentos.

Ao meu Coorientador professor Dr. Gledson Luiz Salgado de Castro, pelas orientações no trabalho.

Ao CNPq, pelo financiamento do projeto e concessão da bolsa de estudo.

Aos meus amigos do grupo de pesquisa Gleiciane Rodrigues, Alessandra Moraes, Daniele Mendonça, Fernando Souza, Matheus Freitas, Diego Souza e Juliete Oliveira. Obrigada por me ajudarem nessa caminhada. Sem vocês, seria tudo mais difícil. Agradeço os ensinamentos e companheiros diários, ajuda nas minhas análises, nas minhas dúvidas e nas disciplinas. Muito obrigada pela força!

Por fim, a todos que contribuíram para a realização desse trabalho, mesmo que indiretamente.

**MUITO OBRIGADA!!**

## RESUMO GERAL

O jambu, *Acmella oleracea* (L.) R.K. Jansen, é uma hortaliça de grande importância econômica na região norte do Brasil. Entretanto, para o seu crescimento e produtividade são utilizadas várias aplicações químicas, como fertilizantes, inseticidas entre outros, que podem ser substituídas, atualmente, por vários produtos de base biológica, como os microrganismos que estimulam a produção vegetal. Objetivou-se avaliar fungos entomopatogênicos e agentes de biocontrole de doenças em plantas, na promoção de crescimento de plantas de jambu, por meio de parâmetros biométricos, fisiológicos e bioquímicos. Os bioensaios foram conduzidos em área comercial de agricultura periurbana, em canteiros suspensos protegido e não protegido, nos períodos chuvoso e seco. Foram utilizados três inoculantes biológicos: os fungos: *Metarhizium anisopliae*, *Beauveria bassiana* e o mix de *Trichoderma asperellum* (Isolados UFRA T06, UFRA T09, UFRA T12, UFRA T52), e o controle com aplicação somente de água. O delineamento experimental foi em blocos casualizados, com xxx repetições. Foram avaliados biomassa, trocas gasosas, clorofila, carboidratos e caracterização dos isolados quanto a solubilização de fosfato e produção de AIA. No período chuvoso, de acordo com a interação os parâmetros de crescimento foram significativos, onde o sistema protegido apresentou incremento na maioria das variáveis avaliadas, em relação ao não protegido. Os melhores resultados foram demonstrados por *M. anisopliae* e *T. asperellum*, em relação ao tratamento controle. No período seco, houve diferença significativa para todas as variáveis ( $p < 0,05$ ). Os isolados fúngicos foram capazes de incrementar os níveis de clorofila *a* e *b*, sacarose das plantas, solubilizar fosfato e produzir AIA. Conclui-se que, nas condições avaliadas, o melhor sistema de plantio para a cultura do jambu é o cultivo protegido, tanto no período seco como no chuvoso. Os fungos *M. anisopliae* e *B. bassiana* promovem o crescimento em plantas de jambu, por meio de incrementos na biomassa, trocas gasosas, clorofila *a* e *b* e sacarose, principalmente no período chuvoso. Quanto a caracterização dos isolados fúngicos, estes são solubilizadores de fosfato e produtores de AIA.

**PALAVRAS-CHAVE:** Cultivo protegido; trocas gasosas; microrganismos; carboidratos; produção; solubilização de fosfato; AIA.

## ABSTRACT

Jambu, *Acmella oleracea* (L.) R.K. Jansen is a vegetable of great economic importance in the northern region of Brazil. However, for its growth and productivity, various chemical applications are used, such as fertilizers, and insecticides, among others, which can currently be replaced by various biologically-based products, such as microorganisms that stimulate plant production. The aim was to evaluate entomopathogenic fungi and plant disease biocontrol agents in promoting the growth of jambu plants, using biometric, physiological, and biochemical parameters. The bioassays were conducted in a commercial area of peri-urban agriculture, in protected and unprotected hanging beds, during the rainy and dry periods. Three biological inoculants were used: the fungi: *Metarhizium anisopliae*, *Beauveria bassiana* and the *Trichoderma asperellum* mix (Isolates UFRA T06, UFRA T09, UFRA T12, UFRA T52), and the control with the application of water only. The experimental design was randomized blocks, with xxx replications. Biomass, gas exchange, chlorophyll, carbohydrates, and characterization of the isolates in terms of phosphate solubilization and AIA production were assessed. In the rainy season, according to the interaction, the growth parameters were significant, with the protected system showing an increase in most of the variables evaluated compared to the unprotected system. The best results were shown by *M. anisopliae* and *T. asperellum*, compared to the control treatment. In the dry period, there was a significant difference for all the variables ( $p < 0.05$ ). The fungal isolates were able to increase the levels of chlorophyll a and b, sucrose in the plants, solubilize phosphate and produce AIA. It can be concluded that, under the conditions evaluated, the best planting system for jambu is protected cultivation, both during the dry and rainy seasons. The fungi *M. anisopliae* and *B. bassiana* promote growth in jambu plants, through increases in biomass, gas exchange, chlorophyll a and b, and sucrose, especially in the rainy season. As for the characterization of the fungal isolates, they are phosphate solubilizers and AIA producers.

**KEYWORDS:** Protected cultivation; gas exchange; microorganisms; carbohydrates; production; phosphate solubilization; AIA



## LISTA DE ABREVIATURAS

AL Altura de plantas

DC Diâmetro do coleto

A Assimilação líquida de CO<sub>2</sub>

$C_i$  Concentração intercelular de CO<sub>2</sub>

$E$  Taxa de transpiração

$g_s$  Condutância estomática ao vapor de água

$A/C_i$  Eficiência instantânea de carboxilação

AIA- IAA Ácido indol-acético

FE Fungos entomopatogênicos

## LISTA DE FIGURAS

- Figura 1. Localização geográfica da área de estudo, pertencente a Associação dos Produtores e Hortifrutigranjeiros da Gleba do Guajará – APHA, localizada em área Urbana e Peri urbana do município de Ananindeua, Pará, Brasil.....19
- Figura 2. Colônias de fungos entomopatogênicos e promotor de crescimento utilizados como promotores de crescimento de plantas de *Acmella oleracea*. a) *Trichoderma asperellum* b) *Metarhizium anisopliae* c) *Beauveria Bassiana*. Fonte: Autor, 2022.....20
- Figura 3. Valores médios de umidade relativa e temperaturas mínimas, médias e máximas mensuradas durante a condução do experimento, no período chuvoso amazônico, em março/2021. Município de Ananindeua, Pará, Brasil.....23
- Figura 4. Médias de precipitação diária mensuradas durante a condução do experimento no período chuvoso amazônico, em março/2021. Município de Ananindeua, Pará, Brasil.....24
- Figura 5. Altura (cm), diâmetro do coleto (mm), índice de clorofila (%), índice de robustez e massa seca e fresca da parte área (g), de plantas de *Acmella oleracea*, após aplicação fungos entomopatogênicos e promotor de crescimento, em sistema protegido e não protegido, no período chuvoso amazônico, no município de Ananindeua, Pará, Brasil.....25
- Figura 6. Plantas de *Acmella oleracea*, após aplicação de fungos entomopatogênicos e promotor de crescimento, em sistemas de plantio protegido, no período chuvoso. a) Controle, b) *Trichoderma asprellum*, c) *Beauveria bassiana*, d) *Metarhizium anisopliae*.....26
- Figura 7. (a) Trocas gasosas: fotossíntese líquida ( $A-\mu\text{mol CO}_2 \text{ m}^{-2} \text{ s}^{-1}$ ), (b) Condutância estomática ( $g_s-\text{mol H}_2\text{O m}^{-2} \text{ s}^{-1}$ ), (c) Concentração interna de  $\text{CO}_2$  ( $C_i-\mu\text{mol CO}_2 \text{ mol}^{-1}$ ) e (d) Eficiência instantânea de carboxilação ( $A/C_i$ ), após aplicação de fungos entomopatogênicos e promotor de crescimento em plantas de *Acmella oleracea*, em sistema protegido e não protegido, no período chuvoso amazônico, no município de Ananindeua, Pará, Brasil.....27
- Figura 8. Plantas de *Acmella Oleracea*, após aplicação de fungos entomopatogênicos e promotor de crescimento em sistema de plantio não protegido, no período chuvoso. a) Controle, b) *Trichoderma asperellum*, c) *Beauveria bassiana*., d) *Metarhizium anisopliae*.....28
- Figura 9. Valores médios de umidade relativa e temperaturas mínimas, médias e máximas mensuradas durante a condução do experimento, no período seco amazônico, em setembro/2021. Município de Ananindeua, Pará, Brasil.....29
- Figura 10. Médias de precipitação diária mensuradas durante a condução do experimento, no período seco amazônico, em setembro/2021. Município de Ananindeua, Pará, Brasil.....29
- Figura 11. Altura (cm), diâmetro do coleto (mm), índice de clorofila (%), índice de robustez e massa seca e fresca da parte área (g) de *Acmella oleracea*, após aplicação fungos

entomopatogênicos e promotor de crescimento, em sistema protegido e não protegido, no período seco amazônico, município de Ananindeua, Pará, Brasil.....31

Figura 12. Plantas de *Acmella Oleracea*, inoculadas com microrganismos entomopatogênicos e promotor de crescimento em sistema de plantio protegido no período seco. a) Controle, b) *Trichoderma asperellum*, c) *Beauveria bassiana* e d) *Metarhizium anisopliae*.....32

Figura 13. (a) Trocas gasosas: fotossíntese líquida ( $A-\mu\text{mol CO}_2 \text{ m}^{-2} \text{ s}^{-1}$ ), (b) condutância estomática ( $g_s\text{-mol H}_2\text{O m}^{-2} \text{ s}^{-1}$ ), (c) concentração interna de  $\text{CO}_2$  ( $C_i\text{-}\mu\text{mol CO}_2 \text{ mol}^{-1}$ ) e (d) eficiência instantânea de carboxilação ( $A/C_i$ ), após aplicação de fungos entomopatogênicos e promotor de crescimento, em plantas de *Acmella oleracea*, em sistema protegido e não protegido, no período seco amazônico, no município de Ananindeua, Pará, Brasil.....33

Figura 14. Plantas de *Acmella oleracea*, após aplicação de fungos entomopatogênicos e promotor de crescimento em sistema de plantio não protegido no período seco amazônico. a) Controle, b) *Trichoderma asperellum*, c) *Beauveria bassiana*, d) *Metarhizium anisopliae*.....34

Figura 15. Colônias de fungos entomopatogênicos e promotor de crescimento utilizados na promoção de crescimento de plantas de *Acmella oleracea*. a) *Trichoderma asperellum* b) *Metarhizium anisopliae* c) *Beauveria Bassiana*. Fonte: Autor, 2022.....49

Figura 16. Valores de umidade relativa e temperaturas mínimas, médias e máximas, mensuradas durante 25 dias de condução do experimento em campo com plantas de *Acmella oleracea*, no município de Ananindeua, Pará, Brasil.....55

Figura 17. Médias de precipitação diária mensuradas durante 25 dias de condução do experimento em campo com plantas de *Acmella oleracea*, no município de Ananindeua, Pará, Brasil.....55

Figura 18. (a) Teores totais de clorofila *a* + clorofila *b*, (b) clorofila *a*, (c) clorofila *b* e (d) razão entre *Chla* e *Chlb* de plantas de *Acmella oleracea*, inoculadas com fungos entomopatogênicos e promotor de crescimento, em sistema de cultivo protegido.....56

Figura 19. Concentrações foliares de sacarose [a]; frutose [b]; glicose [c]; amido [d], em plantas de *Acmella oleracea*, inoculadas com fungos entomopatogênicos e promotor de crescimento, em sistema de cultivo protegido.....57

Figura 20. Solubilização de fosfato de cálcio ( $10 \text{ g.L}^{-1}$ ) em meio NBRIP (modificado) por isolados de *Metarhizium anisopliae*, *Trichoderma asperellum* e *Beauveria bassiana*, em diferentes intervalos de tempo (dias)..... 58

Figura 21. Produção de AIA ( $\mu\text{g.mL}^{-1}$ ) por isolados de *Metarhizium anisopliae*, *Trichoderma asperellum* e *Beauveria bassiana* em meio FAN na presença de L-triptofano<sup>1</sup> em condições *in vitro*.....58

## SUMÁRIO

<b>CONTEXTUALIZAÇÃO</b> .....	<b>9</b>
<b>REFERÊNCIAS</b> .....	<b>11</b>
<b>AÇÃO DE MICRORGANISMOS COMO PROMOTORES DO CRESCIMENTO EM DE PLANTAS DE <i>Acmella oleracea</i> L. SUBMETIDAS A DIFERENTES SISTEMAS DE CULTIVO</b> .....	<b>15</b>
<b>RESUMO</b> .....	<b>15</b>
<b>ABSTRACT</b> .....	<b>16</b>
<b>INTRODUÇÃO</b> .....	<b>17</b>
<b>2. MATERIAL E MÉTODOS</b> .....	<b>18</b>
<b>3. RESULTADOS</b> .....	<b>23</b>
<b>Seleção de microrganismos entomopatogênicos como promotores de crescimento de Jambu sistema de plantio protegido e não protegido no período chuvoso</b> .....	<b>23</b>
<b>Seleção de entomopatogênicos como promotores de crescimento de Jambu em sistemas de plantio protegido e não protegido no período seco</b> .....	<b>28</b>
<b>4.DISSCUSSÃO</b> .....	<b>34</b>
<b>5. CONCLUSÕES</b> .....	<b>38</b>
<b>6. REFERÊNCIAS</b> .....	<b>39</b>
<b>POTENCIAL DE MICRORGANISMOS COMO SOLUBILIZADORES DE FOSFATO, PRODUÇÃO DE AIA, CLOROFILA E CARBOIDRATOS EM PLANTAS DE <i>Acmella oleraceae</i></b> .....	<b>45</b>
<b>RESUMO</b> .....	<b>45</b>
<b>ABTRACT</b> .....	<b>46</b>
<b>INTRODUÇÃO</b> .....	<b>47</b>
<b>MATERIAL E MÉTODOS</b> .....	<b>49</b>
<b>RESULTADOS</b> .....	<b>54</b>
<b>DISCUSSÃO</b> .....	<b>59</b>
<b>CONCLUSÃO</b> .....	<b>60</b>
<b>REFERÊNCIAS BIBLIOGRÁFICAS</b> .....	<b>61</b>

## 1 CONTEXTUALIZAÇÃO

2 O jambu, *Acmella oleracea* (L) R.K. Jansen, é uma hortaliça herbácea que pertence à  
3 família Asteraceae, nativa da região Amazônica (SAMPAIO et al., 2020), apresenta valor  
4 econômico devido ser bastante cultivada e consumida na região Norte do Brasil, principalmente  
5 no estado do Pará, com grande consumo na culinária amazônica, especialmente, nos períodos  
6 festivos, tais como o Círio de Nazaré e festas de fim de ano.

7 Apesar de rústico, o jambu é acometido por algumas doenças que podem causar danos  
8 e atraso na produção. Ressalta-se que não há defensivos agrícolas registrados pelo Ministério  
9 da Agricultura, Pecuária e Abastecimento (Mapa) para controle de fitopatógenos dessa cultura.  
10 Assim, a solução para o controle das doenças fica restrita ao manejo integrado, principalmente  
11 às medidas preventivas de controle (BOARI, et. al, 2022).

12 O seu composto ativo, espilantol, presente nas folhas, ramos e flores, é utilizado na  
13 indústria farmacêutica e cosmética (GUSMÃO; GUSMÃO, 2013; BORGES et al., 2014;  
14 BLANCO et. al., 2018) e, as flores para bebidas destiladas como a cachaça. Também é utilizada  
15 como erva medicinal, devido ser descrita como antisséptico, anti-inflamatório e anestésico  
16 (BARBOSA et al., 2016) e, no controle biológico como a atividade larvicida (SIMAS et al.,  
17 2013), atividade inseticida (MORENO et al., 2012) e ação controladora sobre carrapatos  
18 (OLIVEIRA et al., 2017). Além disso, o interesse por essa cultura vem aumentando, e seu  
19 cultivo está ganhando destaque relevante, expandindo-se para diversas regiões do Brasil. No  
20 entanto, a produção dessa hortaliça não apresenta estimativa nos dados oficiais do estado do  
21 Pará (EMBRAPA,2014).

22 Devido ao processo de patenteamento para novos produtos no exterior e utilização na  
23 gastronomia nacional e internacional, o jambu é uma hortaliça promissora (BORGES et al.,  
24 2014) economicamente, podendo se tornar produto de exportação amazônica.

25 De modo geral, as empresas que utilizam produtos naturais, como as indústrias  
26 farmacêuticas e de cosméticos, têm optado por cultivo orgânico nos últimos anos, sendo  
27 empregados adubos orgânicos como esterco, compostos orgânicos e biofertilizantes, que  
28 possam substituir as formas convencionais de produção (LIMA, 2018), uma vez que, os  
29 consumidores estão cada vez mais cuidadosos com a qualidade dos produtos (melhor  
30 aparência), preocupados com a saúde, conservação do meio ambiente e ausência de agrotóxicos  
31 (BUAINAIN et al. 2014), principalmente nos produtos.

32 Recentemente, além da perspectiva do biocontrole, houve o aumento de estudos e aplicação de  
33 microrganismos no processo de biofertilização (ELAVARASI, et. al.,2020; HERNÁNDEZ-  
34 FERNÁNDEZ, et. al., 2021; KUBHEKA & ZIENA, 2022). A inoculação microbiana passou

35 a ser alternativa confiável em detrimento ao uso de insumos químicos com potencial de ação,  
36 seja como agentes de biocontrole, bioherbicidas, biopesticidas ou biofertilizantes (ALORI  
37 BABALOLA, 2018). No caso dos fungos, tanto endofíticos quanto micorrízicos, são capazes  
38 de atuar como promotores do crescimento vegetal, aumentando a taxa de germinação e  
39 melhorando o estabelecimento de mudas, além de aumentar a resistência da planta contra  
40 estresses bióticos e abióticos mediante a produção de compostos antimicrobianos, hormônios  
41 vegetais e outros compostos bioativos (RAI et al., 2014).

42 O consumo de produtos livres de agrotóxicos se transformou em grande mercado que  
43 cresce 20% ao ano, se tornando atraente para grandes empresas. O Brasil já é o segundo país  
44 com maior área desse tipo de manejo, atrás apenas da Austrália (FAO, 2019). Muitos  
45 consumidores preferem os orgânicos para compensar a falta de fiscalização no uso de pesticidas  
46 e fertilizantes químicos na agricultura convencional (AZEVEDO; ARAÚJO, 2007).

47 Nesse contexto, entra a produção de jambu, uma espécie nativa da Região Amazônica  
48 que apresenta algumas limitações, como pouca informações sobre ambiente ideal para cultivo,  
49 assim como produtos biológicos para o cultivo orgânico. Assim, a adoção de métodos mais  
50 ecológicos, como a utilização de defensivos biológicos se torna essencial, pois esses produtos  
51 protegem as plantações de pragas e não poluem o meio ambiente (ALVES, 1998).

52 Nesse sentido, o uso de fungos entomopatogênicos na agricultura brasileira vem  
53 aumentando significativamente nos últimos anos e diversas empresas nacionais e  
54 multinacionais estão desenvolvendo biopesticidas a base de agentes de biocontrole (VINHA,  
55 2018). Deve-se considerar que os microrganismos entomopatogênicos (fungos, bactérias e  
56 vírus) podem diminuir consideravelmente a população da praga no campo e também auxiliar  
57 na promoção do crescimento de plantas (WAQUIL et al., 2006).

58 Estudos recentes com os fungos *Metarhizium anisopliae* (Metchinikoff) Sorokin  
59 (Hypocreales: Clavicipitaceae) e *Beauveria bassiana* (Balsamo) Vuillemin (Hypocreales:  
60 Cordycipitaceae) mostraram que, além de causar mortalidade, também são capazes de colonizar  
61 endofiticamente ampla variedade de espécies de plantas (AKELLO et al., 2008;  
62 GURULINGAPPA et al., 2010; OWNLEY et al., 2010; QUESADA-MORAGA et al., 2009;  
63 TEFERA; VIDAL, 2009), proporcionando benefícios no crescimento (SASAN; BIDOCHKA,  
64 2012), na aquisição de nutrientes (BEHIE et al., 2012; BEHIE; BIDOCHKA, 2014; FANG; ST.  
65 LEGER, 2010), proteção contra fitopatógenos (SASAN; BIDOCHKA, 2013), herbivoria  
66 (PARSA et al., 2013) e, estresse abiótico (KHAN et al., 2012).

67 Assim como, fungos do gênero *Trichoderma* apresentam um complexo arsenal de  
68 mecanismos envolvidos na proteção de plantas, os quais incluem micoparasitismo, competição

69 por nutrientes, antibiose e produção de enzimas hidrolíticas (LORITO et al., 2010;  
70 DRUZHININA et al., 2011; HERMOSA et al., 2014; MONTE et al., 2019). Além disso, devido  
71 à plasticidade de seus genomas em expressar múltiplas funções ecológicas, várias espécies de  
72 *Trichoderma* promovem o crescimento de plantas (GARCIA-RUBIO et al. 2017; MONTE et  
73 al. 2019), contribuem para a melhor utilização de nutrientes (HARMAN 2012) e induzem  
74 respostas de defesa contra estresses bióticos e abióticos (HERMOSA et al. 2014; BROTMAN  
75 et al. 2010; RUBIO et al. 2017; MONTE et al. 2019).

76 Pesquisas sobre a colonização de fungos entofíticos na cultura do jambu ainda não foram  
77 relatadas anteriormente, e a incorporação desses fungos eficazes no controle de pragas e  
78 fitopatógenos e ao mesmo tempo capazes de promover o crescimento de plantas representaria  
79 ferramenta importante e pioneira na Amazônia Brasileira, na incorporação do cultivo orgânico  
80 do jambu, levando em consideração o ambiente ideal de cultivo e manejo da cultura em busca  
81 da segurança alimentar através de práticas sustentáveis de cultivo.

82 Diante disso, testou-se a hipótese que fungos entomopatogênicos e *Trichoderma*  
83 promovem o crescimento de plantas de jambu, submetidas a diferentes sistemas de plantio  
84 (protegido e não protegido) e períodos de cultivo (chuvoso e seco) e, promovem e incrementam  
85 mudanças biométricas, fisiológicas e bioquímicas nas plantas. Assim, objetivou-se avaliar o  
86 efeito de fungos entomopatogênicos e *Trichoderma* na promoção de crescimento de jambu, em  
87 diferentes sistemas de cultivo, nos períodos seco e chuvoso amazônico

88

## 89 REFERÊNCIAS

90

91 AKELLO, J.; DUBOIS, T.; COYNE, D.; KYAMANYWA, S. Effect of endophytic *Beauveria*  
92 *bassiana* on populations of the banana weevil, *Cosmopolites sordidus*, and their damage in  
93 tissue-cultured banana plants. *Entomologia Experimentalis et Applicata*, Wiley, 129, pp. 157-  
94 165, 2008a.

95

96 AKELLO, J.; DUBOIS, T.; COYNE, D.; KYAMANYWA, S. Endophytic *Beauveria bassiana*  
97 in banana (*Musa spp.*) reduces banana weevil (*Cosmopolites sordidus*) fitness and damage.  
98 *Crop Protection*, Guildford, v. 27, n. 11, p. 1437-1441, 2008b.

99

100 ALORI, Elizabeth Temitope; BABALOLA, Olubukola Oluranti. Microbial inoculants for  
101 improve crop quality and human health. **Frontiers in microbiology**, v. 9, p. 2213, 2018.

102 ALVES, S. B. Fungos entomopatogênicos. In: ALVES, S.B (Ed.). **Controle microbiano de**  
103 **insetos**. Piracicaba: Fealq, cap 11, p. 289-381, 1998.

104

105 AZEVEDO, E. Alimentos orgânicos: ampliando conceitos de saúde humana, social e  
106 ambiental. **Tubarão: Editora Unisul**, 2006.

107

- 108 BARBOSA, A. F.; CARVALHO, M. G.; SMITH, R. E.; SABAA-SRUR, A. U. O. Spilanthol:  
109 occurrence, extraction, chemistry and biological activities. **Revista Brasileira de**  
110 **Farmacognosia**, v. 26, p. 128-133, 2016.
- 111  
112 BEHIE, SW; BIDOCHKA, MJ. Ubiquidade da Transferência de Nitrogênio Derivada de  
113 Insetos para Plantas por Insetos Endofíticos-Fungos Patogênicos: Um Ramo Adicional do Ciclo  
114 do Nitrogênio do Solo. *Appl. Ambiente. Microbiol.* 80, 1553–1560. 2014.
- 115  
116 BEHIE, SW; ZELISKO, PM; BIDOCHKA, MJ. Endofíticos Insetos-Parasitas Fungos  
117 Translocam Nitrogênio Diretamente de Insetos para Plantas. **Ciência**, 336, 1576–1577. 2012.
- 118  
119 BLANCO, V. S. F., MICHALAK, B., ZELIOLI, Í. A. M., OLIVEIRA, A. S. S., RODRIGUES,  
120 M. V. N., FERREIRA, A. G., GARCIA, V. L., CABRAL, F. A., KISS, A. K., & RODRIGUES,  
121 R. A. F. Isolation of spilanthol from *Acmella oleracea* based on Green Chemistry and evaluation  
122 of its in vitro anti-inflammatory activity. **The Journal of Supercritical Fluids**. 140, 372-379.  
123 2018. <https://doi.org/10.1016/j.supflu.2018.07.028>.
- 124  
125 BOARI, A.J; QUADROS, A.F.F; BATISTA, I.C.A; KAUFFMANN, C.M; NECHET, K.L.  
126 DOENÇAS DO JAMBU. Circular técnica 52, ISSN 1983-0491, Abr. 2022.
- 127  
128 BORGES, L.S.; GUERRERO, A.C.; GOTO, R.; LIMA, G.P.P. Índices morfo-fisiológicos e  
129 produtividade de cultivares de jambu influenciadas pela adubação orgânica e mineral.  
130 **Bioscience. Journal**, v. 30, n. 6, p. 1768-1778, 2014.
- 131  
132 BROTMAN, Y., KAPUGANTI, J.G. and VITERBO, A., 2010. *Trichoderma*. *Current Biology*,  
133 vol. 20, no. 9, pp. R390-R391. <http://dx.doi.org/10.1016/j.cub.2010.02.042>. PMID:20462476.
- 134 BUAINAIN, A. M. et al. (Orgs.). O mundo rural no Brasil do século 21: a formação de um  
135 novo padrão agrário e agrícola. 1. ed. Brasília/DF: **Embrapa Informação Tecnológica**, 2014,  
136 v. 1.
- 137  
138 DRUZHININA IS, SEIDL-SEIBOTH V, HERRERA-ESTRELLA A, HORWITZ BA,  
139 KENERLEY CM, MONTE E, MUKHERJEE, PK, ZEILINGER S, GRIGORIEV IV,  
140 KUBICEK CP. *Trichoderma*: the genomics of opportunistic success. *Nature Reviews Mi-*  
141 *crobiology* 9: 749759. (<https://doi.org/10.1038/nrmicro2637>). 2011.
- 142  
143 ELAVARASI A, PRASAD M, SETH T, SAHOO RK, MADAN K, NISCHAL N, et al.  
144 Chloroquine and Hydroxychloroquine for the Treatment of COVID-19: a Systematic Review  
145 and Meta-analysis. **J Gen Intern Med**. 2020; 35(11):3308-14.
- 146  
147 FOOD AND AGRICULTURE ORGANIZATION, FAO. Inter-Departmental Working Group  
148 on Organic Agriculture. Organic agriculture. Disponível em: <http://www.fao.org/organicag/oafaq/oafaq1/es/> Acessado em 02 de maio de 2019.
- 149  
150
- 151 GARCIA-RUBIO, R., CUENCA-ESTRELLA, M., AND MELLADO, E. Triazole resistance  
152 in *Aspergillus* species: an emerging problem. **Drugs** 77, 599–613. doi: 10.1007/s40265-017-  
153 0714-4. 2017.
- 154 GURULINGAPPA, P.; SWORD, G.A.; MURDOCH, G.; McGEE, P.A. Colonization of crop  
155 plants by fungal entomopathogens and their effects on two insect pests when in planta.  
156 **Biological Control, Orlando**, v. 55, p. 34-41, 2010.



- 157 GUSMÃO, M. T. A.; GUSMÃO, S. A. L. **Jambu da Amazônia: *Acmella oleracea* [(L.) R.**  
158 **K. Jansen]: características gerais, cultivo convencional, orgânico e hidropônico.** Belém:  
159 Edufra, 2013. 135 p.  
160
- 161 HARMAN, G. E.; HERRERA-ESTRELLA, A. H.; HORWITZ, B. A. & LORITO, M. Special  
162 issue: *Trichoderma*—from basic biology to biotechnology. ***Microbiology*** 158: 1-2.2012.  
163
- 164 HERMOSA, R., CARDOZA, R.E., RUBIO, M.B., GUTIÉRREZ, S. and MONTE, E.  
165 Secondary metabolism and antimicrobial metabolites of *Trichoderma*. In: V.K. GUPTA, M.  
166 SCHMOLL, A. HERRERA-ESTRELLA, R.S. UPADHYAY, I. DRUZHININA and M.G.  
167 TUOHY, eds. *Biotechnology and biology of Trichoderma*. Amsterdam: **Elsevier**, pp. 125-137.  
168 <http://dx.doi.org/10.1016/B978-0-444-59576-8.00010-2>. 2014.  
169
- 170 HERNÁNDEZ-FERNÁNDEZ, M.; CORDERO-BUESO, G.; RUIZ-MUÑOZ, M.;  
171 CANTORAL, J.M. Culturable Yeasts as Biofertilizers and Biopesticides for a Sustainable  
172 Agriculture: A Comprehensive Review. ***Plants*** 2021, 10, 822. [https://doi.org/10.3390/](https://doi.org/10.3390/plants10050822)  
173 [plants10050822](https://doi.org/10.3390/plants10050822).  
174
- 175 KHAN, A.L.; HAMAYUN, M; KHAN, S.A., KANG, S.; SHINWARI, Z.K.; KAMRAN, M.;  
176 REHMAN, S.; KIM, J.; LEE, I. Pure culture of *Metarhizium anisopliae* LHL07 reprograms  
177 soybean to higher growth and mitigates salt stress. ***World Journal of Microbiology and***  
178 ***Biotechnology***, v. 28, n. 4, p. 1483-1494, 2012.  
179
- 180 KUBHEKA, B.P., AND L.W. ZIENA. *Trichoderma: A biofertilizer and a bio-fungicide for*  
181 *sustainable crop production*. Intechopen. **London**. 2022.  
182
- 183 LORITO, M., WOO, S.L., HARMAN, G.E., MONTE, E. Translational research on  
184 *Trichoderma*: from ‘omics to the field. *Annu. Rev. Phytopathology* 48, 395e417. 2010.  
185
- 186 MONTE, E., BETTIOL, W., and HERMOSA, R., 2019. *Trichoderma e seus mecanismos de*  
187 *ação para o controle de doenças de plantas*. In: M.C. MEYER, S.M. MAZARO and J.C. SILVA,  
188 eds. *Trichoderma: uso na agricultura*. **Brasília: Embrapa**, pp. 181-199.  
189
- 190 OLIVEIRA, O. M.; MENEZES, K. R. P.; SANTOS, G. C. S.; SANCHES, A. Embalagem e  
191 tratamento hidrotérmico na manutenção da qualidade pós-colheita de jambu. ***Revista de***  
192 ***Agricultura Neotropical***, v. 4, n. 3, p. 41-49, 2017.  
193
- 194 OWNLEY, B.; GWINN, K.; VEJA, F. Endophytic fungal entomopathogens with activity  
195 against plant pathogens: ecology and evolution. ***Biological Control***, Orlando, v. 55, n. 1, p.  
196 113-128, 2010.  
197
- 198 PARSA, S.; ORTIZ, V.; VEGA, F.E. Establishing Fungal Entomopathogens as Endophytes:  
199 Towards Endophytic Biological Control. ***Journal of Visualized Experiments***, v. 74, p. 503-  
200 560, 2013.  
201
- 202 QUESADA-MORAGA, E.; MUNOZ-LEDESMA, F.J.; SANTIAGO-ALVAREZ, C.  
203 Systematic protection of *Papaver somniferum* L. against *Iraella luteipes* (Hymenoptera:  
204 Cynipidae) by an endophytic strain of *Beauveria bassiana* (Ascomycota: Hypocreales).  
205 ***Environmental Entomology***, College Park, v. 38, n. 3, p. 723-730, 2009.  
206

- 207 SAMPAIO, I. M. G.; SILVA JÚNIOR, M. L.; CHAGAS, E. D. S.; BITTENCOURT, R. F. P.  
208 M.; COSTA, V. C. N.; SOUZA, D. L.; SANTOS, W. A. S.; TEXEIRA, B. J. B. Evaluation of  
209 the Non-destructive Method Efficiency of Estimating Nitrogen Content in Jambu Plants Grown  
210 in Hydroponic System. **Journal of Agricultural Studies**, v. 8, n. 2, p. 466-479, 2020.  
211
- 212 SASAN, R.K.; BIDOCHKA, M.J. Antagonism of the endophytic insect pathogenic fungus  
213 *Metarhizium robertsii* against the bean plant pathogen *Fusarium solani* f. sp. *phaseoli*.  
214 **Canadian Journal of Plant Pathology**, Ottawa, v. 35, n. 3, p. 288-293, 2013.  
215
- 216 TEFERA T, VIDAL S. Efeito do método de inoculação e meio de crescimento vegetal na  
217 colonização endofítica do sorgo pelo fungo entomopatogênico *Beauveria bassiana*.  
218 **BioControl** 54:663–669. 2009. [https:// doi.org/10.1007/s10526-009-9216-y](https://doi.org/10.1007/s10526-009-9216-y).  
219
- 220 WAQUIL, J.M.; VIANA, P.A.; CRUZ, I. Cultivo do Milho. Sete Lagoas: EMBRAPA MILHO  
221 E SORGO, 2006. (**Documento Técnico**). Disponível em: <  
222 [http://sistemasdeproducao.cnptia.embrapa.br/FontesHTML/Milho/CultivodoMilho\\_2ed/prmo](http://sistemasdeproducao.cnptia.embrapa.br/FontesHTML/Milho/CultivodoMilho_2ed/prmonitoramento.htm)  
223 [nitoramento.htm](http://sistemasdeproducao.cnptia.embrapa.br/FontesHTML/Milho/CultivodoMilho_2ed/prmonitoramento.htm)>. Acesso em: 18 ago. 2012.
- 224

225 **AÇÃO DE MICRORGANISMOS COMO PROMOTORES DO CRESCIMENTO EM DE**  
226 **PLANTAS DE *Acmella oleracea* L. SUBMETIDAS A DIFERENTES SISTEMAS DE CULTIVO**

227

228 **RESUMO**

229

230 Recentemente um dos grandes desafios a ser superado é manter e aumentar a produtividade de hortaliças,  
231 como o jambu, *Acmella oleracea*, sem a aplicação de produtos químicos, utilizando-se processos  
232 naturais e organismos vivos que estimulem a produção vegetal, com menos resíduos tóxicos, no meio  
233 ambiente e nos alimentos. Objetivo-se avaliar a promoção de crescimento de plantas de  
234 *A.oleraceae* , através de respostas biométricas, agronômicas e fisiológicas, após aplicação de  
235 fungos entomopatogênicos *Beauveria bassiana* e *Metarhizium anisopliae* e do promotor de  
236 crescimento *Trichoderma asperellum*, sob sistemas de plantio protegido e não protegido, nos  
237 períodos chuvoso e seco amazônico. Foram conduzidos dois ensaios simultaneamente, em área  
238 comercial de agricultura periurbana no município de Ananindeua, Pará, Brasil, em canteiros suspensos  
239 protegido e não protegido, nos períodos chuvoso e seco. Os tratamentos utilizados foram; *Beauveria*  
240 *bassiana*, *Metarhizium anisopliae*, pool de *Trichoderma asperellum* (Isolados UFRA T06, UFRA T09,  
241 UFRA T12, UFRA T52) e tratamento controle, com aplicação de água. Para os dados de biometria,  
242 biomassa e trocas gasosas, foi examinados pelo teste F ( $P \leq 0.05$ ). Os isolados fungícos de *M. anisopliae*,  
243 *B. bassiana* e *T. asperellum* promoveram incrementos no plantio de jambu, em sistema de plantio  
244 protegido e não protegido, nos dois ciclos de cultivo. No entanto, o tratamento com *M. anisopliae* se  
245 igualou aos resultados com o promotor de crescimento *T. asperellum*. Além disso, as plantas de jambu,  
246 apresentaram melhor desenvolvimento em todos os tratamentos, em sistema de plantio protegido, nos  
247 dois períodos avaliados. Desse modo, conclui-se que plantas tratadas com fungos entomopatogênicos  
248 *M. anisopliae* e *B. bassiana*, assim como plantas tratadas com o *T. asperellum* demonstraram maiores  
249 índices de crescimento, biomassa e trocas gasosas em plantas de *A. Oleracea*. Entretanto o fungo *M.*  
250 *ansiopliae* e *T. asperellum* se destacaram por favorecer maior desempenho em todos os parâmetros de  
251 crescimento avaliados, principalmente no sistema de cultivo protegido e no período chuvoso amazônico.

252

253 **PALAVRAS-CHAVE;** PANC; Cultivo protegido; Fungos; Trocas gasosas; Produção

254

255

256

257

258

259

260

261 **ABSTRACT**

262

263 Recently, one of the great challenges to be overcome is to maintain and increase the productivity  
264 of vegetables, such as jambu, *Acmella oleracea*, without the application of chemical products,  
265 using natural processes and living organisms that stimulate plant production, with less toxic  
266 residues in the environment and food. The aim of this study was to evaluate the growth  
267 promotion of *A. oleracea* plants, through biometric, agronomic and physiological responses,  
268 after application of the entomopathogenic fungi *Beauveria bassiana* and *Metarhizium*  
269 *anisopliae* and the growth promoter *Trichoderma asperellum*, under protected and unprotected  
270 planting systems, in the rainy and dry periods of the Amazon. Two trials were conducted  
271 simultaneously, in a commercial area of peri-urban agriculture in the municipality of  
272 Ananindeua, Pará, Brazil, in protected and unprotected hanging beds, during the rainy and dry  
273 periods. The treatments used were *Beauveria bassiana*, *Metarhizium anisopliae*, a pool of  
274 *Trichoderma asperellum* (Isolates UFRA T06, UFRA T09, UFRA T12, UFRA T52) and a  
275 control treatment with water. Biometry, biomass and gas exchange data were examined using  
276 the F test ( $P \leq 0.05$ ). The fungal isolates of *M. anisopliae*, *B. bassiana* and *T. asperellum*  
277 promoted increases in jambu planting, in protected and unprotected planting systems, in both  
278 crop cycles. However, the treatment with *M. anisopliae* matched the results with the growth  
279 promoter *T. asperellum*. In addition, the jambu plants showed better development in all the  
280 treatments, in the protected planting system, in the two periods evaluated. It can therefore be  
281 concluded that plants treated with the entomopathogenic fungi *M. anisopliae* and *B. bassiana*,  
282 as well as plants treated with *T. asperellum*, showed higher growth rates, biomass, and gas  
283 exchange in *A. oleracea* plants. However, the fungus *M. anisopliae* and *T. asperellum* stood out  
284 for favoring greater performance in all the growth parameters evaluated, especially in the  
285 protected cultivation system and in the Amazon rainy season.

286

287 **KEYWORDS;** PANC; Protected cultivation; Fungi; Gas exchange; Production

288

289

290

291

292

293

294

## 295 **INTRODUÇÃO**

296 O jambu é uma planta alimentícia não convencional (PANC), da região amazônica,  
297 muito consumida nos estados do, Acre, Amazonas e Pará , com expressivo potencial  
298 econômico, e pertencente à família Asteraceae (GUSMÃO; GUSMÃO, 2013; HOMMA, 2017;  
299 SILVA et al., 2020). Essa PANC é uma hortaliça peculiar da região norte, principalmente no  
300 estado do Pará, onde é consumido em grande escala nos pratos típicos, como o pato no tucupi,  
301 tacacá, arroz com jambu, pizza, e nas bebidas alcoólicas, como cachaça e licor de jambu. Além  
302 disso, o jambu tem na composição, em torno de 0,7 % de óleo essencial (LORENZI et al.,  
303 2002).

304 Os consumidores buscam nas hortaliças fonte de saúde para si e familiares (GUSMÃO  
305 & GUSMÃO, 2009), devido serem fontes de vitaminas, fibras e nutrientes (Adicionar  
306 referência). Tal importância se reflete também no grande desafio de manter e fazer aumentar a  
307 produtividade de hortaliças, como o jambu, e diminuir o excesso de aplicação de produtos  
308 químicos, utilizando-se processos naturais e organismos vivos que estimulem a produção  
309 vegetal. Nos últimos anos, a agricultura mundial tem passado por uma reflexão de seus rumos,  
310 visto ser crescente a preocupação com alguns efeitos adversos da tecnologia convencional, de  
311 base agroquímica, sobre o meio ambiente (BENNEKOU, 2019).

312 Um método para aumentar a eficácia dos fertilizantes químicos e reduzir a quantidade  
313 destes insumos usados no meio de produção agrícola é a utilização de microrganismos  
314 promotores do crescimento de plantas (SPOLAOR et al., 2016). Pesquisas em espaços com  
315 ambientes controlados afirmam que quando tratadas com várias espécies de fungos simbioses,  
316 endofíticos ou micorrízicos, no geral as plantas são frequentemente mais saudáveis do que as  
317 não tratadas (KHAN et al. 2008; HYDE; SOYTONG, 2008; STROBEL, 2003).

318 Os fungos entomopatogênicos são definidos como biopesticidas, devido parasitarem  
319 insetos, no entanto, também possibilitam o desenvolvimento das plantas e aumentam a  
320 produção de culturas (LACEY, 2015). Existem vários fungos que possuem a capacidade de  
321 infectar, matar e digerir nematoides, sendo chamados de fungos nematófagos, além de  
322 infectarem insetos (NORDBRING-HERTZ; JANSSON; TUNLID, 2006). Alguns desses têm  
323 habilidade de colonizar tecidos de raízes, já outros estão localizados na região entorno das raízes  
324 de cultura de significativa importância (LOPEZ-LLORCA et al., 2006).

325 Os benefícios da utilização do fungo *Trichoderma* como promotor de crescimento têm  
326 sido observados desde a germinação até o manejo nos primeiros anos de vida no campo,  
327 podendo ser inoculado nas sementes, substratos e até por meio da irrigação das culturas, pois  
328 protege as raízes das plantas contra patógenos (Lucon, 2014). O fungo *Trichoderma* é citado na

329 literatura como promotor de crescimento e existem diversos estudos sobre a utilização desse  
330 fungo em culturas agrícolas, porém no jambú ainda não há relatos.

331 Assim como, estudos sobre a colonização de fungos entomopatogênicos na cultura do  
332 jambu com ênfase na promoção de crescimento, ainda não foram relatados, esta pesquisa é  
333 pioneira. E são muito incipientes os trabalhos que estudam os efeitos endofíticos desses fungos,  
334 assim como não é conhecido também o seu potencial inoculados em jambu e suas relações com  
335 as pragas.

336 Neste contexto, o presente estudo tem a hipótese, que fungos entomopatogênicos  
337 promovem o crescimento de plantas de jambu, e o objetivo da pesquisa foi avaliar a promoção  
338 de crescimento de plantas de jambu, através de respostas biométricas, agronômicas e  
339 fisiológicas, após aplicação de fungos entomopatogênicos *Beauveria bassiana* e *Metarhizium*  
340 *anisopliae* e do promotor de crescimento *Trichoderma asperellum*, sob sistemas de plantio  
341 protegido e não protegido, nos períodos chuvoso e seco amazônico.

342

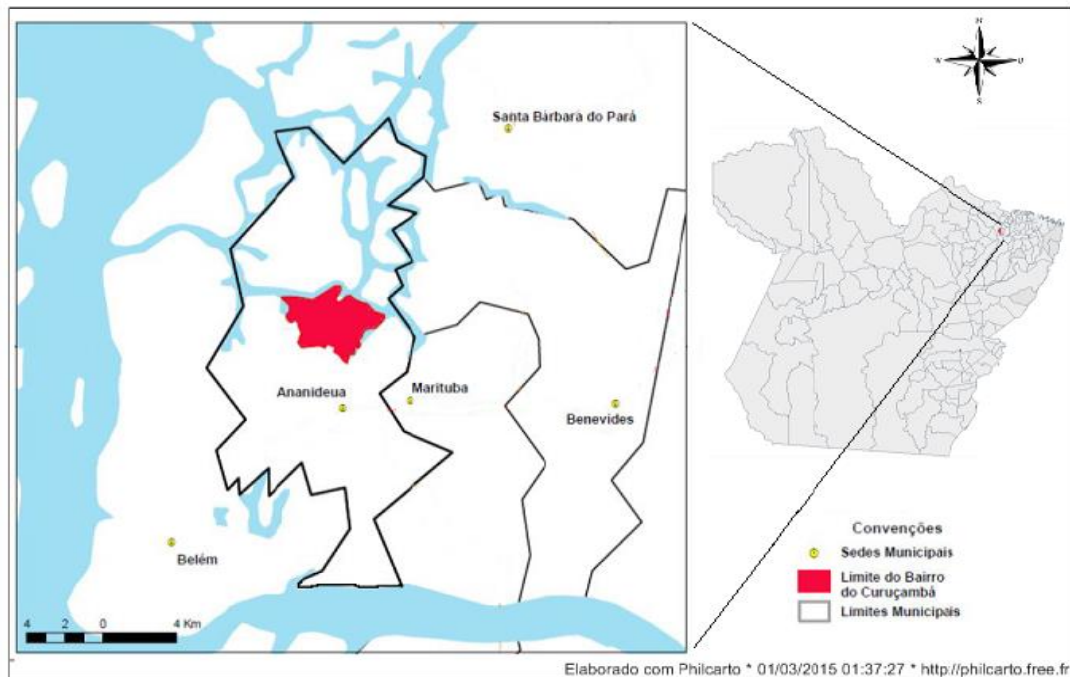
## 343 **2. MATERIAL E MÉTODOS**

### 344 **2.1 Localização da área experimental**

345 Os bioensaios foram conduzidos em área comercial, pertencente a Associação dos  
346 Produtores e Hortifrutigranjeiros da Gleba do Guajará – APHA, localizada na área urbana e  
347 periurbana do município de Ananindeua, entre as coordenadas geográficas 1°19'28.55" S e  
348 48°23'16.96". Os ensaios foram realizados simultaneamente em condições de campo, em  
349 canteiros suspensos protegidos e não protegidos, em dois períodos de cultivo, sendo o primeiro  
350 plantio no mês de março/2021, período chuvoso, e o segundo em setembro/2021, período seco  
351 (Figura 1).

352

353 Figura 1. Localização geográfica da área de estudo, pertencente a Associação dos  
 354 Produtores e Hortifrutigranjeiros da Gleba do Guajará – APHA, localizada em área  
 355 Urbana e Peri urbana do município de Ananindeua, Pará, Brasil.



356 Fonte: Elaborado em <http://philcarto.free.fr/>

357

## 358 2.2 Seleção dos microrganismos promotores de crescimento

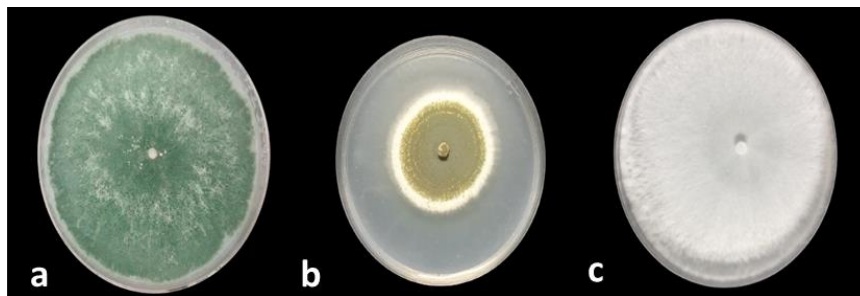
359 Os isolados fúngicos de *B. bassiana*, *M. anisopliae* e *T. asperellum* utilizados, são  
 360 nativos da Amazônia Brasileira e pertencem a Micoteca do Laboratório de Proteção de Plantas,  
 361 da Universidade Federal Rural da Amazônia-UFRA, onde estão armazenados em Castelanni  
 362 sob temperatura de 26°C.

363 Os isolados de entomopatogênicos foram selecionados por meio de bioensaios de  
 364 screening toxicológico que mostraram resultados promissores quanto a patogenicidade, na  
 365 colonização endofítica, do besouro *Tenebrio molitor*, em laboratório (Figura 2). O fungo  
 366 *Trichoderma asperellum* já foi relatado anteriormente como promotor de crescimento de arroz  
 367 (DE SOUSA, et al., 2021) e banana (MAUÉS, et al., 2022). Destacando, portanto, sua utilização  
 368 pioneira, como promotor de crescimento de plantas de jambu, nesta pesquisa, na Amazônia  
 369 Brasileira.

370

371  
372  
373  
374

Figura 2. Colônias de fungos entomopatogênicos e promotor de crescimento utilizados como promotores de crescimento de plantas de *Acmella oleracea*. a) *Trichoderma asperellum* b) *Metarhizium anisopliae* c) *Beauveria Bassiana*.



375 Fonte: Autor, 2022.  
376  
377

375  
376  
377  
378

### 2.3 Obtenção e semeadura das plantas de jambu

379  
380  
381  
382  
383  
384  
385  
386  
387  
388  
389

As sementes de *A. oleracea* de flor amarela foram obtidas no banco de sementes ativo na área da Associação dos Produtores e Hortifrutigranjeiros da Gleba do Guajará – APHA. A semeadura foi realizada em bandejas de poliestireno expandido para 128 células, utilizando-se substrato a base de composto orgânico peneirado, produzido a partir de caroço de açaí triturado e cama de aviário, na proporção 2:1. Foram semeadas dez sementes por célula, com finalidade de garantir, no momento do transplante, duas plântulas por célula, necessitando a realização de desbaste após a germinação, para deixar o número desejado de plântulas. A bandeja contendo as mudas foi acondicionada em ambiente protegido com 20% de redução na radiação, molhadas manualmente, duas vezes ao dia, até a capacidade de campo do substrato. As plantas com quatro folhas, foram transplantadas 20 dias após semeadura, sendo colocadas duas mudas por cova no espaçamento de 5 cm x 10 cm.

390  
391  
392  
393  
394  
395  
396  
397  
398

Os canteiros suspensos foram adubados com 3 kg de composto orgânico por m<sup>2</sup>, incorporado nos 10 cm superficiais do solo. Utilizou-se o sistema de produção em canteiros suspensos, com 80 cm de altura, 1,40 m de largura e 20 m de comprimento, em estufas de madeira protegido com filme plástico difusor de 100 micras, com proteção UV e antioxidantes com aditivos que distribuem a luz dentro da estufa e reduz em 20% a radiação, e em canteiros suspensos não protegidos, em parcelas de 1 metro quadrado subdivididas em 0,20 x 0,20m. As mudas foram irrigadas com micro aspersor de vazão 90L.h<sup>-1</sup> por 20 minutos, duas vezes ao dia. Também foi realizado o controle de plantas daninhas, de forma manual.



## 399 **2.4 Preparo das suspensões fúngicas e inoculação dos microrganismos**

400 Os três isolados fúngicos foram preparados a partir de discos armazenados em  
401 Castelanni, colocados em placas de Petri contendo meio BDA (Batata- Dextrose-Agar), para  
402 crescimento das colônias puras. Os conídios foram colhidos com espátula estéril e suspensos  
403 em água destilada estéril, em seguida, centrifugados a 3.000 RPM por três minutos para  
404 remover fragmentos de hifas, conídios aglomerados e pedaços de ágar, repetido duas vezes.  
405 Cada suspensão foi ajustada em  $1 \times 10^8$  conídios.mL<sup>-1</sup> com auxílio da câmara de Neubauer, e  
406 inoculados em arroz usando suspensões na concentração ajustada, para armazenamento.

407 Foram realizadas duas aplicações de cada tratamento, no dia do transplântio das mudas  
408 e 15 dias após o transplântio. A inoculação dos fungos foi realizada através da aplicação direta  
409 de 20 mL da suspensão de conídios no substrato, regados 20 mL de suspensão a  $1 \times 10^8$   
410 conídios.mL<sup>-1</sup> por planta.

411

## 412 **2.5 Avaliação de crescimento e biomassa**

413 A colheita do jambu foi realizada aos 25 dias após o transplântio. Foram analisadas as  
414 seguintes variáveis biométricas: a) comprimento da parte aérea (cm); determinado com auxílio  
415 de uma trena, medindo-se a planta do colo até o ápice da parte aérea, b) diâmetro do coleto,  
416 mensurado com paquímetro digital (precisão de 0,02 mm); c) massa fresca e seca da parte aérea  
417 (g), verificada após secagem em estufa de ar de ventilação forçada a 65 °C, até o material  
418 atingir massa constante, utilizando balança digital, com precisão de 0,01 g; d) índice de  
419 robustez, calculado pela razão entre a altura da planta e o diâmetro do coleto e, e) índice de  
420 clorofila (%), obtido pelo medidor portátil SPAD, sendo a leitura realizada na segunda folha,  
421 fisiologicamente madura e completamente expandida, a partir do ápice da haste principal  
422 (SAMPAIO et al., 2021), onde foram realizadas cinco leituras em cada folha. Todos os dados  
423 foram avaliados conforme recomendação de Castro et al. (2019).

424

## 425 **2.6 Trocas gasosas**

426 As análises fisiológicas foram realizadas um dia antes da colheita. As avaliações das  
427 trocas gasosas foram ocorreram pela manhã, entre 9:00 e 11:00 h, sendo a leitura efetuada na  
428 segunda folha a partir do ápice da haste principal, sob uma concentração interna de CO<sub>2</sub> de 400  
429  $\mu\text{mol mol}^{-1}$  e radiação fotossinteticamente ativa (PAR) artificial de 1200  $\mu\text{mol de fótons m}^{-2} \text{ s}^{-1}$   
430 <sup>1</sup>. O intervalo de medição foi ajustado de acordo com os resultados obtidos na curva diurna de  
431 trocas gasosas para a espécie (SAMPAIO et al., 2021). Foram avaliadas a taxa de fotossíntese

432 líquida ( $A$ ,  $\mu\text{mol CO}_2 \text{ m}^{-2}\text{s}^{-1}$ ), condutância estomática ( $g_s$ ,  $\text{mol m}^{-2} \text{ s}^{-1}$ ), concentração intercelular  
433 de  $\text{CO}_2$  ( $C_i$ ,  $\mu\text{mol}^{-1}$ ) e eficiência instantânea de carboxilação ( $A/C_i$ ) - obtida pela razão entre  $A$   
434 e  $C_i$ , por meio de um analisador de gases infravermelho portátil (IRGA, modelo LI 6400XT, da  
435 marca LICOR®).

436

## 437 **2.7 Delineamento experimental e análise estatística**

438 O experimento foi realizado em blocos casualizados, em esquema fatorial (4 x 2), sendo  
439 três tratamentos fúngicos: *Beauveria bassiana*, *Metarhizium anisopliae*, *Trichoderma*  
440 *asperelium* (Pool dos isolados UFRA T06, UFRA T09, UFRA T12, UFRA T52) e controle com  
441 água com cinco repetição contendo 16 plantas em cada, sendo avaliadas 2 plantas por repetição  
442 considerando o efeito de bordadura.

443 Inicialmente foi realizada a verificação de presença de dados discrepantes (GRUBBS,  
444 1969), normalidade dos erros (SHAPIRO; WILK, 1965) e homogeneidade das variâncias  
445 (BARTLETT, 1937). Os dados obtidos foram submetidos à análise de variância pelo teste F  
446 ( $p < 0.05$ ) e, as médias comparadas pelo teste Tukey ( $p < 0.05$ ) usando-se o software R (versão  
447 4.1.0 para Windows)

448

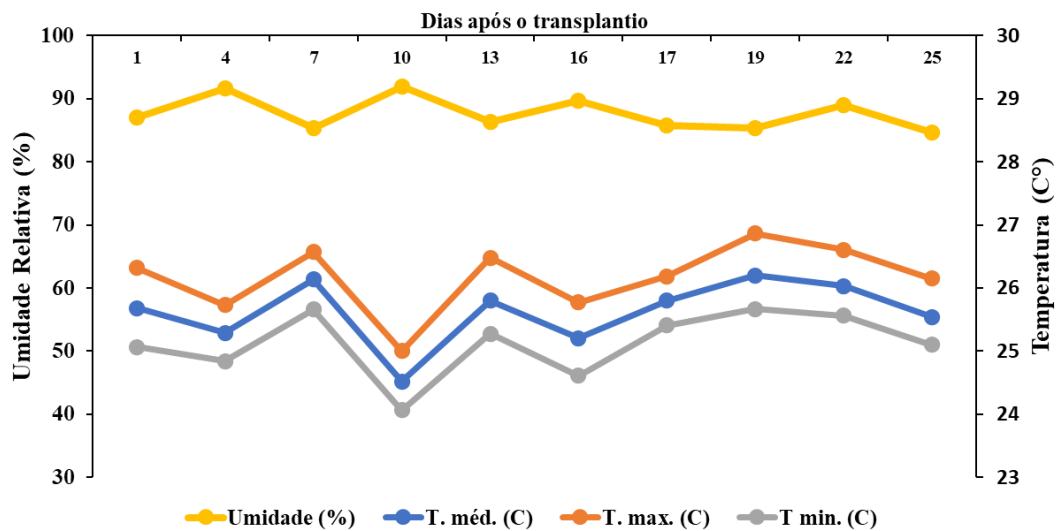
449 **3. RESULTADOS**450 **Seleção de microrganismos entomopatogênicos como promotores de crescimento de**  
451 **Jambu sistema de plantio protegido e não protegido no período chuvoso**

452

453 Os valores médios de temperatura (°C) e umidade relativa do ar (%), no período  
454 chuvoso, na área experimental de cultivo das plantas de jambu são observados na Figura 3 e  
455 precipitação (mm) na Figura 4.

456

457 Figura 3. Valores médios de umidade relativa e temperaturas mínimas, médias e  
458 máximas mensuradas durante a condução do experimento no período chuvoso  
459 amazônico, em março/2021. Município de Ananindeua, estado do Pará.



460

461

462 Em relação aos sistemas de plantio, aos 25 dias após transplante, foi observada na  
463 interação que houve diferença significativa para todos os parâmetros de crescimentos avaliados.  
464 No sistema de cultivo protegido foi observado aumento em todas as variáveis avaliadas (Figura  
465 5a, b, c e d). Os incrementos no sistema protegido foram de 90,3% para AL, 47,8% para o DC,  
466 710% para IC e 33,5% para IR, respectivamente, em relação ao não protegido.

467

468 O fungo *M. anisopliae*, assim como o fungo *T. asperellum* proporcionaram os melhores  
469 resultados em relação à promoção do crescimento, em comparação ao tratamento controle  
(água) (Figuras 5a, b, c e d).

470

471

472

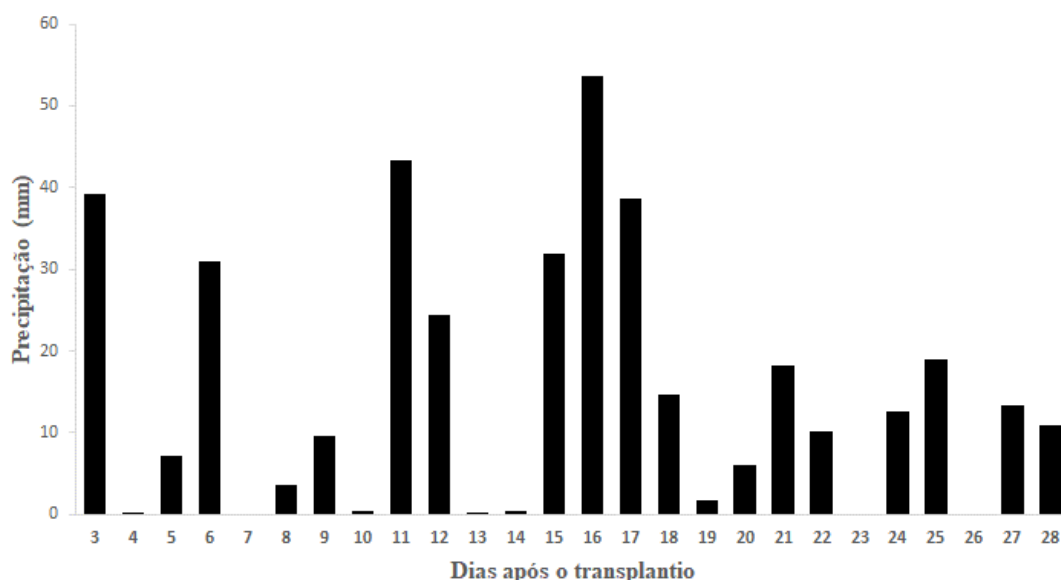
473

474

475

476  
477  
478

Figura 4. Médias de precipitação diária mensuradas durante a condução do experimento no período chuvoso amazônico, em março/2021. Município de Ananindeua, Pará, Brasil.



479  
480

481 Quanto aos resultados de crescimento em AL no sistema protegido, os tratamentos com  
482 *M. anisopliae* e *T. asperellum* apresentaram diferença significativa em relação ao controle,  
483 ocasionando incrementos de 22% e 21% (Figura 5a).

484 Para o sistema não protegido no parâmetro de crescimento AL, com exceção das plantas  
485 que receberam o fungo *T. asperellum*, os demais tratamentos diferiram significativamente do  
486 controle (Figura 5a). Os incrementos observados nesse sistema de cultivo foram em média de  
487 47% para o *M. anisopliae* e *B. bassiana*.

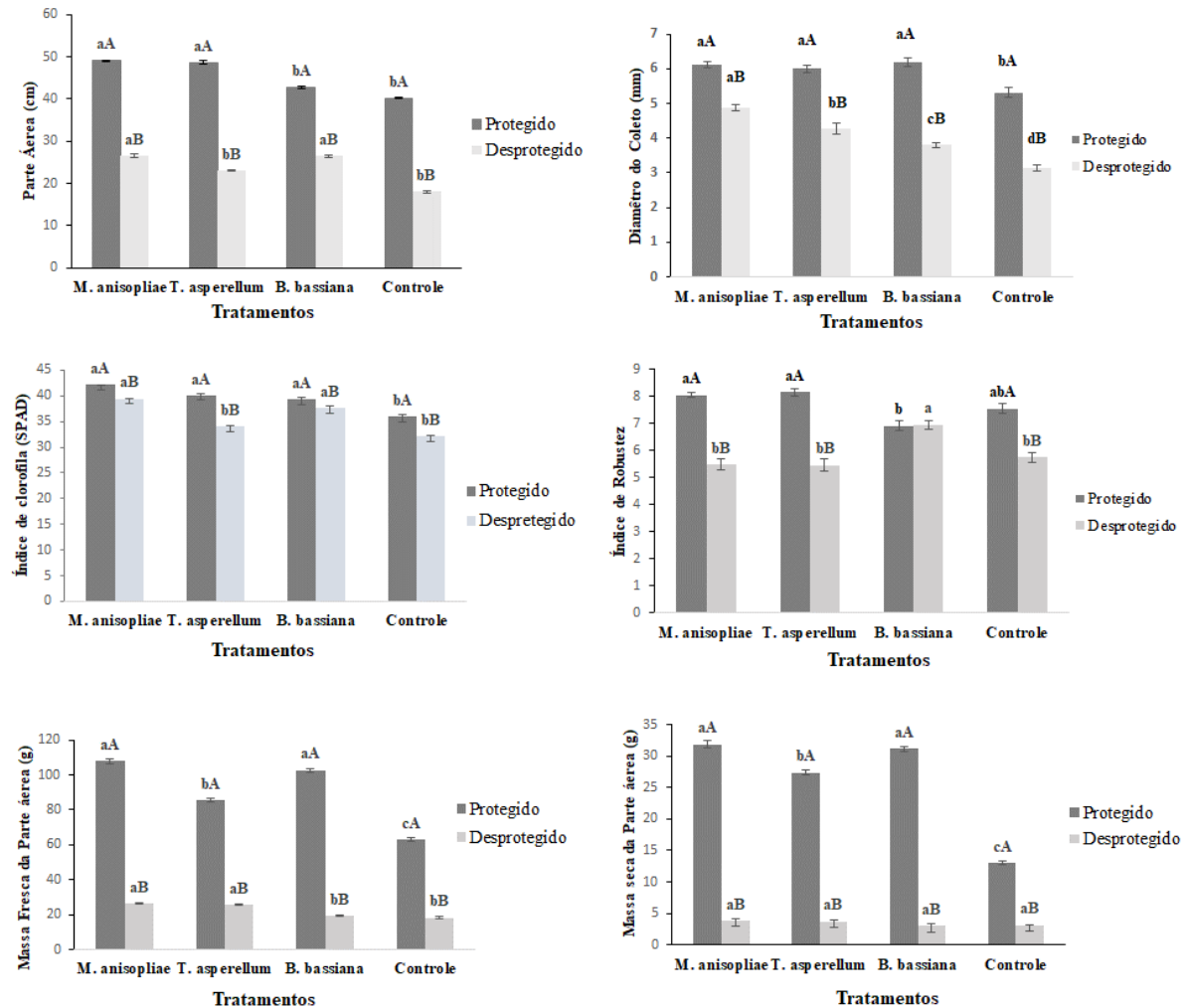
488 Em relação ao DC no sistema protegido, todos os tratamentos diferiram do controle  
489 (Figura 4b) e ocasionaram incremento médio de 15%. . No sistema não protegido, para essa  
490 mesma variável, todos os tratamentos diferiram entre si. Os maiores aumentos foram  
491 observados por *M. anisopliae* (55%), seguido por *T. Asperellum* (36%), e *B. bassiana* (21%),  
492 em relação ao controle (Figura 5b).

493 Na análise do Índice de clorofila (SPAD), houve significância para todos os tratamentos,  
494 em relação ao controle no sistema protegido (Figura 5c), com incrementos de 17% para o  
495 tratamento com *M. anisopliae*, de 11% para *T. asperellum* e de 9% para *B. bassiana*, em relação  
496 ao controle. Para o sistema não protegido, apenas os tratamentos com *M. anisopliae* e *B.*  
497 *bassiana* diferiram do tratamento controle, com aumentos de 24% e 18%, respectivamente  
498 (Figura 5c).

499 Em relação ao Índice de robustez, para o sistema protegido, nenhum tratamento diferiu  
500 do controle (Figura 5d). No sistema não protegido, apenas o tratamento com *B. bassiana* diferiu

501 significativamente do controle (Figura 5d) e incrementou em 21% as plantas tratadas com esse  
502 fungo.

503 Figura 5. Altura (cm), diâmetro do coleto (mm), índice de clorofila (%), índice de robustez e  
504 massa seca e fresca da parte aérea (g), de plantas de *Acmella oleracea*, após aplicação fungos  
505 entomopatogênicos e promotor de crescimento, em sistema protegido e não protegido, no  
506 período chuvoso amazônico, no município de Ananindeua, Pará, Brasil



507  
508 \*Letras minúsculas comparam médias em um mesmo sistema e letras maiúsculas comparam médias entre sistemas,  
509 pelo teste de Tukey a 5% de probabilidade.  
510  
511

512 Em relação ao incremento de biomassa, comparando os sistemas de plantio, houve  
513 resultados significativos, onde os dados de massa fresca e seca da parte aérea tiveram maiores  
514 incrementos no sistema protegido, com 299% e 650%, respectivamente. (Figura 5 d)

515 No sistema protegido, o tratamento com *M. anisopliae* aumentou em 71% a massa fresca  
516 das plantas e o tratamento com *B. bassiana* aumentou em 61% essa variável, em relação ao  
517 tratamento controle, mas não diferiram entre si (Figura 6 e 8).

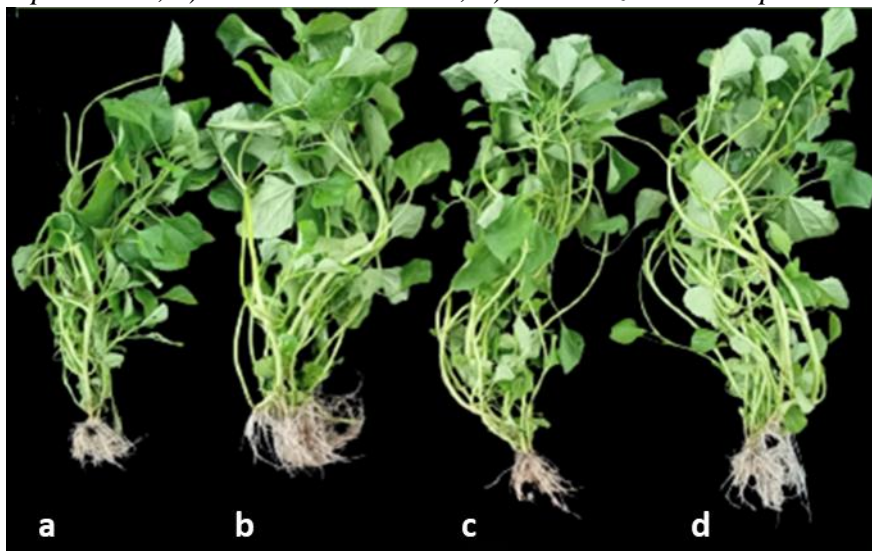
518 Para a massa fresca da parte aérea no sistema não protegido, houve diferença  
519 significativa para os tratamentos com *M. anisopliae* e *T. asperellum* em relação ao controle  
520 (Figura 5e), ocasionando incrementos de 45% e 41%, respectivamente.

521 Os maiores incrementos na massa seca da parte aérea também foram evidenciados no  
 522 sistema protegido, onde o tratamento com *M. anisopliae* aumentou em 145% essa variável,  
 523 seguido de *B. bassiana* (139%) e *T. asperellum* (110%), em relação ao tratamento controle. No  
 524 sistema não protegido, os tratamentos com *M. anisopliae*, *B. bassiana* e *T. asperellum* tiveram  
 525 aumento de 24%, 23% e 17%, respectivamente, em relação ao controle, no entanto, não houve  
 526 diferença entre os tratamentos (Figura 5f).

527

528

529 Figura 6. Plantas de *Acmella oleracea*, após aplicação de fungos  
 530 entomopatogênicos e promotor de crescimento, em sistemas de  
 531 plantio protegido, no período chuvoso. a) Controle, b) *Trichoderma*  
 532 *asperellum*, c) *Beauveria bassiana*, d) *Metarhizium anisopliae*



533

Fonte: Autor, 2021

534

535

536

537

538

539

540

541

542

543

544

545

546

Quanto às trocas gasosas, comparando os parâmetros avaliados na intereção dos sistemas, houve diferença para a maioria deles. Em A os incrementos foram evidenciados no sistema protegido em 27%, em relação ao sistema não protegido. Para  $g_s$  também houve diferença significativa entre os sistemas (Figura 7b), onde o sistema protegido incrementou em 33% em relação ao sistema não protegido. Em relação ao  $C_i$ , de acordo com a interação, apenas o tratamento com *B. bassiana* incrementou em 11% no sistema protegido em relação ao não protegido. Os outros tratamentos não diferiram. Para os resultados de  $A/C_i$  houve diferença para o tratamento *B. bassiana* nos sistemas (Figura 7d), onde o aumento foi de 7%, evidenciado no sistema protegido, em relação ao sistema não protegido.

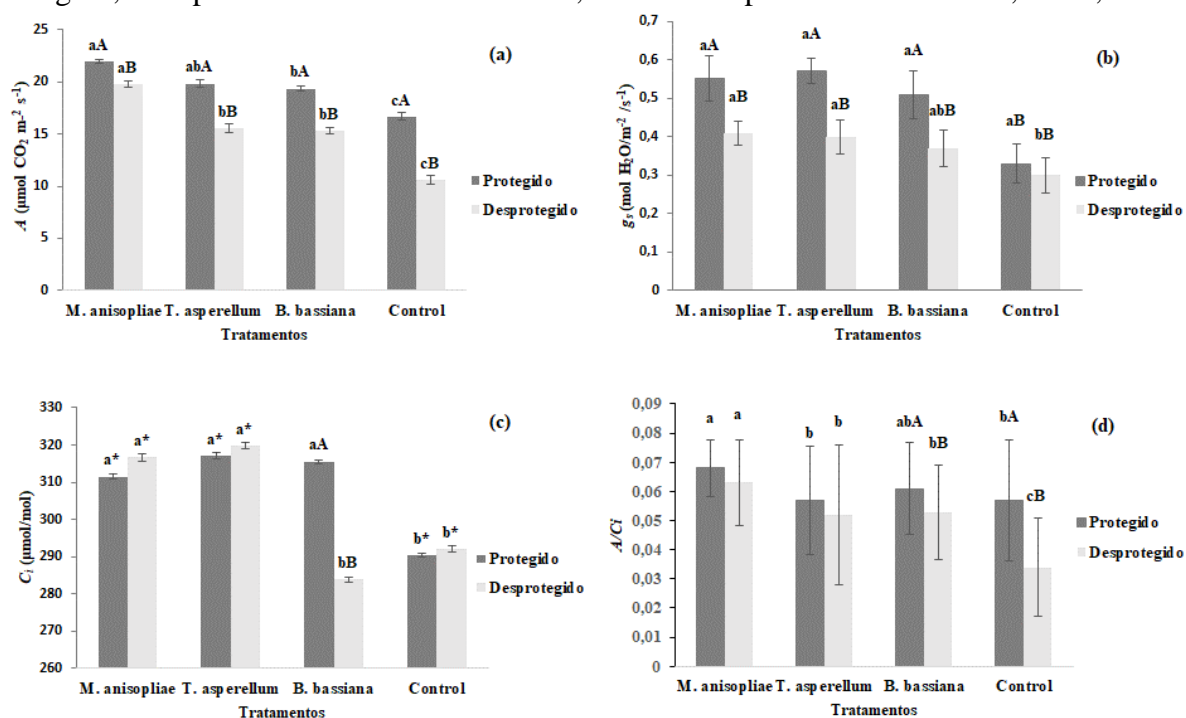
544

545

546

Figura 7. (a) Trocas gasosas: fotossíntese líquida ( $A-\mu\text{mol CO}_2 \text{ m}^{-2} \text{ s}^{-1}$ ), (b) Condutância estomática ( $g_s-\text{mol H}_2\text{O m}^{-2} \text{ s}^{-1}$ ), (c) Concentração interna de  $\text{CO}_2$  ( $C_i-\mu\text{mol CO}_2 \text{ mol}^{-1}$ ) e (d)

547 Eficiência instantânea de carboxilação ( $A/C_i$ ), após aplicação de fungos entomopatogênicos e  
 548 promotor de crescimento em plantas de *Acmella oleracea*, em sistema protegido e não  
 549 protegido, no período chuvoso amazônico, no município de Ananindeua, Pará, Brasil



550  
 551  
 552  
 553

\*Letras minúsculas comparam médias em um mesmo sistema e letras maiúsculas comparam médias entre sistemas, pelo teste de Tukey a 5% de probabilidade de significância.

554

555 Resultados positivos foram demonstrados na avaliação de trocas gasosas entre os  
 556 inoculantes fúngicos no sistema protegido, em relação ao controle. Para os tratamentos no  
 557 sistema protegido, em relação à  $A$ , o maior aumento foi para *M. anisopliae* com 32%, seguidos  
 558 por *B. bassiana* e *T. asperellum* que aumentaram em 16% e 19% respectivamente, em relação  
 ao controle (Figura 7a).

559

560 Quanto ao sistema não protegido para  $A$ , houve diferença para todos os tratamentos em  
 561 relação ao controle negativo, como demonstrado na figura 7a. Os maiores incrementos foram  
 562 demonstrados nos tratamentos *M. anisopliae* e *T. asperellum* com 87% e 47%, que não  
 563 diferiram entre si. Seguidamente por *B. bassiana* que aumentou em 45% em relação ao controle.

563

564 Quanto aos resultados de  $g_s$ , comparando os tratamentos no sistema protegido, os  
 565 tratamentos com *T. asperellum* e *M. anisopliae* promoveram os maiores incrementos em 72%  
 566 e 66%, e não diferiram entre si. *B. bassiana* em 54%, todos diferiram do controle, como  
 567 apresentados na figura 7b. No sistema não protegido, todos os tratamentos também diferiram  
 568 do controle negativo, os maiores aumentos foram para *M. anisopliae* e *T. asperellum*, e os  
 569 incrementos foram de 36% e 33%, respectivamente, e o tratamentos com *B. bassiana*  
 incrementou em 23% (Figura 7b).

570 No sistema protegido, para os resultados de  $C_i$ , os tratamentos com *M. anisopliae*, *T.*  
571 *asperellum* e *B. bassiana*. promoveram aumento de 8% em média, em relação ao controle  
572 (Figura 7c). No sistema não protegido apenas os tratamentos com *T. asperellum* e *M. anisopliae*  
573 diferiram do controle e promoveram incremento em média em 9%, como demonstrados na  
574 Figura 6c.

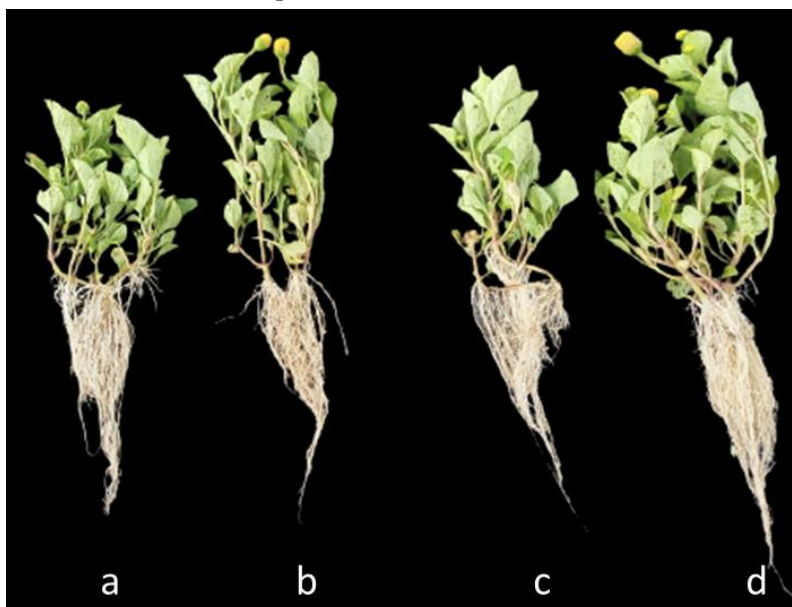
575 De acordo com as respostas da variável  $A/C_i$  no sistema protegido, os aumentos foram  
576 demonstrados principalmente nos tratamentos fúngicos *M. anisopliae* com 19% e *B. bassiana*  
577 que aumentou em 7%, diferindo do controle (Figura 7d). No sistema não protegido a  $A/C_i$  teve  
578 sua máxima (0,063) nos tratamentos com *M. anisopliae*, seguido por *B. bassiana* e *T.*  
579 *asperellum* (Figura 7d), os incrementos foram de 85%, 56% e 52%, respectivamente, em  
580 relação ao controle.

581

582

583

584 Figura 8. Plantas de *Acmella Oleracea*, após aplicação de  
585 fungos entomopatogênicos e promotor de crescimento em  
586 sistema de plantio não protegido, no período chuvoso. a)  
587 Controle, b) *Trichoderma asperellum*, c) *Beauveria bassiana*.,  
588 d) *Metarhizium anisopliae*



589

590

Fonte: Autor, 2021

591 **Seleção de entomopatogênicos como promotores de crescimento de Jambu em**  
592 **sistemas de plantio protegido e não protegido no período seco**

593

594

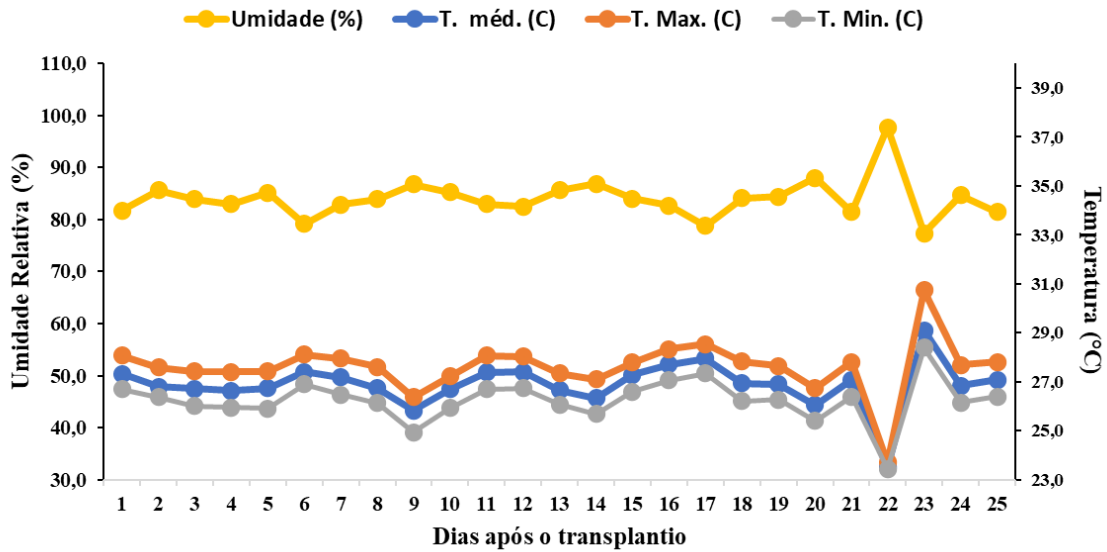
Para compreender as condições climáticas da área experimental de cultivo de jambu,



595 é possível observar na Figura 9 os valores médios de temperatura, umidade relativa do ar e  
 596 precipitação na Figura 10, durante o período seco amazônico, no município de Ananindeua,  
 597 estado do Pará.

598

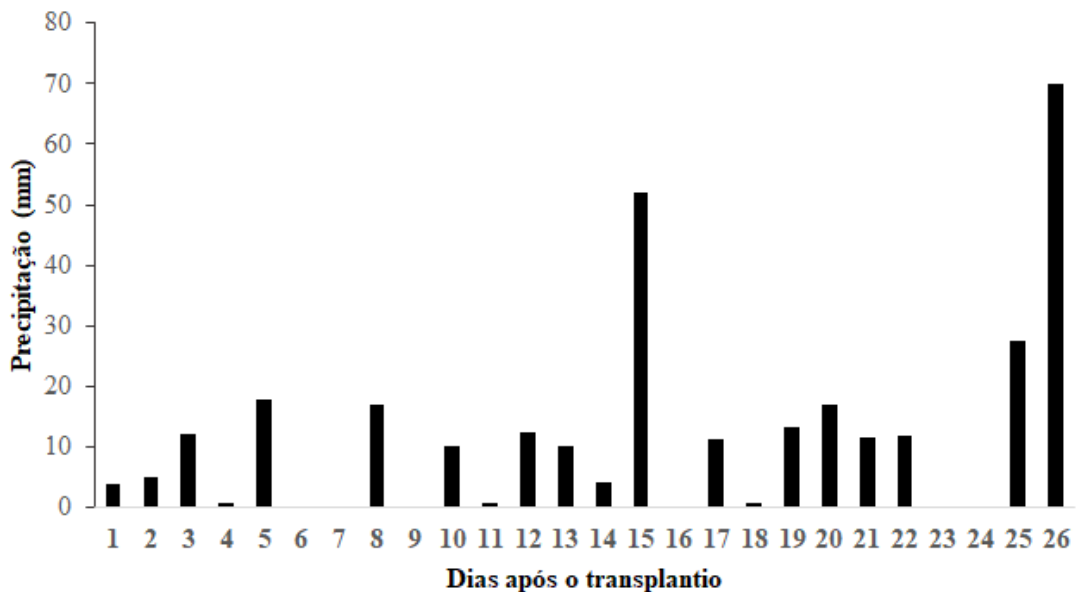
599 Figura 9. Valores médios de umidade relativa e temperaturas mínimas, médias e máximas  
 600 mensuradas durante a condução do experimento no período seco amazônico, em  
 601 setembro/2021. Município de Ananindeua, estado do Pará.



602

603

604 Figura 10. Médias de precipitação diária mensuradas durante a condução do experimento  
 605 no período seco amazônico, em setembro/2021. Município de Ananindeua, estado do Pará.



606

607

608

609

610

As figuras 11, 12, 13 e 14 apresentam os resultados obtidos em relação aos parâmetros

611 de crescimento, biomassa e trocas gasosas de plantas inoculadas com *T. asperellum*, *B.*  
612 *bassiana* e *M. anisopliae*, em sistema de plantio suspenso protegido e não protegido, no  
613 segundo ciclo de cultivo. Em relação a interação entre os sistemas, houve diferença para todas  
614 as variáveis analisadas ( $p < 0,05$ ). Na figura 11, estão demonstrados os resultados de  
615 parâmetros de crescimento do jambu, quando comparados os sistemas de plantio houve  
616 diferença significativa entre os sistemas. E de acordo com os resultados da interação, o cultivo  
617 protegido apresentou melhores resultados nas variáveis altura, diâmetro do coleto e índice de  
618 robustez, para os resultados de teor de clorofila (SPAD) houve diferença significativa apenas  
619 no tratamento com *B. bassiana* (Figura 11).

620 Os resultados de comprimento da parte aérea no sistema protegido, mostraram que as  
621 melhores respostas foram observadas para o tratamento *M. anisopliae*, resultando em um  
622 incremento de 29%, seguido pelos tratamentos com *T. asperellum* e *B. bassiana*, que  
623 proporcionaram aumentos na altura de 23% e 17%, respectivamente, em relação ao controle  
624 (Figuras 11A e 12). No sistema não protegido todos os tratamentos *M. anisopliae*, *T.*  
625 *asperellum* e *B. bassiana* apresentaram resultados positivos para variável altura, os  
626 incrementos foram de 29%, 23% e 17%, respectivamente, quando comparados ao controle  
627 (Figuras 11 e 12A).

628 Em relação ao diâmetro do coleto apresentados na figura 11B, observamos que tanto  
629 para o sistema protegido quanto para o sistema não protegido, os isolados fúngicos que  
630 apresentaram resultados positivos para essa variável foram *M. anisopliae* e *T. asperellum*,  
631 com a melhor resposta para os dois sistemas, do inoculante *M. anisopliae* (Figura 11B). No  
632 sistema protegido os incrementos foram de 33% e 34%, respectivamente e no sistema não  
633 protegido de 59% e 34%, respectivamente em relação ao controle.

634 Para o índice de clorofila, todos os tratamentos no sistema protegido ocasionaram  
635 incrementos nas plantas de jambu, em relação a plantas não inoculadas. As melhores respostas  
636 foram observadas em plantas inoculadas com *M. anisopliae* e *T. asperellum* (Figura 11C), com  
637 aumentos de 55% e 52%, respectivamente. Para o sistema não protegido, semelhante ao  
638 observado no sistema protegido, os tratamentos com *M. anisopliae* e *T. asperellum* ocasionaram  
639 os maiores aumentos nessa variável, em relação ao controle (Figura 11C)

640 No sistema protegido, para a variável índice de robustez, apenas as plantas tratadas com  
641 *B. bassiana* diferiram do controle (Figura 11D), com incremento de 31% (Figura 12). Não  
642 houve diferença significativa entre os tratamentos no cultivo não protegido (Figura 11D).

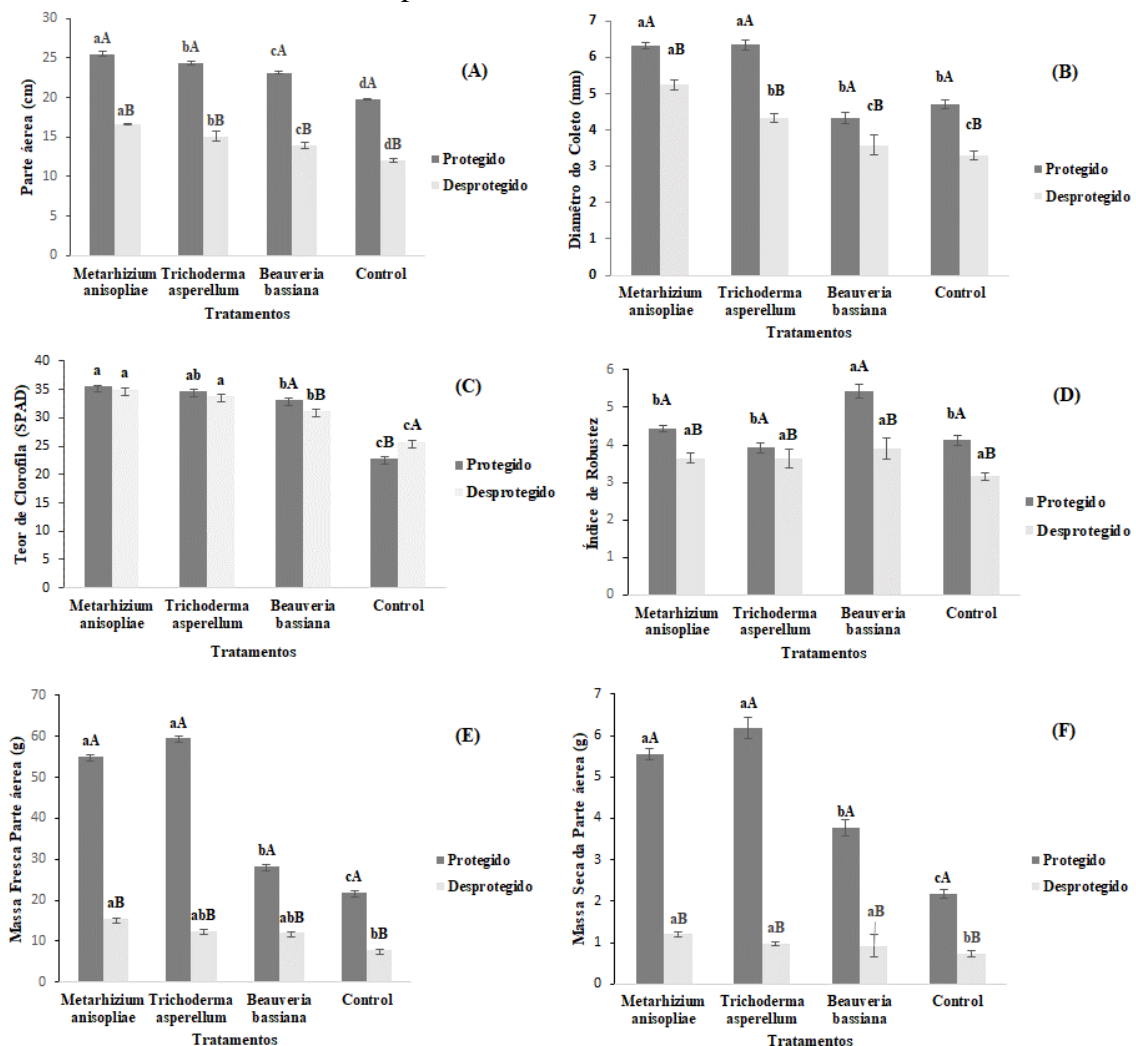
643 Com base nos resultados de biomassa, apresentados nas figuras 11E e F, observou-se  
644 que para as variáveis massa seca e fresca da parte aérea, os incrementos foram em grandes

645 proporções no sistema protegido quando comparado ao não protegido, essa aumento foi de  
646 244% para massa fresca e de 361% para massa seca da parte aérea.

647 As plantas de jambu que apresentaram maiores acúmulos de massa fresca na parte aérea  
648 no sistema protegido (Figura 11E), foram às plantas inoculadas com *T. asperellum* e *M.*  
649 *anisopliae*, esses incrementos foram de 172% e 150%, as médias foram de 59,52g e 55g  
650 respectivamente, seguidos por *Beauveria* sp. que aumentou em 28% em relação ao  
651 controle.(Figura 12). Para as respostas no sistema não protegido, o inoculante *M. anisopliae*  
652 apresentou melhor acúmulo de massa fresca da parte aérea, entretanto os tratamentos com *T.*  
653 *asperellum* e *B. bassiana*, apresentaram resultados positivos em relação ao controle. Esses  
654 incrementos foram de 96% para *M. anisopliae*, 59% para *T. asperellum* e 52% para *B. bassiana*,  
655 como evidenciados na figura 11E (Figura 12).

656

657 Figura 11. Altura (cm), diâmetro do coleto (mm), índice de clorofila (%), índice de robustez e  
658 massa seca e fresca da parte área (g) de *Acmella oleracea*, após aplicação fungos  
659 entomopatogênicos e promotor de crescimento, em sistema protegido e não protegido, no  
660 período seco amazônico, município de Ananindeua, Pará, Brasil.



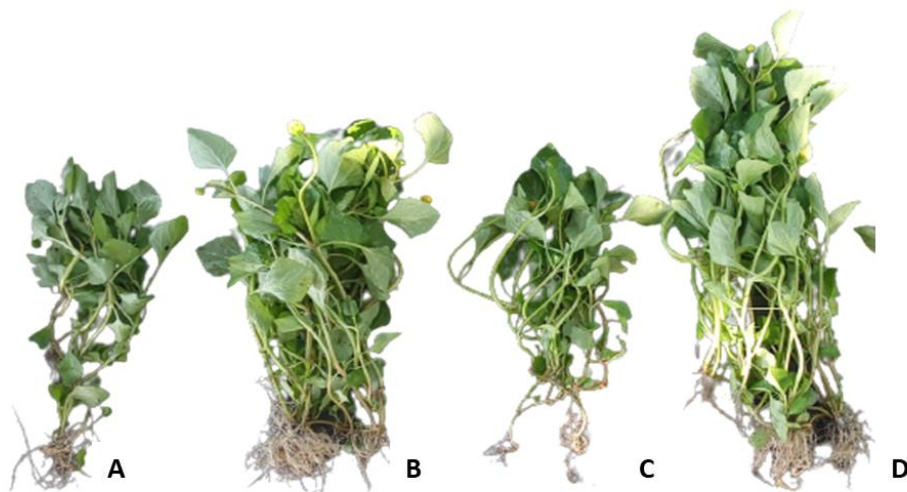
661

662 \* Letra minúscula comparam médias em um mesmo sistema e letras maiúsculas comparam médias entre sistemas, pelo teste  
 663 de Tukey a 5% de probabilidade de significância.  
 664  
 665

666 Para a massa seca da parte aérea no sistema protegido, os incrementos também foram  
 667 observados nos tratamentos com aplicação de *T. asperellum* e *M. anisopliae*, com aumentos de  
 668 184% e 156%, seguidos pelo tratamento com *B. bassiana* que incrementou em 73% essa  
 669 variável, em relação ao controle. No sistema sem proteção, a inoculação de *M. anisopliae*  
 670 também resultou em maior acúmulo de massa seca (Figura 11F), no qual esse incremento foi  
 671 de 65%, seguido pelos tratamentos com *T. asperellum* com 35% e *B. bassiana* com 27%.

672

673 Figura 12. Plantas de *Acmella Oleracea*, inoculadas com microrganismos  
 674 entomopatogênicos e promotor de crescimento em sistema de plantio  
 675 protegido no período seco. a) Controle, b) *Trichoderma asperellum*, c)  
 676 *Beauveria bassiana* e d) *Metarhizium anisopliae*



677 Fonte: Autor, 2021

678

679 As respostas fisiológicas obtidas por trocas gasosas, em plantas de jambu tratadas com  
 680 isolados fúngicos, nos dois sistemas de plantio, no segundo ciclo de cultivo, são apresentadas  
 681 na Figura 13. Houve diferença significativa entre os dois sistemas para quase todos os  
 682 parâmetros avaliados, no qual o sistema protegido apresentou maiores aumentos em  $A$ ,  $g_s$  e  $A/C_i$   
 683 . Em relação a  $C_i$  não houve diferença significativa quando comparados os sistemas de plantios  
 684 (Figura 13).

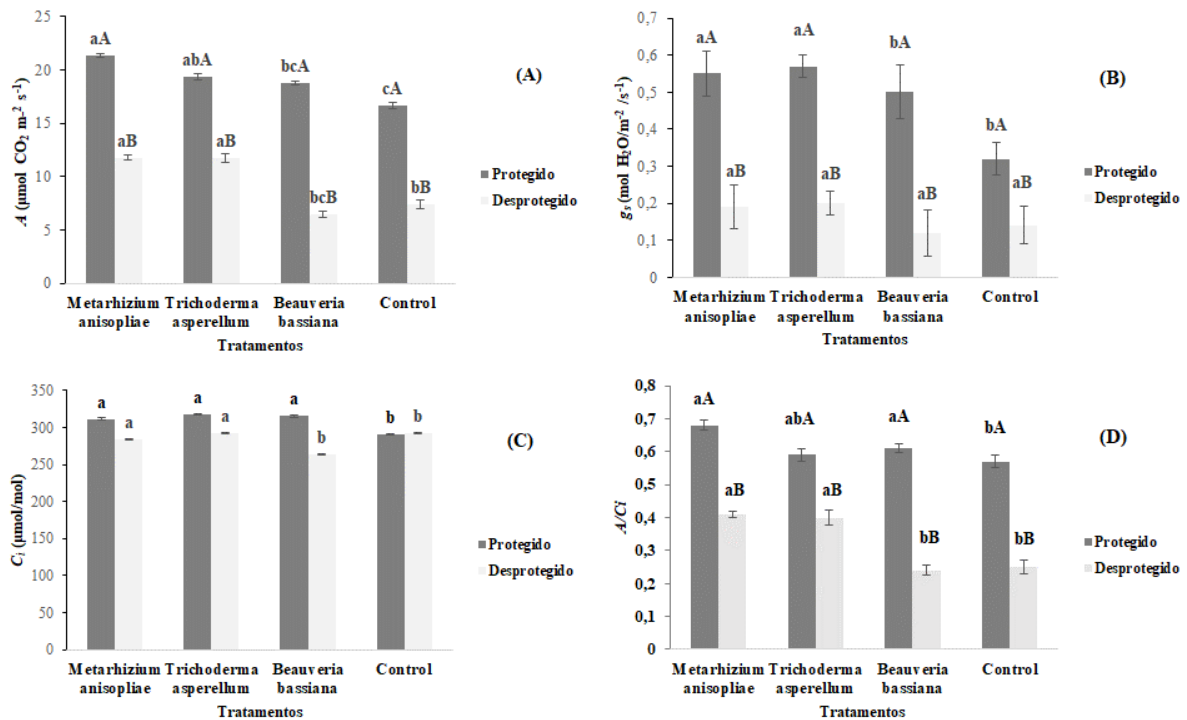
685 No sistema de plantio protegido, as plantas inoculadas com *M. anisopliae*, *T. asperellum*  
 686 responderam positivamente em relação ao controle, e aumentaram a taxa de fotossíntese líquida  
 687 em 28% e 16%. Para *B. bassiana* não houve diferença significativa nessa variável, quando  
 688 comparado ao controle. Já para as respostas do sistema não protegido, o maior aumento  
 689 observado foi em plantas inoculadas com *M. Anisopliae* (58%), seguido por *T. asperellum*

690 (56%), quando comparados ao controle (Figura 13A).

691 Para a condutância estomática ( $g_s$ ) das plantas no sistema de plantio protegido, os  
 692 tratamentos que apresentaram maiores incrementos em relação ao controle foram *T. asperellum*  
 693 e *M. Anisopliae* (Figura 13B), que incrementaram 78% e 71%, respectivamente.

694

695 Figura 13. (a) Trocas gasosas: fotossíntese líquida ( $A$ - $\mu\text{mol CO}_2 \text{ m}^{-2} \text{ s}^{-1}$ ), (b) condutância  
 696 estomática ( $g_s$ - $\text{mol H}_2\text{O m}^{-2} \text{ s}^{-1}$ ), (c) concentração interna de  $\text{CO}_2$  ( $C_i$ -  $\mu\text{mol CO}_2 \text{ mol}^{-1}$ ) e (d)  
 697 eficiência instantânea de carboxilação ( $A/C_i$ ), após aplicação de fungos entomopatogênicos e  
 698 promotor de crescimento, em plantas de *Acmella oleracea*, em sistema protegido e não  
 699 protegido, no período seco amazônico, no município de Ananindeua, Pará, Brasil.



700

701 \*Letras minúsculas comparam médias em um mesmo sistema e letras maiúsculas comparam médias entre sistemas, pelo  
 702 teste de Tukey a 5% de probabilidade de significância.

703

704 Em relação à concentração interna de  $\text{CO}_2$  ( $C_i$ ), as plantas cultivadas no sistema de  
 705 plantio protegido, todos os tratamentos diferiram do controle e incrementaram em média 8%,  
 706 em relação ao controle. Enquanto que, no sistema de plantio não protegido, os tratamentos  
 707 com *M. anisopliae* e *T. asperellum* diferiram do controle (Figura 13C).

708

709 A eficiência instantânea de carboxilação ( $A/C_i$ ), no sistema de plantio protegido, apenas  
 710 as plantas inoculadas com *M. anisopliae*, diferiram do controle, com máxima  $A/C_i$  de 0,0068  
 711 (Figura 13D). Para o sistema de plantio não protegido os maiores aumentos nessa variável  
 712 foram observadas nas plantas inoculadas com *M. Anisopliae* e *T. asperellum* (Figura 13D),  
 sendo esses de 64% e 60%, respectivamente.

713

714

715                    Figura 14. Plantas de *Acmella oleracea*, após aplicação de fungos  
 716 entomopatogênicos e promotor de crescimento em sistema de plantio  
 717 não protegido no período seco amazônico. a) Controle, b)  
 718 *Trichoderma asperellum*, c) *Beauveria bassiana*, d) *Metarhizium*  
 719 *anisopliae*



720                    Fonte: Autor, 2021

721  
 722  
 723

#### 4.DISCUSSÃO

724                    Os resultados apresentados neste estudo sustentam a hipótese de que os fungos  
 725 entomopatogênicos e o fungo *Trichoderma asperellum* promovem o crescimento de plantas de  
 726 jambu submetidas ao sistema de cultivo suspenso e favorecem o melhor desempenho  
 727 fotossintético, submetidas nos sistemas protegido e não protegido. A presente pesquisa  
 728 evidenciou que o sistema que apresentou melhor crescimento, desenvolvimento e respostas  
 729 fisiológicas, assim como as melhores respostas dos microrganismos avaliados foi protegido.

730                    Os resultados apresentados neste estudo revelam que plantas de jambu inoculadas com  
 731 os fungos entomopatogênicos *M. anisopliae* e *B. bassiana*, em sistema protegido apresentam  
 732 incremento nos parâmetros de crescimento e biomassa, assim como, melhor desempenho na  
 733 atividade fotossintética, semelhante ao comportamento do fungo *T. asperellum* registrado em  
 734 outros trabalhos, tradicionalmente, como promotor de crescimento (MAYO PIETRO et al.,  
 735 2020; KUMAR, et al.,2021). Esses resultados são importantes, pois mostram que os fungos  
 736 entomopatogênicos também podem ser registrados como fungos promotores do crescimento de  
 737 plantas de jambu (bioestimulantes), além da vantagem de serem reconhecidos e utilizados  
 738 mundialmente como biocontroladores de insetos. Nesse caso, possuem duas ações de extrema  
 739 importância, no desenvolvimento e na proteção preventiva das plantas, pois durante os ensaios,  
 740 não foi observado pragas, apesar da área comercial utilizada, ter histórico de presença de pragas

741 nas diferentes culturas cultivadas.

742 O jambu é uma cultura que exige clima quente e úmido, com temperaturas acima de 25  
743 °C, solos bem drenados e com bom teor de matéria orgânica (MAPA, 2010). Acredita-se na  
744 influência das condições climáticas sobre a cultura do jambu, o que possivelmente pode explicar  
745 maior desenvolvimento das plantas em associação aos fungos no período chuvoso (SANTOS  
746 et al., 2015). Nas condições do ensaio, observou-se, no período chuvoso, redução de  
747 luminosidade, com maiores períodos de nebulosidade em virtude das constantes chuvas e  
748 temperaturas em média 23 a 28°C, onde foi o período de maior precipitação, com média de 480  
749 mm, além disso, a temperatura média de 25,5 °C, foi a mais baixa ao longo do ano, condições  
750 altamente favoráveis a ação dos fungos. Já no período seco (setembro), houve ocorrência de  
751 altas temperaturas 27-32°C e menor umidade, sendo o mês mais seco, com precipitação de 34  
752 mm e temperatura média de 27,5°C, condições estas menos favoráveis ao desenvolvimento dos  
753 fungos (INMET, 2021).

754 O trabalho demonstrou que plantas de jambu submetidas a pleno sol, no segundo ciclo  
755 de cultivo, tiveram menor crescimento de acordo com os parâmetros de altura da parte aérea,  
756 diâmetro do coleto e teor de clorofila, no entanto, mesmo com limitações de crescimento,  
757 provavelmente devido às condições que a planta foi submetida, houve incremento de alguns  
758 parâmetros avaliados, em plantas tratadas com os fungos entomopatogênicos *M. anisopliae* e  
759 *B. bassiana* e com o promotor de crescimento *T. asperellum*. Desta forma, as melhores respostas  
760 dos parâmetros avaliados em ambiente de cultivo protegido no primeiro ciclo de cultivo, sejam  
761 provavelmente pelas condições climáticas do local, juntamente com a ação dos  
762 microrganismos, porém foi possível observar também, respostas significativas em ambiente não  
763 protegido, onde é possível que tenha sido evidenciado devido à maior ação dos microrganismos  
764 sob a planta.

765 A promoção de crescimento de plantas também pode estar relacionada à produção de  
766 substância de baixo peso molecular pertencentes a diferentes classes químicas como  
767 policetídeos, alcaloides, terpenos e peptídeos não ribossomais (EMBRAPA, 2012). Os  
768 compostos bioativos podem atuar como hormônios reguladores de crescimento,  
769 antibacterianos, antibióticos, antifúngicos, antivirais, inseticidas, entre outros (ALY et al.,  
770 2010). A utilização desses compostos bioativos na agricultura podem, também, influenciar no  
771 crescimento vegetal (DAVITT et al., 2011) e atuar diretamente no hospedeiro, induzindo a  
772 produção de compostos antagonistas aos patógenos, como as fitoalexinas que inibem a presença  
773 de fitopatógenos ou promovendo alteração morfofisiológica na planta, como aumento da  
774 espessura da parede celular e da cutícula (Polli et al., 2012)

775 Os resultados encontrados para jambu, demonstram a necessidade de se conhecer os  
776 diferentes sistemas de cultivo da cultura, com o intuito de fortalecer a sua produtividade,  
777 considerando-se que, cada espécie apresenta comportamento diferente sob condições a qual são  
778 submetidas, tal fato pode ser constatado em trabalhos realizados com as culturas como  
779 pimenteira (COSTA, 2017), alface (DIAMANTE, 2013; FERREIRA, 2009), tomateiro  
780 (MAKISHIMA, 2018), rúcula (PINTO, 2014), chicória (SOUZA, 2018).

781 O microclima formado em ambiente protegido pela proteção do plástico favorece o  
782 desenvolvimento das plantas de *A. oleraceae*, por ser uma espécie típica de clima tropical, o  
783 cultivo bem-sucedido requer preferencialmente clima quente e úmido com temperaturas acima  
784 de 25 °C (NASCIMENTO, 2019), não tolerando seca e baixas temperaturas, apresentando  
785 crescimento prejudicado quando submetidas a condições de temperatura de 20 °C. Silva et al.,  
786 (2020), observaram esse comportamento, principalmente no período chuvoso, pois aumenta o  
787 influxo de CO<sub>2</sub> e reduz a transpiração das plantas (ARAÚJO et al., 2009; CARVALHO, 2015;  
788 SOUZA, 2018).

789 Foram evidenciados que nos dois períodos e sistemas de plantio avaliados, os melhores  
790 resultados apresentados foram pelos tratamentos inoculados com *M. anisopliae* e *T. asperellum*  
791 como maior crescimento, biomassa e parâmetros fisiológicos, do que em plantas tratadas com  
792 o fungo entomopatogênico *B. bassiana*. Resultados semelhantes foram obtidos por Siqueira, et.  
793 al., (2020), que demonstraram que a colonização endofítica do tomateiro por *Metarhizium*.  
794 *robertsii* e *Metarhizium humberi* incrementaram o crescimento da planta, evidenciado pelo  
795 aumento na altura da planta, comprimento da raiz e peso seco da parte aérea e raízes em  
796 comparação com as não inoculadas.

797 Foi evidenciado na pesquisa que o fungo entomopatogênico *B. bassiana* também  
798 conseguiu promover o crescimento das plantas quando comparada ao tratamento controle, no  
799 entanto essa promoção de crescimento foi inferior, as respostas observadas pelo tratamento com  
800 o microrganismo *T. asperellum*. Destaca-se que alguns microrganismos, possuem mecanismo  
801 de ação direta e indireta de promoção de crescimento, dentre esses mecanismos os mais  
802 importantes são a aquisição de nutrientes e a produção de fitohormônios, enquanto a tolerância  
803 a estresses bióticos e abióticos, incluindo o combate a patógenos, é considerado aspecto indireto  
804 na promoção do crescimento (HARDOIM et al., 2015; SOUZA; DOS SANTOS 2017).

805 Os benefícios diretos da interação com fungos endofíticos incluem o aumento na  
806 aquisição de nutrientes e na quantidade de fitohormônios na planta, esses benefícios estão  
807 diretamente relacionados ao aumento da produção de biomassa, desenvolvimento do sistema  
808 radicular, altura da planta, reprodução de peso e produtividade. Devido a esses benefícios, eles



809 podem ser chamados de biofertilizantes (BAMISILE et al. 2018), ou bioinsumos promotores  
810 de crescimento.

811 Pesquisas relataram que, os fungos *M. humberi*, *M. robertsii* e *M. anisopliae*  
812 estimularam o crescimento das plantas pela produção de fitases, sideróforos e ácidos orgânicos  
813 que aumentam a disponibilidade de nutrientes do solo (SHUKLA; VYAS2014; SIQUEIRA et  
814 al., 2020).

815 Semelhante aos resultados encontrados no presente trabalho, Farias et al. (2018)  
816 testaram a inoculação de *Purpeorocillium lilacinum* em consórcio com mais quatro fungos, *B.*  
817 *bassiana*, *M. anisopliae*, *Pochonia chlamydosporia* e *T. asperellum* e obtiveram resultados  
818 positivos na avaliação de parâmetros de promoção de crescimento em plantas de soja e milho,  
819 entretanto, o teste em consórcio dificultou a determinação de qual microrganismo de fato  
820 contribuiu para o crescimento das plantas. Os fungos entomopatogênicos *B. bassiana* e  
821 *Metarhizium spp.* já foram relatados como inoculantes de plantas que atuam no crescimento das  
822 plantas, em culturas como tomate, feijão, mandioca e milho (GARCIA et al., 2011; SASAN;  
823 BIDOCHKA, 2012; LIAO et al., 2014; JABER; ENKERLI, 2016, 2017; TALL; MEYLING,  
824 2018) levando a maiores rendimentos (LOPEZ; SWORD, 2015; GATHAGE et al., 2016;  
825 JABER; ARAJ, 2018).

826 As respostas de trocas gasosas obtidas com a pesquisa demonstraram que os  
827 microrganismos *B. bassiana*, *M. anisopliae* e *T. asperellum* foram capazes de aumentar a  
828 fotossíntese líquida, condutância estomática, concentração intercelular de CO<sub>2</sub> e eficiência  
829 instantânea de carboxilação, principalmente no primeiro ciclo de cultivo. No entanto, no  
830 segundo ciclo de cultivo, também ocorreu aumento desses parâmetros. Os incrementos mais  
831 relevantes foram evidenciados no sistema de cultivo protegido, nos dois ciclos. Esse aumento  
832 pode beneficiar a planta, pois o acréscimo desses parâmetros favorece a absorção de nutrientes  
833 minerais e microelementos (CHO et al., 2008). Assim como, ocorre a elevação na produção de  
834 fotoassimilados que são destinados à formação de tecidos na planta, correlacionando  
835 positivamente a fotossíntese com produção de biomassa. (LEMOS NETO, 2015).

836 Uma maior taxa fotossintética líquida pode ser considerada como uma forma de suportar  
837 a alta demanda energética, o que pode alterar substancialmente o rendimento fotossintético,  
838 bem como outras variáveis como a condutância estomática (CENTRITTO et al., 2009).

839 Resultados semelhantes também foram encontrados por Hwang et al. (2011), onde as  
840 plantas tratadas com filtrados de culturas fúngicas (FCF) de fungos endofíticos na promoção de  
841 crescimento, teve maior taxa fotossintética líquida (*A*), taxa de transpiração (*E*), eficiência de  
842 carboxilação (*A/C<sub>i</sub>*) e eficiência de uso da água (*WUE*, *A/E*) do que as dos controles, que foram

843 mais proeminentes em plantas injetadas com FCF do que em plantas pulverizadas com FCF.  
844 Esses autores observaram que, em plantas injetadas com FCF, os valores médios de  $A$ ,  $E$ ,  $A/C_i$   
845 e  $WUE$  aumentaram em 89%, 27%, 90% e 84%, respectivamente. Hormônios vegetais  
846 produzidos por endófitos podem afetar as vias metabólicas na planta e serem responsáveis por  
847 mudanças na fotossíntese líquida e na condutância estomática (SPIERING; GREER; SCHMID,  
848 2006).

849 Comumente, o incremento nos valores de  $C_i$  é acompanhado de acréscimos na  $g_s$ ; deste  
850 modo, a limitação da abertura estomática seria o fator principal do menor desempenho  
851 fotossintético, uma vez que, quanto maior a abertura estomática maior a difusão de  $CO_2$  para a  
852 câmara subestomática (AUGÉ et al., 2015). É provável que os microrganismos atuem em uma  
853 maior abertura estomática (GONZÁLEZ-PÉREZ et al., 2022). A eficiência de carboxilação,  
854 nos dois sistemas de plantio avaliados, foi reduzida para a maioria dos tratamentos, indicando  
855 baixa eficiência de carboxilação, ou seja, o quanto de  $CO_2$  foi utilizado no processo de  
856 fotossíntese (KONRAD, et al., 2005)

857 O uso de fungos benéficos como os avaliados na presente pesquisa, pode ser importante  
858 para melhorar os parâmetros de trocas gasosas da planta, além de ser muito vantajoso para o  
859 desenvolvimento das plantas de jambu. Mesmo em condições climáticas e sistema de plantio  
860 não favoráveis ao desenvolvimento satisfatório das planta, os microrganismos testados  
861 conseguiram, em alguns parâmetros avaliados, aumentar a taxa de transpiração do jambu, assim  
862 como outros parâmetros fotosintéticos. Assim, esse estudo é o pioneiro em demonstrar que os  
863 fungos *M. anisopliae*, *T. asperellum* e *B. bassiana* são capazes de promover significativamente  
864 à promoção do crescimento em plantas de jambu, principalmente em períodos de condições  
865 climáticas em que a planta possa responder melhor, bem como o tipo de sistema de plantio mais  
866 adequado a cultura.

867

## 868 5. CONCLUSÕES

869

870 - Aplicações dos fungos entomopatogênicos *M. anisopliae* e *B. bassiana* favorecem a  
871 promoção de crescimento por incrementar os parâmetros biométricos e fisiológicos de plantas  
872 de *A. oleracea*, assim como o promotor de crescimento *T. asperellum*. Entretanto o fungo *M.*  
873 *ansiopliae*, apresentou melhor desempenho, semelhante ao *T.asperellum*, principalmente no  
874 sistema de cultivo protegido e no período chuvoso;

875

876 - O melhor desenvolvimento das plantas de *A. oleracea* ocorre no período chuvoso, no  
877 sistema protegido e suspenso, e as aplicações de fungos entomopatogênicos e do *T. asperellum*  
878 favoreceram a diminuição do ciclo da planta e podem antecipar a colheita em cinco dias;

879

880 - Os microrganismos entomopatogênicos e o *T. asperellum* são promissores na  
881 promoção do crescimento, com ação nos parâmetros biométricos e fisiológicos, o que  
882 demonstra alternativa viável e ecologicamente correta para uso na cultura de *A. oleracea*, em  
883 áreas comerciais da agricultura periurbana.

884

## 885 6. REFERÊNCIAS

886

887 KONRAD, M. L. F. et al. Trocas gasosas e fluorescência da clorofila em seis cultivares de  
888 cafeeiro sob estresse de alumínio. *Bragantia*, Campinas, v. 64, n. 3, p. 339-347, Jul./Set. 2005.

889

890 ALY AH, DEBBAB A, PROKSCH P. Endófitos fúngicos: habitantes de plantas únicos com  
891 grandes promessas. *Appl Microbiol Biotechnol*. 90(6):1829-1845. 2011. doi:10.1007/s00253-  
892 011-3270-]

893

894 ARAÚJO NETO, S. E. de; FERREIRA, R. L. F.; PONTES, F. S. T. Rentabilidade da produção  
895 orgânica de cultivares de alface com diferentes preparos do solo e ambiente de cultivo. *Ciência*  
896 **Rural**, Santa Maria, RS, v. 39, n. 5, p. 1362-1368, ago. 2009.

897

898 AUGÉ RM, TOLER HD, SAXTON AM. Arbuscular mycorrhizal symbiosis alters stomatal  
899 conductance of host plants more under drought than. 2015

900

901 BAMISILE BS, DASH CK, AKUTSE KS, KEPPANAN R, WANG LD. Endófitos fúngicos:  
902 além do manejo de herbívoros. *Microbiol*. 2018

903

904 BARTLETT, M. S. Properties of sufficiency and statistical test. *Proceedings of the Royal*  
905 **Society of London**, London, v. 160, n. 901, p. 268-282, May 1937.

906

907 BARTLETT, M.S. (1937) Properties of Sufficiency and Statistical Test. *Proceedings of the*  
908 *Royal Society A*, 160, 268-282. <https://doi.org/10.1098/rspa.1937.0109>.

909

910 BENNEKOU, S.H. Caminhando em direção a uma abordagem holística para avaliação de  
911 riscos à saúde humana – A abordagem atual é adequada para o propósito? *EFSA J*. 17:e170711.  
912 2019. doi: 10.2903/

913

914 BILLS, GF, POLISHOOK, JD. Microfungos de *Carpinus caroliniana*. *Posso. J. Bot.* 69, 1477-  
915 1482. 1991.

916

917 BRASIL. **Manual de hortaliças não-Convencionais**. Brasília: Mapa/ ACS, 2010. 92 p.

918

919 CARVALHO, C. A. C. Impacto do estresse térmico e de co2 no crescimento inicial e na

- 920 fisiologia do meloeiro. 2015. 142 f. Tese (Doutorado em Fitotecnia), Universidade Federal do  
921 Semi-Árido, Mossoró, RN, 2015.
- 922
- 923 COSTA, E.; SANTO, T. L. E.; BATISTA, T. B.; CURI, T. M. R. C. Diferentes tipos de  
924 ambiente protegido e substratos na produção de pimenteiras. **Horticultura Brasileira**, Brasília,  
925 DF, v. 35, n. 3, p. 458-466, jul./set. 2017.
- 926
- 927 DAVITT, A. J., CHEN, C., RUDGERS, J. A. Understanding context-dependency in plant–  
928 microbe symbiosis: The influence of abiotic and biotic contexts on host fitness and the rate of  
929 symbiont transmission. **Environmental and Experimental Botany**, v. 71, p. 137-145. 2011
- 930
- 931 DIAMANTE, M. S.; JÚNIOR, S. S.; INAGAKI, A. M.; SILVA, M. B.; DALLACORT, R.  
932 Produção e resistência ao pendoamento de alface tipo lisa cultivadas sob diferentes ambientes.  
933 **Revista Ciência Agronômica**, v. 44, n. 1, p. 133-140, jan./mar, 2013.
- 934
- 935 EMBRAPA. Fungos Endofíticos: perspectiva de descoberta e aplicação de compostos bioativos  
936 na agricultura. 2012 - Portal Embrapa. Disponível em <<https://www.embrapa.br/busca-de-publicacoes/-/publicacao/951754/fungos-endofiticos-perspectiva-de-descoberta-e-aplicacao-de-compostos-bioativos-naagricultura>> Acesso em 10 de fevereiro de 2022.
- 937
- 938
- 939
- 940 FERREIRA, R. L. F.; ARAÚJO NETO, S. E. de; SILVA, S. S.; ABUD, E. A.; REZENDE, M.  
941 I. F. L.; KUSDRA, J. F. Combinações entre cultivares, ambientes, preparo e cobertura do solo  
942 nas características agronômicas de alface. **Horticultura Brasileira**, Brasília, DF, v. 27, n. 3, p.  
943 383-388, jul./set. 2009.
- 944
- 945 GARCÍA, J. E. et al. *Metarhizium anisopliae* (Metschnikoff) Sorokin Promotes Growth and  
946 Has Endophytic Activity in Tomato Plants. **Advances in Biological Research**, v. 5, n. 1, p. 22–  
947 27, 2011.
- 948
- 949 GATHAGE, JW, LAGAT, ZO, FIABOE, KKM, AKUTSE, KS, EKESI, S., MANIANIA, NK.  
950 Perspectivas de endófitos fúngicos no controle da *mosca minadora Liriomyza* em feijoeiro  
951 *Phaseolus vulgaris* em condições de campo. **BioControl** 61, 741-753. 2016.
- 952
- 953
- 954 GRUBBS, F.E. Procedures for Detecting Outlying Observations in Samples. *Technometrics*,  
955 11, 1-21. 1996. <http://dx.doi.org/10.1080/00401706.1969.10490657>
- 956
- 957 GUSMÃO S. A. L.; GUSMÃO M. T. A.; SILVESTRE W. V. D.; LOPES P. R. A.  
958 caracterização do cultivo de Jambu nas áreas produtoras que abastecem a grande Belém. In:  
959 CONGRESSO BRASILEIRO DE OLERICULTURA, 49, 2009, Águas de Lindóia.  
960 **Resumos...** Águas de Lindóia: CBO, 2009. Versão eletrônica.
- 961
- 962 GUSMÃO, M. T. A.; GUSMÃO, S. A. L. **Jambu da Amazônia: *Acmella oleracea* [(L.) R.  
963 K. Jansen]: características gerais, cultivo convencional, orgânico e hidropônico.** Belém:  
964 Edufra, 2013. 135 p.
- 965
- 966 HARDOIM PR, OVERBEEK LSV, BERG G, ET AL. The hidden world within plants:  
967 ecological and evolutionary considerations for defining functioning of microbial endophytes.  
968 *Microbiology and Molecular Biology Reviews* 79: 293-320. 2015
- 969

- 970 HOMMA, A. K. O. **Extrativismo vegetal na Amazônia: história, ecologia, economia e**  
971 **domesticação**. In: HOMMA, A. K. O.; SANCHES, R. S.; MENEZES, A. J. E. A.; GUSMÃO,  
972 S. A. L. (ed.). Etnocultivo do jambu para abastecimento da cidade de Belém, no Estado do Pará.  
973 Brasília, DF:Embrapa, 2014. p. 329-343  
974
- 975 HWANG GJ, SHI YR, CHU HC: A concept map approach to developing collaborative  
976 Mindtools for context-aware ubiquitous learning. **Br. J. Educ. Technol.** 2011,42(5):778–789.  
977 10.1111/j.1467-8535.2010.01102.x  
978
- 979 HYDE, K.D.; SOYTONG, K. The fungal endophyte dilemma. **Fungal Diversity**, v. 33, p. 163-  
980 173, 2008.  
981
- 982 INMET Available at: [https:// portal.inmet.gov.br/](https://portal.inmet.gov.br/). Accessed Dec. 18, 2021.  
983
- 984 KHAN, A.L.; HAMAYUN, M.; AHMAD, N.; HUSSAIN, J.; KANG, S.M.; KIM, Y.H.;  
985 ADNAN, M.; TANG, D.S.; WAQAS, M.; RADHAKRISHNAN, R.; HWANG, Y.H.; LEE, I.J.  
986 Salinity Stress Resistance Offered by Endophytic Fungal Interaction Between *Penicillium*  
987 *minioluteum* LHL09 and *Glycine max.* L. **Journal of Microbiology and Biotechnology**, v. 21,  
988 p. 893–902, 2011. DOI: 10.4014/jmb.1103.03012  
989
- 990 JABER, L. R.; ENKERLI, J. Effect of seed treatment duration on growth and colonization of  
991 *Vicia faba* by endophytic *Beauveria bassiana* and *Metarhizium brunneum*. **Biological Control**,  
992 v. 103, p. 187–195, 2016.  
993
- 994 JABER, L. R.; ENKERLI, J. Fungal entomopathogens as endophytes: can they promote plant  
995 growth? **Biocontrol Science and Technology**, v. 27, n. 1, p. 28–41, 2017.  
996
- 997 JABER, L.R.; ARAJ, S.E.; QASEM, J.R. Compatibility of endophytic fungal entomopathogens  
998 with plant extracts for the management of sweetpotato whitefly *Bemisia tabaci* Gennadius  
999 (*Homoptera*: *Aleyrodidae*), **Biological Control**, Orlando, Volume 117, Pages 164-171, 2018.  
1000
- 1001 KHAN, A.L.; HAMAYUN, M; KHAN, S.A., KANG, S.; SHINWARI, Z.K.; KAMRAN, M.;  
1002 REHMAN, S.; KIM, J.; LEE, I. Pure culture of *Metarhizium anisopliae* LHL07 reprograms  
1003 soybean to higher growth and mitigates salt stress. **World Journal of Microbiology and**  
1004 **Biotechnology**, v. 28, n. 4, p. 1483-1494, 2012.  
1005
- 1006 KONRAD, M. L. F. et al. Trocas gasosas e fluorescência da clorofila em seis cultivares de  
1007 cafeeiro sob estresse de alumínio. **Bragantia, Campinas**, v. 64, n. 3, p. 339-347, Jul./Set. 2005.  
1008
- 1009 KUMAR, K., MHETRE, A., RATNAPARKHI, G.S., KAMAT, S.S. A Superfamily-wide  
1010 Activity Atlas of Serine Hydrolases in *Drosophila melanogaster*. **Biochemistry** 60(16): 1312-  
1011 -1324.2021.  
1012
- 1013 LACEY, L. et al. Insect pathogens as biological control agents: back to the future. **Journal**  
1014 **of invertebrate pathology**, Amsterdam, v. 132, p. 1-41, Nov. 2015. DOI:  
1015 [10.1016/j.jip.2015.07.009](https://doi.org/10.1016/j.jip.2015.07.009).  
1016
- 1017 LEMOS NETO, H.S.; GUIMARÃES, M. A.; TELLO, J. P. J.; MESQUITA, R. O.; VALE, J. C.; LIMA  
1018 NETO, B. P. Perfomace produtivo e fisiológico de cultivares de alface em diferentes densidades de  
1019 plantio no Semiárido brasileiro. **African Journal of Agricultural**, v.12, p. 771-779. 2017.

- 1020  
1021 LIAO, X. et al. Overexpression of a *Metarhizium robertsii* HSP25 gene increases  
1022 thermotolerance and survival in soil. **Applied Microbiology and Biotechnology**, v. 98, n. 2,  
1023 p. 777–783, 2014  
1024
- 1025 LOPEZ, D. C.; SWORD, G. A. The endophytic fungal entomopathogens *Beauveria bassiana*  
1026 and *Purpureocillium lilacinum* enhance the growth of cultivated cotton (*Gossypium hirsutum*)  
1027 and negatively affect survival of the cotton bollworm (*Helicoverpa zea*). **Biological Control**,  
1028 v. 89, p. 53–60, 2015.  
1029
- 1030 LOPEZ-LLORCA, L. V. et al. Nematophagous fungi as root endophytes. In: SCHULZ, B. J.  
1031 E.; BOYLE, C. J. C.; SIEBER, T. N. (Ed.). **Microbial root endophytes**. Berlin:  
1032 SpringerVerlag, p. 191-206. 2006. DOI: 10.1007/3-540-33526-9\_11.  
1033
- 1034 LORENZI, H.; MATOS, F.J.A. Plantas medicinais no Brasil: nativas e exóticas. **Nova Odessa:**  
1035 **Plantarum**, 2002. 512p.  
1036
- 1037 LUCON, C. M. M. Trichoderma: o que é, para que serve e como usar corretamente na lavoura.  
1038 São Paulo: **Instituto Biológico**, 2014. 35 p.
- 1039 MAKISHIMA, N., MELO, W. F., CARRIJO, O. A. Comparação de quatro tipos de substratos  
1040 para o cultivo de tomateiros em casa-de-vegetação. Disponível  
1041 em:[http://www.abhorticultura.com.br/biblioteca/arquivos/download/biblioteca/44\\_560.pdf](http://www.abhorticultura.com.br/biblioteca/arquivos/download/biblioteca/44_560.pdf)  
1042 Acesso em: 14 de abril de 2018.  
1043
- 1044 Mayo Pietro, S., Campelo, M. P., Lorenzana, A., Rodríguez González, A., Reinoso, B.,  
1045 Gutiérrez, S. & Casquero, P. A. Antifungal activity and bean growth promotion of Trichoderma  
1046 strains isolated from seed vs soil. **European Journal of Plant Pathology**, 158, 817-828. 2020.  
1047
- 1048 MAUÉS, THAMIRES MONTEIRO SILVA ; DA SILVA COSTA, RAFAEL RODRIGO ;  
1049 DOS SANTOS, MARCOS ANTÔNIO SOUZA ; da Silva, Gisele Barata . Agroeconomic  
1050 performance of banana tree under nutritional management with Trichoderma asperellum, in a  
1051 family production system. **AIMS AGRICULTURE AND FOOD** , v. 7, p. 297-311, 2022.  
1052  
1053
- 1054 MEYLING, N. V.; THORUP-KRISTENSEN, K.; EILENBERG, J. Below- and aboveground  
1055 abundance and distribution of fungal entomopathogens in experimental conventional and  
1056 organic cropping systems. **Biological Control**, v. 59, n. 2, p. 180–186, 2011.  
1057
- 1058 NASCIMENTO, L. E. S. **Jambu (Acmella oleracea ( L . ) R . K . Jansen ) hidropônico e**  
1059 **convencional: uma comparação baseada nas propriedades físico-químicas e composição**  
1060 **fotoquímica**. Orientadora: Renata Amboni. 2019. 129 f. Dissertação (Mestrado em Ciência  
1061 dos Alimentos) – Universidade Federal de Santa Catarina, Florianópolis, 2019.
- 1062 NEVES, J. F. *et al.* Cultivo de jambu em campo aberto sob telas de sombreamento e  
1063 termorefletoras. **Enciclopédia Biosfera**, v. 9, n. 17, p. 926–933, 2013.  
1064
- 1065 NORDBRING-HERTZ, B.; JANSSON, H. B.; TUNLID, A. Nematophagous fungi. In:  
1066 **ENCYCLOPEDIA of life sciences**. Hoboken: John Wileyand Sons, 2006. p. 1-11. DOI:  
1067 [10.1038/npg.els.0004293](https://doi.org/10.1038/npg.els.0004293).

- 1068  
1069 PINTO, G. P. Cultivo orgânico de rúcula em diferentes ambientes, volumes e concentrações de  
1070 composto nos substratos. 2014. 48 f. Dissertação (Mestrado em Produção Vegetal) – Centro de  
1071 Ciências Biológicas e da Natureza, Universidade Federal do Acre, Rio Branco, AC, 2014.  
1072
- 1073 POLLI, ANDERSON et al. Aspectos da interação dos microrganismos endofíticos com plantas  
1074 hospedeiras e sua aplicação no controle biológico de pragas na agricultura. **SaBios-Revista de**  
1075 **Saúde e Biologia**, v. 7, n. 2, 2012.  
1076
- 1077 POLTRONIERI, M.C.; MULLER, N. R. M.; POLTRONIERI, L. S. Recomendações para a  
1078 produção de jambu: cultivar Nazaré. **Belém: Embrapa Amazônia Oriental**, 2010. 13 p.  
1079 (Circular Técnica, 11).  
1080
- 1081 SAMPAIO, ITALO MG et al. Productive and physiological responses of jambu (*Acmella*  
1082 *oleracea*) under nutrient concentrations in nutrient solution. **Horticultura Brasileira [online]**.  
1083 2021, v. 39, n. 1 [Accessed 18 August 2022] , pp. 65-71. Available from:  
1084 <<https://doi.org/10.1590/s0102-0536-20210110>>. Epub 29 Mar 2021. ISSN 1806-9991.  
1085 <https://doi.org/10.1590/s0102-0536-20210110>.  
1086
- 1087 SANTOS, E. R.; GENTIL, D. F. O. Propagação de jambu por estaquia. **Comunicata Scientiae**,  
1088 Bom Jesus, v.6, n.1, p. 26-32, jan./mar. 2015.  
1089
- 1090 SASAN, R. K.; BIDOCHKA, M. J. Antagonism of the endophytic insect pathogenic fungus  
1091 *Metarhizium robertsii* against the bean plant pathogen *Fusarium solani* f. sp. phaseoli.  
1092 **Canadian Journal of Plant Pathology**, v. 35, n. 3, p. 288–293, 2013.  
1093
- 1094 SHAPIRO, S. S., AND M. B. WILK. “An Analysis of Variance Test for Normality (Complete  
1095 Samples).” *Biometrika*, vol. 52, no. 3/4, 1965, pp. 591–611. JSTOR,  
1096 <https://doi.org/10.2307/2333709>. Accessed 19 Aug. 2022.  
1097
- 1098 SILVA, L. C.; SAMPAIO, I. M. G.; BITTENCOURT, R. F. P. M.; ARAUJO, M. R.;  
1099 FIGUEIREDO, S. P. R.; GUSMÃO, S. A. L.; COSTA, A. S. Influence of temperature on the  
1100 germination and root size of *Acmella oleracea* (L.) R. K. Jansen. **Revista Agro@ambiente**  
1101 **Online**, v. 14, p. 1-10, 2020.  
1102
- 1103 SIQUEIRA, A. C. O. et al. Multi-Trait Biochemical Features of *Metarhizium* Species and Their  
1104 Activities That Stimulate the Growth of Tomato Plants. **Frontiers in Sustainable Food Systems**,  
1105 v. 4, n. September, p. 1–15, 2020.  
1106
- 1107 SOUZA JL. 1998. Agricultura orgânica. Vitória, EM CAPA, p.176  
1108
- 1109 SOUZA, B.S. and SANTOS, T.T. Endophytic fungi in economically important plants:  
1110 ecological aspects, diversity and potential biotechnological applications. **Journal of Bioenergy**  
1111 **and Food Science**, vol. 4, no. 2, pp. 113-126. 2017. <http://dx.doi.org/10.18067/jbfs.v4i2.121>.
- 1112 SOUSA, THATYANE PEREIRA ; CHAIBUB, AMANDA ABDALLAH ; CORTES,  
1113 MARCIO VINICIUS DE CARVALHO BARROS ; BATISTA, TELMA FÁTIMA COELHO  
1114 ; BEZERRA, GUSTAVO DE ANDRADE ; da Silva, Gisele Barata ; DE FILIPPI, MARTA  
1115 CRISTINA CORSI . Molecular identification of *Trichoderma* sp. isolates and biochemical

- 1116 characterization of antagonistic interaction against rice blast. ARCHIVES OF  
1117 MICROBIOLOGY , v. xx, p. xx-xx, 2021.
- 1118 SOUZA, L. G. S. Rendimento de chicória da Amazônia em ambientes de cultivos, com mudas  
1119 produzidas em substratos constituídos de resíduos. 2018 51 f. Dissertação (Mestrado em  
1120 Produção Vegetal) – Centro de ciências Biológicas e da Natureza, Universidade Federal do  
1121 Acre, Rio Branco, 2018.  
1122
- 1123 SILVA, I. F. *et al.* Teor de clorofila e produtividade do jambu sob cultivo hidropônico e solo  
1124 em diferentes períodos. **Revista Ibero-Americana de Ciências Ambientais**, v. 11, n. 4, p.386–  
1125 394, 2020.  
1126
- 1127 SPIERING, MJ; GREER, DH, E SCHMID, J. Os efeitos do endófito fúngico, *Neotyphodium*  
1128 *lolii*, na fotossíntese líquida e nas taxas de crescimento do azevém perene (*Lolium perenne*) são  
1129 independentes da concentração do endófito In Planta. **Annals of Botany**, 98, 379-387. 2006  
1130
- 1131 SPOLAOR, L. T., et al. Bactérias promotoras de crescimento associadas a adubação  
1132 nitrogenada de cobertura no desempenho agrônomo de milho pipoca. **Bragantia**, 75 (1), 33-  
1133 40. DOI: 10.1590/1678-4499.330. 2016.  
1134
- 1135 STROBEL, G.; DAISY, B. Bioprospecting for microbial endophytes and their natural products.  
1136 **Microbiology and Molecular Biology Reviews**, v. 67, n. 4, p. 491-502, 2003. DOI:  
1137 10.1128/MMBR.67.4.491-502.2003  
1138
- 1139 TALL, S.; MEYLING, N. V. Probiotics for Plants? Growth Promotion by the  
1140 Entomopathogenic Fungus *Beauveria bassiana* Depends on Nutrient Availability. **Microbial**  
1141 **Ecology**, v. 76, n. 4, p. 1002–1008, 2018.  
1142
- 1143 VEGA, FE. Patologia de insetos e fungos endofíticos. *J. Invertebr. Patol.* 98, 277-279. 2008.  
1144
- 1145 VEGA, FE, 2018. O uso de entomopatógenos fúngicos como endófitos em biologia controle:  
1146 uma revisão. **Micologia** 110, 4-30.  
1147  
1148  
1149



1150 **POTENCIAL DE MICRORGANISMOS COMO SOLUBILIZADORES DE FOSFATO,**  
1151 **PRODUÇÃO DE AIA, CLOROFILA E CARBOIDRATOS EM PLANTAS DE *Acmella***  
1152 ***oleraceae***

1153

1154 **RESUMO**

1155 Plantas de *A. oleracea*, são muito requeridas na alimentação humana, tipicamente na culinária  
1156 Amazônica, em cosméticos, bebidas, chás, farmacêuticos, controle de pragas, entre outros usos. A  
1157 aplicação de métodos de produção agrícola mais sustentáveis, de menor impacto ao meio ambiente, e  
1158 que preserve da saúde do consumidor, com alimentos mais saudáveis sem resíduos tóxicos, vem sendo  
1159 muito debatido entre pesquisadores e tem sido muito exigido pela sociedade. Desse modo a busca e  
1160 aplicação de produtos à base de microrganismos, tem sido, cada vez mais utilizado atualmente. Assim,  
1161 objetivou-se quantificar a clorofila *a* e *b*, carboidratos, solubilização de fosfato e síntese de AIA, após  
1162 inoculação dos fungos entomopatogenicos *Metarhizium anisopliae* e *Beauveria bassiana*, e do promotor  
1163 de crescimento *Trichoderma asperellum*. O experimento “*in vivo*” foi conduzidos em área comercial de  
1164 agricultura periurbana no município de Ananindeua, Pará, em canteiros suspenso, em campo, protegido  
1165 com filme plástico difusor de 100 micras. Os testes *in vitro* foram realizados no Laboratório de Proteção  
1166 de Plantas, pertencente a Universidade Federal Rural da Amazônia. Foram utilizados três inoculantes:  
1167 *B. bassiana*, *M. anisopliae*, *Pool T. asperellum* (Isolados UFRA T06, UFRA T09, UFRA T12, UFRA  
1168 T52) e tratamento controle, com o uso de água potável. Os dados de clorofila *a* e *b*, carboidrato,  
1169 solubilização de fosfato e produção de AIA, foram examinadas pelo teste F ( $P \leq 0.05$ ). Os resultados  
1170 obtidos, demonstraram que a aplicação dos fungos entomopatogênicos e do promotor de crescimento,  
1171 em plantas de jambu, induziram incrementos nos teores de clorofilas, sendo o maior promovido por *T.*  
1172 *asperellum*. As plantas bioestimuladas apresentaram diferentes respostas nas concentrações de sacarose,  
1173 frutose e glicose, em relação às plantas controle. Na solubilização de fosfato, todos os isolados  
1174 demonstraram crescimento micelial em meio NBRIP modificado e produziram AIA no meio de cultura  
1175 FAN suplementado com L-triptofano, em resposta a síntese de ácido indol acético (AIA), quando  
1176 comparados ao controle. Conclui-se que os fungos *B. bassiana*, *M. anisopliae* e *T. asperellum*, são  
1177 capazes de incrementar a clorofila, sacarose, solubilizar fosfato e produzir AIA em plantas de jambu *A.*  
1178 *oleracea*.

1179

1180 **PALAVRAS-CHAVE:** Sustentáveis; Plantas bioestimuladas; Sacarose; Síntese de AIA;  
1181 Solubilização de fosfato.

1182

1183

1184

1185

1186 **ABSTRACT**

1187 *A. oleracea* plants are in great demand in human nutrition, typically in Amazonian cuisine,  
1188 cosmetics, beverages, teas, pharmaceuticals, pest control, among other uses. The application of  
1189 more sustainable agricultural production methods, with less impact on the environment, and  
1190 which preserve consumer health, with healthier food without toxic residues, has been much  
1191 debated among researchers and has been much demanded by society. In this way, the search for  
1192 and application of products based on microorganisms has been increasingly used today. The  
1193 aim was to quantify chlorophyll a and b, carbohydrates, phosphate solubilization and AIA  
1194 synthesis after inoculation with the entomopathogenic fungi *Metarhizium anisopliae* and  
1195 *Beauveria bassiana*, and the growth promoter *Trichoderma asperellum*. The "in vivo"  
1196 experiment was conducted in a commercial area of peri-urban agriculture in the municipality  
1197 of Ananindeua, Pará, in suspended beds, in the field, protected with 100-micron diffuser plastic  
1198 film. The *in vitro* tests were carried out at the Plant Protection Laboratory at the Federal Rural  
1199 University of Amazonia. Three inoculants were used: *B. bassiana*, *M. anisopliae*, Pool *T.*  
1200 *asperellum* (Isolates UFRA T06, UFRA T09, UFRA T12, UFRA T52) and control treatment,  
1201 using drinking water. The data on chlorophyll a and b, carbohydrate, phosphate solubilization  
1202 and AIA production were examined using the F test ( $P \leq 0.05$ ). The results obtained showed  
1203 that the application of entomopathogenic fungi and the growth promoter to jambu plants  
1204 induced increases in chlorophyll levels, the greatest of which was promoted by *T. asperellum*.  
1205 The biostimulated plants showed different responses in terms of sucrose, fructose and glucose  
1206 concentrations compared to the control plants. In phytate solubilization, all the isolates showed  
1207 mycelial growth in a modified NBRIP medium and produced AIA in FAN culture medium  
1208 supplemented with L-tryptophan, in response to the synthesis of indole acetic acid (AIA), when  
1209 compared to the control. It is concluded that the fungi *B. bassiana*, *M. anisopliae*, and *T.*  
1210 *asperellum* are able to increase chlorophyll, and sucrose, solubilize phosphate, and produce  
1211 AIA in *A. oleracea* jambu plants.

1212

1213 **KEYWORDS:** Sustainable; Biostimulated plants; Sucrose; AIA synthesis; Phosphate  
1214 solubilization.

1215

1216

1217

1218

1219

## 1220 **INTRODUÇÃO**

1221 *Acmella oleracea* (L.) R. K Jansen, atualmente é uma espécie utilizada com frequência  
1222 em todo o mundo para alimentação, cosméticos, bebidas, chás, farmacêuticos e fins de controle  
1223 de pragas. Esta planta contém ampla gama de metabólitos secundários, com características  
1224 semelhantes a produtos da indústria química, como a atividade larvicida (SIMAS et al., 2013),  
1225 atividade inseticida (MORENO et al., 2012) e ação controladora sobre carrapatos (OLIVEIRA  
1226 et al., 2016). Devido a essas características da espécie, maior interesse por produtores e  
1227 pesquisadores vem sendo despertado nos últimos anos, com foco em pesquisas que promovam  
1228 aumento da eficiência produtiva da cultura com ênfase em manejo mais sustentável.

1229 Produtos químicos, sintéticos e fertilizantes minerais são criticados por efeitos  
1230 potencialmente negativos na saúde humana (BENNEKOU, 2019) e/ou no meio ambiente  
1231 (NORSE, 2005; HUANG et al., 2017), incluindo o esgotamento de recursos não renováveis  
1232 (CHOJNACKA et al., 2020) e o impacto negativo na biodiversidade (MOZUMDER &  
1233 BERRENS, 2007; SÁNCHEZ- BAYO & WYCKHUYS, 2019). Devido a essas preocupações,  
1234 a aplicação de métodos de produção agrícola sustentável vem sendo exigido por consumidores,  
1235 bem como por disposições legais (MARRONE, 2019). Nesse contexto, embora não se espere  
1236 que pesticidas ou fertilizantes a base de microrganismos substituam totalmente o uso de  
1237 pesticidas químicos e fertilizantes minerais, eles podem desempenhar um papel cada vez maior  
1238 e sua aplicação em práticas agrícolas em todo o mundo (ALABOUVETTE et al., 2012; KUREK  
1239 & OZIMEK, 2013).

1240 Fungos entomopatogênicos (FE) têm sido estudados tradicionalmente no controle de  
1241 insetos, no entanto, recentemente despertou interesse nas pesquisas, seu papel como endófitos  
1242 de plantas na natureza. Esses fungos foram isolados de várias espécies de plantas como  
1243 endófitos naturais e foram inoculados experimentalmente em muitas plantas hospedeiras para  
1244 avaliar seus papéis potenciais na proteção de plantas (VEGA, 2008). Há evidências crescentes  
1245 de que esses FE têm efeitos como promotores de crescimento vegetal, e contra patógenos de  
1246 plantas e pragas de artrópodes (VEGA et al. 2009; JABER & ENKERLI, 2017; JABER &  
1247 OWNLEY, 2018; BARRA-BUCAREI et al. 2020).

1248 Os mecanismos de promoção de crescimento vegetal por microrganismos do solo, como  
1249 o *Trichoderma sp.*, podem ser diretos e indiretos. Os diretos podem ser devidos a produção de  
1250 hormônios, ou outra substância análoga a estes, que influenciam no crescimento ou  
1251 desenvolvimento da planta (MACHADO et al., 2011), ou ainda suprindo necessidades  
1252 nutricionais pela solubilização de fosfatos (GRAVEL et al., 2007). Já os benefícios indiretos  
1253 podem ser pela ação de microrganismos por meio da supressão de patógenos (HARMAN et al.,

1254 2004; SILVA et al., 2011; GAVA & MENEZES, 2012).

1255 Quanto à produção do hormônio, a síntese de auxinas, particularmente o ácido indol-  
1256 acético (AIA) promove o crescimento das raízes e a proliferação de pelos radiculares, o que  
1257 pode melhorar a absorção de nutrientes e água do solo e, conseqüentemente, melhorar o  
1258 crescimento da planta (CABALLERO-MELLADO et al., 2006). Vários estudos têm reportado  
1259 que os microrganismos estão ativamente envolvidos na síntese de auxinas, tanto em meio de  
1260 cultura quanto no solo (SOUCHIE et al., 2007; CARVALHO FILHO, 2008).

1261 Diversos microrganismos do solo, como os fungos, solubilizam diferentes formas de  
1262 fosfatos inorgânicos. Os fungos foram relatados como solubilizadores de fosfatos em diversos  
1263 trabalhos (SOUCHIE et al.; 2005; VASSILEV et al., 2006; BARROSO & NAHAS, 2008;  
1264 KAPRI & TEWARI, 2010). A utilização de microrganismos que possuem a capacidade de  
1265 realizar este tipo de solubilização tem sido empregada como forma de substituir ou reduzir o  
1266 uso de fertilizantes fosfáticos solúveis, pois dessa forma haverá melhor aproveitamento dos  
1267 fosfatos naturais (SILVA FILHO et al., 2002)

1268 Além disso, carboidratos e enzimas são amplamente estudados por seu papel no  
1269 crescimento da planta hospedeira e como moléculas sinalizadoras de plantas contra numerosos  
1270 estresses abióticos e bióticos para mediar respostas de defesa em plantas hospedeiras (GILL E  
1271 TUTEJA 2010; JAMMER et al. 2015). No recente aumento da pesquisa endofítica sobre FE, é  
1272 importante focar na planta processos fisiológicos, como identificar as atividades dessas enzimas  
1273 de carboidratos em relação à colonização por fungos, crescimento de plantas e desempenho de  
1274 insetos herbívoros.

1275 Portanto uma maior compreensão da eficiência e capacidade dos entomopatogêncios *M.*  
1276 *anisopliae* e *B. bassiana* e do promotor de crescimento *Trichoderma asperellum* em aumentar  
1277 os níveis de clorofila e carboidratos de plantas de jambu, e a capacidade desses fungos em  
1278 solubilizar fosfato e sintetizar AIA, são necessárias para caracterizar esses microrganismos com  
1279 promotores do crescimento de plantas.

1280 A hipótese do trabalho, é que fungos entomopatogênicos *M. anisopliae* e *B. bassiana* e  
1281 o promotor de crescimento *Trichoderma asperellum* são capazes de atuar no incremento de  
1282 clorofila *a* e *b*, níveis de carboidratos de plantas de *A. oleraceae*. Assim como são capazes de  
1283 solubilizar fosfato e sintetizar AIA. Desse modo, o objetivo do trabalho é quantificar clorofila  
1284 *a* e *b* e carboidratos de plantas de jambu inoculadas com fungos entomopatogênicos e com um  
1285 promotor de crescimento, e quantificar a solubilização de fosfato e síntese de AIA dos isolados  
1286 de *M. anisopliae*, *B. bassiana* e do padrão *T. asperellum*.

1287

## 1288 MATERIAL E MÉTODOS

### 1289 2.1 Área de estudo

1290 O estudo *in vivo* foi realizado em área comercial, pertencente a Associação dos Produtores  
1291 e Hortifrutigranjeiros da Gleba do Guajará – APHA, localizada na área urbana e periurbana do  
1292 município de Ananindeua, entre as coordenadas geográficas 1°19'28.55" S e 48°23'16.96", sob  
1293 condições de campo, em canteiro suspenso em estufa protegida com filme plástico, tipo ultra  
1294 violeta, transparente, espessura 100 micras, no período chuvoso, março de 2021. Os testes *in*  
1295 *vitro* foram realizados no Laboratório de Proteção de Plantas- LPP, pertencente a Universidade  
1296 Federal Rural da Amazônia- UFRA.

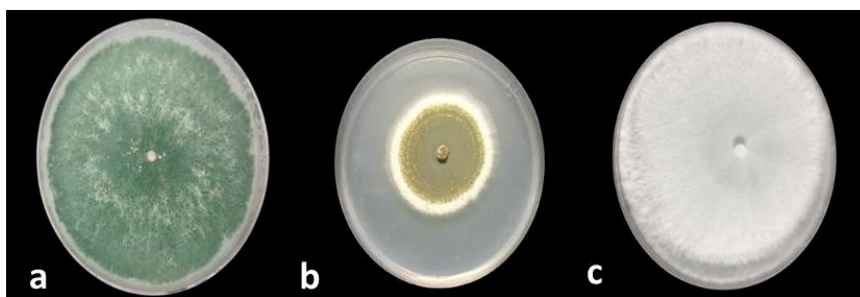
1297

### 1298 2.2 Microrganismos

1299 Os isolados fúngicos entomopatogênicos de *B. bassiana* e *M. anisopliae*, e do promotor  
1300 de crescimento *T. asperellium* utilizados, são nativos da Amazônia Brasileira e pertencem a  
1301 Micoteca do Laboratório de Proteção de Plantas, da Universidade Federal Rural da Amazônia-  
1302 UFRA, onde estão armazenados em Castelanni sob temperatura de 26°C. Bioensaios de  
1303 screening toxicológico, preliminares, mostraram resultados positivos quanto a patogenicidade  
1304 destes na colonização endofítica, do besouro *Tenebrio molitor*, em laboratório. Assim como na  
1305 promoção de crescimento de plantas por *T. asperellum* (SOUSA et al.,2021; MAUÉS, et  
1306 al.,2022)

1307

1308 Figura 15. Colônias de fungos entomopatogênicos utilizados como  
1309 promotores de crescimento de plantas de jambu, *Acmella oleracea*.  
1310 a) *T. asperellium* b) *M. anisopliae* c) *Beauveria Bassiana*.



1311 Fonte; Autor, 2022.

1312

1313

### 1314 2.3 Crescimento de plantas

1315 Sementes do *A. oleracea*, de flor amarela, foram obtidas do banco de sementes ativo na  
1316 área da Associação dos produtores e Hortifrutigranjeiros da Gleba do Guajará – APHA. A  
1317 semeadura foi realizada em bandejas de poliestireno expandido de 128 células, utilizando-se

1318 substrato a base de composto orgânico peneirado, produzido a partir de caroço de açaí triturado  
1319 e cama de aviário, na proporção 2:1. Foram semeadas dez sementes por célula, com finalidade  
1320 de garantir, no momento do transplante, duas plântulas por célula, necessitando a realização de  
1321 desbaste após a germinação, para deixar o número desejado de plântulas. A bandeja contendo  
1322 as mudas foi acondicionada em ambiente protegido com 20% de redução na radiação, molhadas  
1323 manualmente, duas vezes ao dia, até a capacidade de campo do substrato. As mudas, contendo  
1324 quatro folhas cada, foram transplantadas 20 dias após semeadura, onde foram colocadas duas  
1325 plantas por cova, no espaçamento de 5 x 10 cm.

1326 O canteiro foi adubado com 3 kg de composto orgânico por m<sup>2</sup>, incorporado nos 10 cm  
1327 superficiais do solo. Utilizou-se o sistema de produção em canteiros suspensos que apresentam  
1328 80 cm de altura, 1,40 m de largura e 20 m de comprimento, protegido com filme plástico difusor  
1329 de 100 micras, com proteção UV e antioxidantes com aditivos que distribuem a luz dentro da  
1330 estufa e reduz em 20% a radiação, em parcelas de um metro quadrado, subdivididas em 0,20 x  
1331 0,20m. As mudas foram irrigadas com micro aspersor de vazão 90L.h<sup>-1</sup> por 20 minutos, duas  
1332 vezes ao dia. Também foi realizado o controle de plantas daninhas, de forma manual.

1333

#### 1334 **2.4 Preparo das suspensões fúngicas**

1335 Os três isolados fúngicos foram preparados a partir de discos armazenados em  
1336 Castelanni, onde foram colocados em placas de Petri contendo meio BDA (Batata- Dextrose-  
1337 Agar) para crescimento das colônias axênicas. Os conídios foram colhidos com espátula estéril  
1338 e suspensos em água destilada estéril, em seguida, centrifugados a 3.000 RPM por três minutos  
1339 para remover fragmentos de hifas, conídios aglomerados e pedaços de ágar, repetido duas vezes.  
1340 Cada suspensão foi ajustada em  $1 \times 10^8$  conídios.mL<sup>-1</sup> com auxílio da câmara de Neubauer, e  
1341 inoculados em arroz usando suspensões na concentração ajustada, para armazenamento.

1342

#### 1343 **2.5 Inoculação dos microrganismos**

1344 Foram realizadas duas aplicações de cada tratamento, sendo uma no dia do transplante  
1345 e outra 15 dias após o transplante. A inoculação dos fungos foi realizada por meio da aplicação  
1346 direta da suspensão de conídios, sendo aplicados 20 mL de suspensão a  $1 \times 10^8$  conídios.mL<sup>-1</sup>  
1347 por planta.

1348

#### 1349 **2.6 Coleta do material e determinação dos pigmentos fotosintéticos**

1350 Para avaliar se os fungos promoveram alterações no metabolismo primário, as folhas de

1351 jambu foram embaladas em papel alumínio, imediatamente mergulhadas em nitrogênio líquido  
1352 e armazenadas em freezer, -80 °C, até análise. O material foi liofilizado a - 20 °C por 48 horas.

1353 Para a determinação dos pigmentos utilizou-se protocolo descrito por Porra et al. (1989)  
1354 por meio de um leitor de microplacas (OptiMax Tunable Microplate Reader). Em uma  
1355 microplaca de 96 poços, foram adicionados em cada poço 20 µL do extrato etanólico fresco, 40  
1356 µL do mix etanólico (contendo etanol 98%, 80% e 50% na proporção 2:1:2, respectivamente)  
1357 e 120 µL de etanol 98%. Posteriormente foram feitas leituras em dois comprimentos de onda,  
1358 665 e 645, correspondendo a clorofilas *Chl a* e *Chl b*, respectivamente. Os teores de clorofilas  
1359 foram determinados por meio das equações abaixo e expressos em mg.g<sup>-1</sup> de massa fresca (MF).

$$1360 \quad \text{Chl } a = (5,48 \times \text{Abs}665) - (2,16 \times \text{Abs}645) \text{ µg/poço}$$

$$1361 \quad \text{Chl } b = (9,67 \times \text{Abs}645) - (3,04 \times \text{Abs}665) \text{ µg/poço}$$

1362

## 1363 **2.6 Análise bioquímica**

1364 Para análise bioquímica, uma alíquota de aproximadamente 20 mg de material  
1365 liofilizado de folhas de *A. oleracea*, foram extraídos em 250 µL etanólico 98% e agitados em  
1366 vórtex por 20 segundos. Posteriormente, foram agitados em 750 rpm, por 20 minutos a 80 °C e  
1367 centrifugados logo em seguida em 13.000 rpm por 15 minutos a 4 °C. O sobrenadante foi  
1368 coletado e transferido para um microtubo de 2 mL. Em seguida foram adicionados 250 µL  
1369 etanólico 80%, e realizados os mesmos procedimentos até a coleta do sobrenadante. A fase  
1370 superior (polar e transparente) foi recolhida para um novo microtubo e armazenada a - 20 °C  
1371 para posterior quantificação de açúcares solúveis (glicose, frutose e sacarose). O precipitado  
1372 (*pellet*), foi lavado com 1000 µL de etanol 98%, centrifugado por 12 minutos em 13.000 rpm a  
1373 4°C, para posterior quantificação de amido como descrito por Lisec (2006) e algumas  
1374 modificações descritas.

1375

### 1376 **2.6.1 Quantificação de glicose, frutose e sacarose**

1377 Para estimar a glicose, frutose e sacarose utilizou-se o ensaio de substrato enzimático  
1378 contínuo, como descrito por Fernie (2001), a partir de alíquota de 5 µL do extrato etanólico  
1379 obtido anteriormente, onde foram adicionados em meio de reação de 205 µL [150 µL de tampão  
1380 HEPES (KOH 0,1 M + 3 mM MgCl<sub>2</sub> em pH 7,0); 4,65 µL de ATP 109 mM (60 mg mL<sup>-1</sup>); 4,65  
1381 µL de NADP<sup>+</sup> 48,4 mM (36 mg mL<sup>-1</sup>); 0,77 µL de Glicose-6-fosfato desidrogenase (G6PDH –  
1382 700 U mL<sup>-1</sup>) e 45 µL de H<sub>2</sub>O ultra pura] em microplaca por poço. A leitura das amostras foram

1383 realizadas em um leitor de microplaca (Molecular Devices, Sunny Valle, EUA) em  
 1384 comprimento de onda de 340 nm. A cinética foi avaliada por meio da formação NADPH, devido  
 1385 a adição de 1,5 U de Hexocinase (1,5 U em 5  $\mu$ L), sendo possível estimar a quantidade de  
 1386 glicose presente no extrato. Após a estabilização da reação, foi adicionado 0,7 U de  
 1387 Phosphoglucose isomerase (PGI – 0,7 U em 5  $\mu$ L), formando novamente NADPH, permitindo  
 1388 estimar o teor de frutose nas amostras. Após a estabilização da reação foram adicionados na  
 1389 reação 5 U de Invertase (5 U em 5  $\mu$ L) para que a quantidade de sacarose fosse estimada, a  
 1390 partir da sua isomerização e posteriormente oxidação da glicose e frutose com a formação de  
 1391 NADPH. Todos os cálculos foram baseados na equação:

$$1392 \quad \mu\text{mol de NADPH} = \frac{\Delta OD}{(2,85 \times 6,22)}$$

1393 Os valores foram corrigidos de acordo com a massa inicial das amostras e os resultados  
 1394 expressos em  $\mu$ mol de glicose, frutose e sacarose  $\text{g}^{-1}$  massa seca (MS).

1395

### 1396 **2.6.2. Quantificação de amido**

1397 Para determinar o amido, o precipitado (*pellet*) da extração etanólica foi solubilizado  
 1398 por aquecimento a 95  $^{\circ}\text{C}$ , em 400  $\mu$ L NaOH (0,1 M). Posteriormente, 61,25  $\mu$ L de solução de  
 1399 ácido acético (1 M) foram adicionados às amostras para neutralização e conseqüente  
 1400 degradação do amido. A degradação do amido, ocorreu a partir da adição de 10  $\mu$ L do extrato  
 1401 neutralizado adicionado a 60  $\mu$ L do mix de degradação [59  $\mu$ L de tampão acetato de sódio (50  
 1402 mm, pH 4,9) + 1  $\mu$ L de amilo glucosidase (170 U  $\text{mL}^{-1}$ ) + 0,012  $\mu$ L de  $\alpha$ -amilase (325 U  $\text{mL}^{-1}$ )]. A reação de degradação ocorreu em *overnight* a 37  $^{\circ}\text{C}$ .

1404 Após a etapa de degradação e a formação de resíduos de glicose a partir de amido  
 1405 presente nas amostras, 10  $\mu$ L do extrato obtido da degradação foram adicionados em meio de  
 1406 reação de 200  $\mu$ L [150  $\mu$ L de tampão HEPES (KOH 1 M + 30 mM  $\text{MgCl}_2$  em pH 7,0); 4,65  $\mu$ L  
 1407 de ATP 109 mM (60 mg  $\text{mL}^{-1}$ ); 4,65  $\mu$ L de  $\text{NADP}^+$  48,4 mM (36 mg  $\text{mL}^{-1}$ ); 0,77  $\mu$ L de Glicose-  
 1408 6-fosfato desidrogenase (G6PDH – 700 U  $\text{mL}^{-1}$ ) e 40  $\mu$ L de  $\text{H}_2\text{O}$  ultra pura] em microplaca de  
 1409 96 poços. Foi realizada a leitura das amostras em comprimento de onda de 340 nm. A cinética  
 1410 foi avaliada por meio da formação NADPH, devido a adição de 2 U de Hexocinase (2 U em 5  
 1411  $\mu$ L), sendo possível estimar o conteúdo de amido determinado como equivalentes de glicose  
 1412 (HENDRIKS et al., 2003), conforme a fórmula abaixo:

$$1413 \quad \mu\text{mol de NADPH} = \frac{\Delta OD}{(2,85 \times 6,22)}$$

1414 Os valores foram corrigidos de acordo com a massa inicial das amostras e os resultados



1415 expressos em mmol de equivalente glicose  $\text{g}^{-1}$  massa seca (MS).

1416

## 1417 **2.7 Solubilização de fosfato**

1418 Para o ensaio de solubilização de fosfato *in vitro* os isolados fúngicos foram cultivados  
1419 inicialmente em meio BDA (batata, dextrose e ágar) a  $28^\circ\text{C}$ , por sete dias. A partir dessas  
1420 colônias foram retirados discos de aproximadamente 8,0 mm de diâmetro, contendo micélio e  
1421 esporos, depositados em Erlenmeyer (250 mL), para os testes quanto ao potencial de  
1422 solubilização de fosfato, *in vitro*, em meio NBRIP modificado (NAUTYAL, 1999), contendo  
1423 os seguintes ingredientes ( $\text{g L}^{-1}$ ): glicose, 10,0;  $\text{MgCl}_2 \cdot 6 \text{H}_2\text{O}$ , 5,0;  $\text{MgSO}_4 \cdot 7\text{H}_2\text{O}$ , 0,25; KCl,  
1424 0,2;  $(\text{NH}_4)_2\text{SO}_4$ , 0,1. Foram adicionados ao meio, 50 mL de  $\text{K}_2\text{HPO}_4$  (10%) e 100 mL de  $\text{CaCl}_2$   
1425 (10%), para formação de precipitado insolúvel de fosfato de cálcio ( $\text{CaHPO}_4$ ).

1426 A estimativa quantitativa de solubilização de fosfato foi realizada em triplicata em  
1427 delineamento inteiramente casualizado. A incubação foi realizada a  $28 \pm 1^\circ\text{C}$  em um agitador a  
1428 150 rpm, durante oito dias. Foram feitas avaliações aos dois, quatro, seis e oito dias após a  
1429 repicagem. Para a determinação da concentração de fósforo (P) solúvel utilizou-se o método  
1430 colorimétrico de Murphy & Riley (1962), subtraindo-se o P solúvel contido nos tratamentos  
1431 pelo contido na amostra controle (meio de cultura com fosfato e sem inóculo). Para as  
1432 avaliações foram utilizadas uma parte do reagente, 0,5 ml da amostra filtrada mais 5 mL de água  
1433 destilada para cada amostra. Após 20 minutos de reação o P solúvel foi quantificado em  
1434 espectrofotômetro no comprimento de onda de 725 nm de absorbância. A curva padrão para  
1435 quantificação de P foi feita a partir do fosfato de potássio monobásico ( $\text{KH}_2\text{PO}_4$ ) e as  
1436 concentrações calculadas em  $\mu\text{g} \cdot \text{mL}^{-1}$ .

1437

## 1438 **2.8 Produção de Ácido Indolacético (AIA)**

1439 Para a produção de AIA *in vitro* pelos isolados fúngicos, inicialmente os isolados foram  
1440 previamente cultivados em placa de Petri em meio BDA (batata, dextrose e Agar), por sete dias  
1441 a  $28^\circ\text{C}$ . Para a avaliação da produção de AIA foi utilizado meio de cultura FAN (glicose, 20 g;  
1442 extrato de levedura, 3 g;  $\text{K}_2\text{HPO}_4$ , 0,6 g;  $\text{MgSO}_4$ , 0,3 g; pH 5,9 – 6,1) (FAN, 2002). Discos de  
1443 meio (8 mm) contendo as estruturas dos isolados fúngicos foram transferidos para frascos de  
1444 Erlenmeyer (250 mL) contendo 50 mL de meio FAN, na ausência (testemunha) e presença de  
1445 L-triptofano. A concentração de L-triptofano utilizada foi de  $100 \text{ mg L}^{-1}$ , com três repetições  
1446 por isolado para cada tratamento, em delineamento inteiramente ao acaso. Após dois, quatro,  
1447 seis e oito dias de crescimento sob um agitador rotatório (150 rpm) a  $26 \pm 2^\circ\text{C}$ , a massa fúngica  
1448 foi separada por centrifugação a 12.000 rpm por 15 minutos. Para a análise colorimétrica de

1449 AIA (GORDON & WEBER, 1951) foram utilizados uma parte do reagente de Salkowski [FeCl<sub>3</sub>  
1450 0,5 mol L<sup>-1</sup> + HClO<sub>4</sub> (35%)] e duas partes do sobrenadante obtido de cada isolado. Após a  
1451 comprovação qualitativa da presença de AIA (coloração rosa após 25 minutos de reação à  
1452 temperatura de 28 °C no escuro), o fitohormônio foi quantificado em espectrofotômetro em 530  
1453 nm. As concentrações, em µg mL<sup>-1</sup>, foram calculadas a partir de uma curva padrão com  
1454 concentrações conhecidas da forma sintética do hormônio (0 a 100 µg mL<sup>-1</sup>), cujas leituras  
1455 foram a base para calcular a concentração de AIA nas amostras.

1456

### 1457 **2.9 Tratamentos e delineamento experimental**

1458 . Foram utilizados três tratamentos fúngicos: *B. bassiana*, *M. anisopliae* e *T. asperellum*  
1459 (*Pool* UFRA T06, UFRA T09, UFRA T12, UFRA T52). O controle consistiu apenas da  
1460 aplicação de água. O ensaio foi montado em canteiro suspenso protegido, em um delineamento  
1461 em blocos casualizados, em esquema fatorial (4 x 2), com cinco repetições. Para avaliação  
1462 foram coletadas quatro plantas por repetição, considerando o efeito de bordadura. ,

1463

### 1464 **3.0 Análise estatística**

1465 Inicialmente foi realizada a verificação de presença de dados discrepantes (GRUBBS,  
1466 1969), normalidade dos erros (SHAPIRO; WILK, 1965) e homogeneidade das variâncias  
1467 (BARTLETT, 1937). Os resultados obtidos foram submetidos à análise de variância pelo teste  
1468 F, onde se verificou a significância dos efeitos isolados. As médias comparadas pelo teste Tukey  
1469 ( $P < 0.05$ ) usando o software R (versão 4.1.0 para Windows).

1470

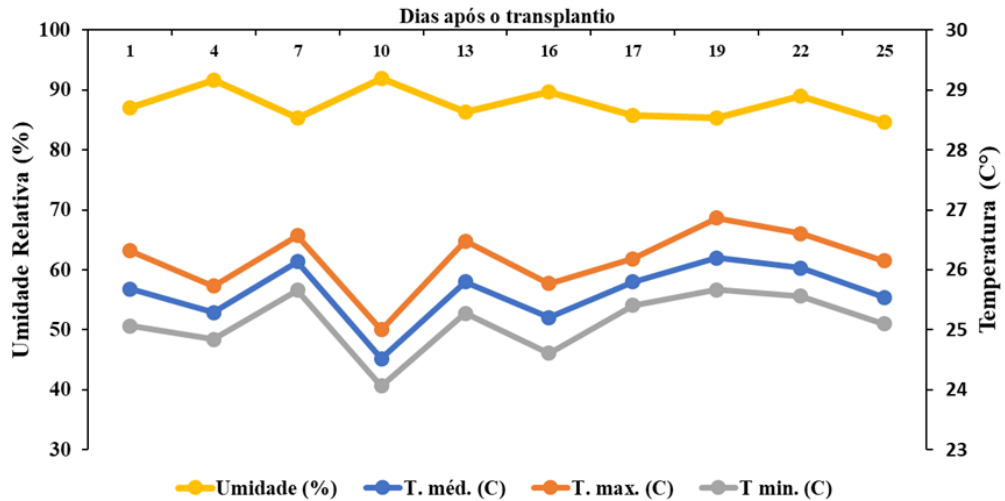
## 1471 **RESULTADOS**

1472 As Figuras 16 e 17, apresenta a flutuação de temperatura, umidade relativa do ar e  
1473 precipitação ao longo dos 25 dias de experimento em campo, até a coleta das plantas de jambu  
1474 submetidas aos tratamentos com os isolados fúngicos.

1475 A aplicação dos fungos entomopatogênicos e promotor de crescimento em jambu  
1476 induziu incrementos nos teores de clorofilas. Os maiores incrementos foram obtidos no  
1477 tratamento com o promotor de crescimento *T. asperellum*. Esses incrementos positivos foram  
1478 de 50% para *Chla*, em 45% para *Chlb*, em 50% para *Chla+b*, em 5% para a razão *Chla/Chlb*,  
1479 no entanto a razão *Chla/Chlb* não diferiu do controle (Figura 18). Em relação aos tratamentos  
1480 com *M. anisopliae* e *B. bassiana*, também houve incremento de 40% e 45% para *Chla*, 20% e  
1481 32% para *Chlb*.

1482

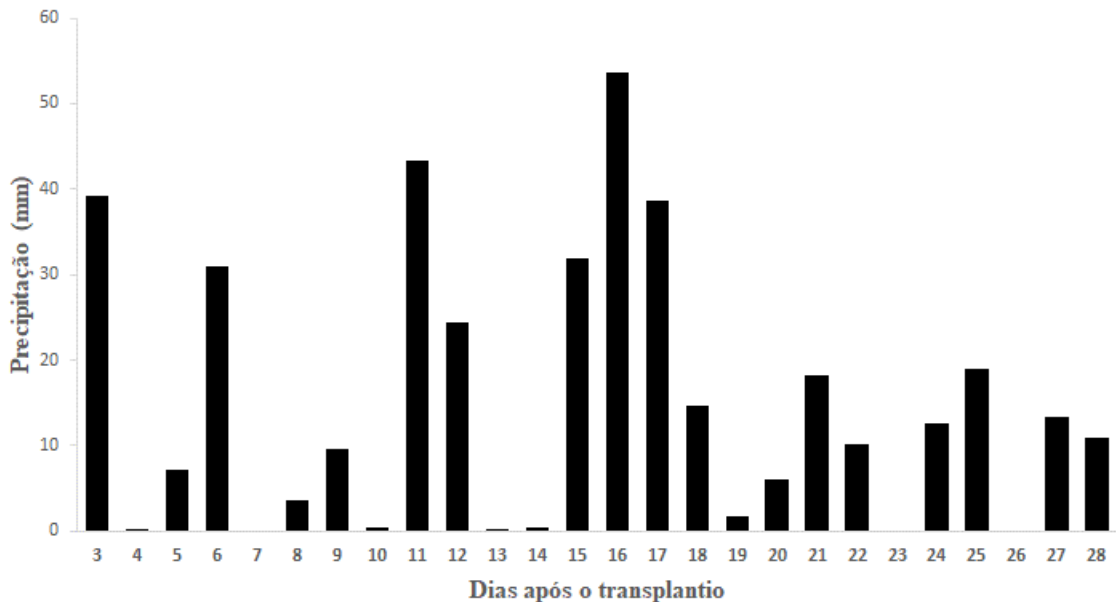
1483 Figura 16. Valores de umidade relativa e temperaturas mínimas, médias e máximas, mensuradas  
 1484 durante 25 dias de condução do experimento em campo com plantas de jambu, *Acmella*  
 1485 *oleracea*, no município de Ananindeua, Pará.  
 1486



1487

1488

1489 Figura 17. Médias de precipitação diária mensuradas durante a condução do experimento  
 1490 durante 25 dias de condução do experimento em campo com plantas de jambu, *Acmella*  
 1491 *oleracea*, no município de Ananindeua, Pará.



1492

1493

1494

1495

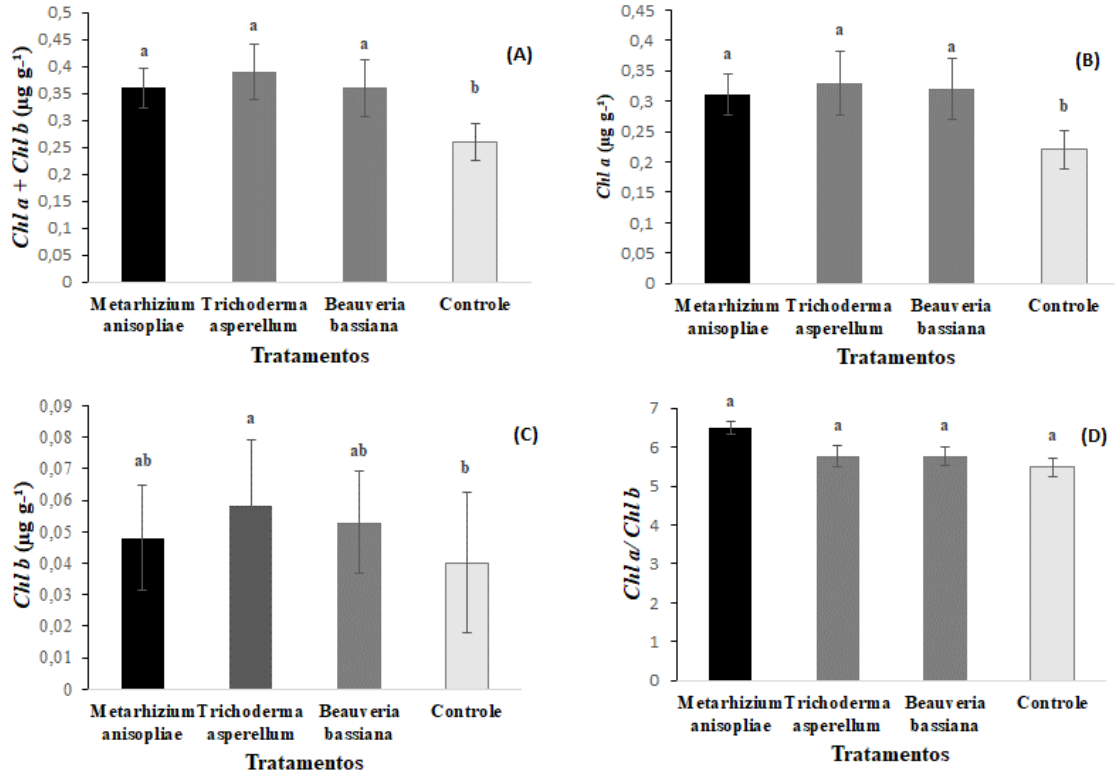
1496

1497

1498

Quanto aos carboidratos, as plantas bioestimuladas com fungos entomopatogênicos e promotor de crescimento apresentaram diferentes respostas nas concentrações de sacarose, frutose e glicose, em relação às plantas controle (Figura 19). Por outro lado, não houve variação na concentração de amido nas folhas entre plantas inoculadas.

1499 Figura 18. (A) Teores totais de clorofila *a* + clorofila *b*, (B) clorofila *a*, (C) clorofila *b* e (D)  
 1500 razão entre *Chla* e *Chlb* de plantas inoculadas com fungos entomopatogênicos e promotor de  
 1501 crescimento, em resposta a promoção do crescimento de plantas de jambu *Acmella oleracea*  
 1502 (L.) R.K. Jansen, em sistema de cultivo protegido.

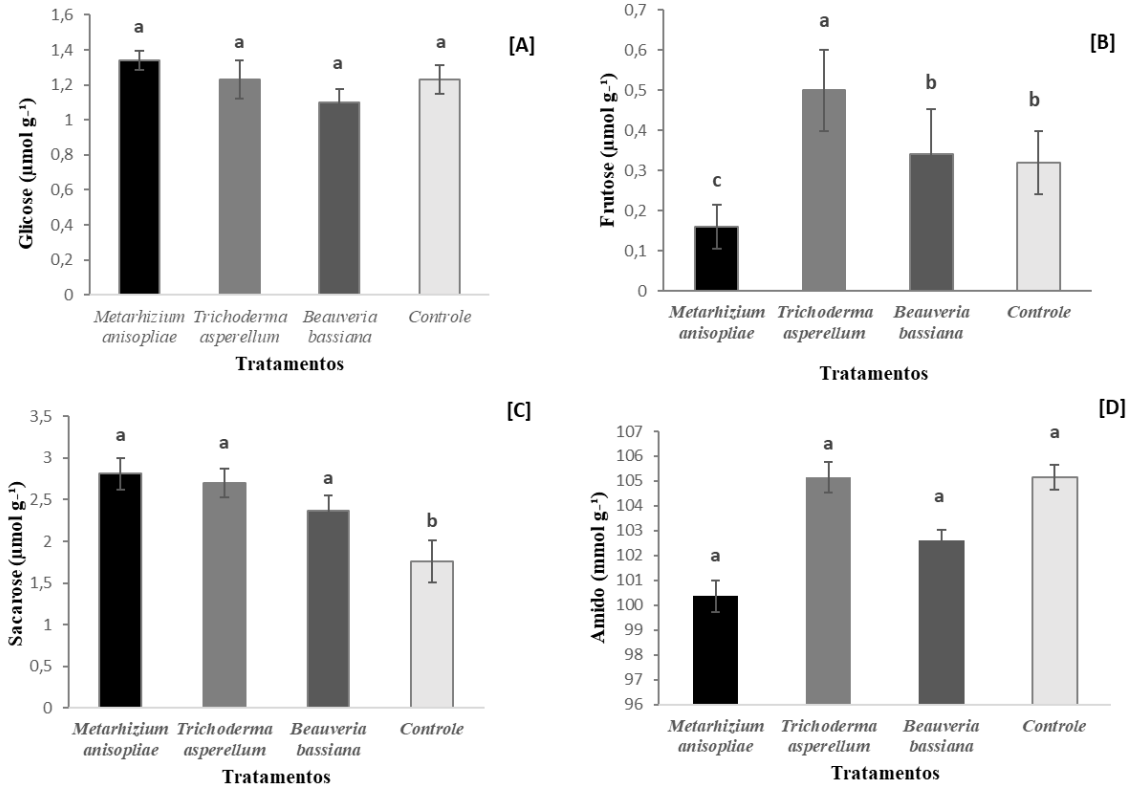


1503 \*Letra minúscula comparam médias pelo teste de Tukey a 5% de probabilidade de significância. Os valores são  
 1504 apresentados com médias de quatro repetições.  
 1505

1506 De acordo com as respostas de concentração de frutose houve incremento em plantas  
 1507 inoculadas com *T. asperellum* em 56%. Para os tratamentos com os fungos entomopatogênicos  
 1508 não houve diferença significativa entre o controle e o tratamento com *B.bassiana*. As plantas  
 1509 tratadas com *M. anisopliae* apresentaram concentrações de frutose menores que no tratamento  
 1510 controle. Com os dados obtidos para a concentração de sacarose foi possível obter incremento  
 1511 em todas as plantas bioestimuladas em relação ao controle (Figura 19 C). Os incrementos foram  
 1512 de 60% para plantas inoculadas com *M. anisopliae*, 53% com *B.bassiana* e 34% com plantas  
 1513 inoculadas com *T. asperellum*.

1514  
 1515  
 1516  
 1517  
 1518  
 1519  
 1520  
 1521  
 1522  
 1523

1524 Figura 19. Concentrações foliares de sacarose[A]; frutose [B]; glicose [C]; amido [D], em  
 1525 plantas inoculadas com fungos entomopatogênicos e promotor de crescimento, em resposta a  
 1526 promoção do crescimento de plantas de jambu *Acemella oleracea* (L.) R.K. Jansen, em sistema  
 1527 de cultivo protegido.



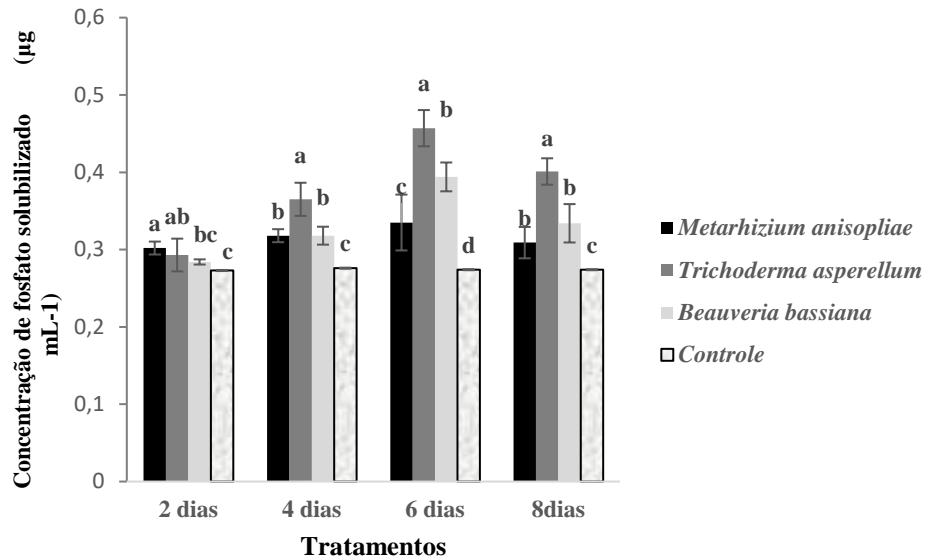
1528  
 1529  
 1530  
 1531

\*Letras minúsculas comparam médias pelo teste de Tukey a 5% de probabilidade de significância. Os valores são apresentados com médias de quatro repetições.

1532 No que se refere a resposta de solubilização de fostato, todos os isolados fúngicos  
 1533 mostraram crescimento micelial em meio NBRIP modificado. A concentração de fosfato  
 1534 solubilizado gradualmente aumentou, para todos os isolados, de dois a seis dias, e diminuiu em  
 1535 seguida, no oitavo dias de crescimento (Figura 20 ).

1536  
 1537  
 1538  
 1539  
 1540  
 1541  
 1542  
 1543  
 1544  
 1545  
 1546  
 1547  
 1548  
 1549

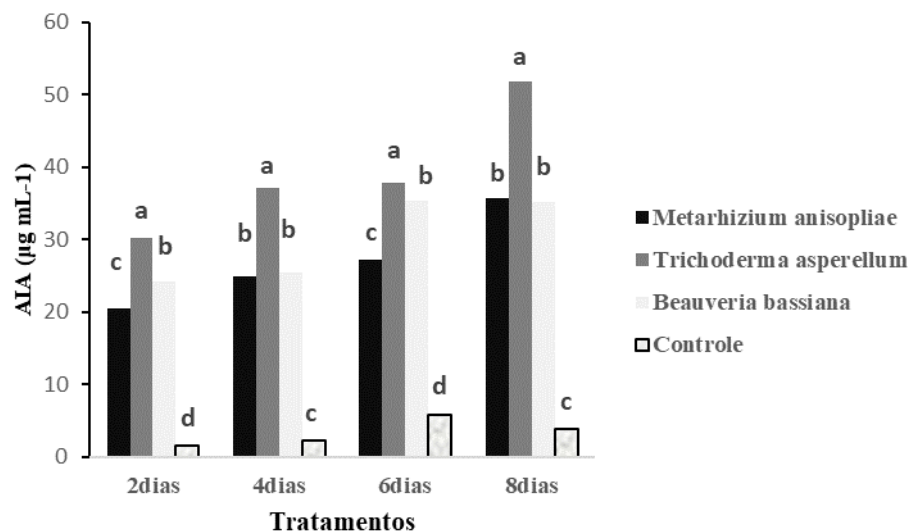
1550 Figura 20. Solubilização de fosfato de cálcio ( $10 \text{ g L}^{-1}$ ) em meio NBRIP (modificado) por  
 1551 isolados de *Metarhizium anisopliae*, *Trichoderma asperellum* e *Beauveria bassiana*, em  
 1552 diferente intervalo de tempo (dias).



1553 \*Letra minúscula comparam médias pelo teste de Tukey a 5% de probabilidade de significância. Os valores são apresentados  
 1554 com médias de quatro repetições.  
 1555  
 1556

1557 Quanto à capacidade de sintetizar ácido indol acético (AIA), todos os isolados  
 1558 produziram AIA no meio de cultura FAN suplementado com L-triptofano, em relação ao  
 1559 controle (Figura 21). O isolado *T. asperellum* foi o fungo que apresentou as maiores médias  
 1560 durante do período de avaliação (Figura 21).  
 1561

1562 Figura 21. Produção de AIA ( $\mu\text{g mL}^{-1}$ ) por isolados de *Metarhizium anisopliae*, *Trichoderma*  
 1563 *asperellum* e *Beauveria bassiana* em meio FAN na presença de L-triptofano<sup>1</sup>.



1564 \*Letras minúsculas comparam médias pelo teste de Tukey a 5% de probabilidade de significância. Os valores são apresentados  
 1565 com médias de quatro repetições.  
 1566  
 1567

1568 **DISCUSSÃO**

1569 Os fungos desenvolveram diversas formas de interagir com uma variedade de  
1570 organismos vivos, incluindo plantas, ao longo da evolução. Gêneros distintos de fungos  
1571 entomopatógenos também foram identificados como endófitos de plantas (VEGA, 2008).  
1572 Portanto, o estilo de vida multifacetado de fungos entomopatogênicos, como saprófitos,  
1573 endófitos e agentes de biocontrole, podem oferecer vários benefícios à planta hospedeira, como  
1574 promover o crescimento e proteção contra patógenos e pragas de insetos (HAO et al., 2021;  
1575 AW e HUE, 2017). A promoção do crescimento de plantas e habilidades endofíticas dos fungos  
1576 entomopatogênico *Metarhizium* spp. e *Beauveria* spp., atualmente vem sendo explorado.

1577 O presente trabalho demonstrou que plantas de jambu inoculadas com *M. anisopliae*,  
1578 *B. bassiana* e com o promotor de crescimento *T. asperellum* obtiveram maiores níveis de  
1579 clorofila a, b e clorofila total (a+b), em comparação com as plantas não inoculadas, tratamento  
1580 controle. O aumento observado no teor de clorofila total quando as plantas inoculadas com *M.*  
1581 *anisopliae*, *B. bassiana* e *T. asperellum* correlacionaram-se com o aumento de sua biomassa  
1582 observadas no capítulo 1, gerando plantas mais vigorosas. O aumento no teor de clorofila  
1583 durante a interação da planta com microrganismos sonoros, como espécies de *Trichoderma*,  
1584 fungos micorrízicos arbusculares, rizobactérias promotoras de crescimento de plantas e *M.*  
1585 *anisopliae* já foi relatado em diversos artigos (CHIRINO-VALLE et al., 2016; KHAN et al. ,  
1586 2012; NIETO-JACOBO et al., 2017; RAI et al., 2008; STEFAN et al., 2013; SUZUKI et al.,  
1587 2014). Khan e outros. (2012) informaram que plantas de soja inoculadas com *M. anisopliae*  
1588 (linhagem LHL07) sob estresse salino aumentaram os níveis de clorofila, transpiração e taxa  
1589 fotossintética.

1590 O aumento do conteúdo de clorofilas (*Chla* e *Chlb*) em plantas inoculadas pode ter  
1591 contribuído para a maior eficiência na absorção de luz, transferência de energia, transferência  
1592 de elétrons e maior controle na dissipação do excedente de energia térmica (SAMANIEGO-  
1593 GÁMEZ et al. 2016)

1594 Este estudo é o pioneiro em demonstrar que as inoculações de fungos  
1595 entomopatogênicos e promotor de crescimento *Trichoderma* em plantas, mudou a atividade de  
1596 alguns carboidratos em jambu, apoiando a hipótese de mudanças fisiológicas nas plantas após  
1597 tratamentos com os fungos entomopatogênicos *M. anisopliae* e *B. bassiana*, assim como, com a  
1598 inoculação do promotor de crescimento *T. asperellum*. Plantas inoculadas com *M. anisopliae*,  
1599 *B. bassiana* e *T. asperellum* apresentaram alterações nos níveis de sacarose e no nível de frutose.

1600 Os carboidratos, sacarose, glicose e frutose, não apenas regulam muitos processos no  
1601 ciclo de vida da planta, mas também atuam como moléculas de sinalização em plantas

1602 (GIBSON 2005; HALFORD et al., 2011). A sacarose é uma molécula central para o  
1603 metabolismo vegetal, que sofre clivagem hidrolítica irreversível por vacúolo, parede celular e  
1604 invertases citoplasmáticas em hexoses (glicose e frutose) (ROITSCH e GONZÁLEZ 2004).

1605 Também foi possível observar com esse estudo que, isolados fúngicos de *M. anisopliae*,  
1606 *B. bassiana* e *T. asperellum* produziram AIA no meio FAN suplementado com L-triptofano. A  
1607 produção do ácido indol-3-acético (IAA) também foi relatada em algumas espécies de  
1608 *Metarhizium*. Siqueira et al. (2020) verificaram que as cepas de *M. robertsii*, *M. humberi* e *M.*  
1609 *anisopliae* podem produzir IAA quando cultivadas em meio Potato Dextrose Broth com ou sem  
1610 L-triptofano. Assim como, a produção da auxina ácido indol-3-acético foi similarmente  
1611 associada a várias cepas de *Metarhizium* e *Beauveria* (LIAO et al., 2017). A produção de AIA  
1612 pelos isolados de *Trichoderma* e entomopatogenicos avaliados sugere o uso potencial desses  
1613 fungos como promotores do crescimento radicular de espécies vegetais de importância agrícola,  
1614 conforme documentado por Bjorkman (2004), Resende et al. (2004), Gravel et al. (2007) e  
1615 Carvalho Filho (2008).

1616 A pesquisa também encontrou que, todos os isolados fúngicos apresentaram o potencial  
1617 de solubilização de fostato do segundo ao sexto dia de avaliação, havendo redução na  
1618 solubilização de fostato, a partir do oitavo dia. A redução da concentração de fosfato  
1619 solubilizado, aos oito dias após a repicagem, pode ter sido em função da sua utilização pelos  
1620 fungos para os processos celulares. A diminuição gradual no concentração de fosfatos ao longo  
1621 do tempotambém foi reportada em outros trabalhos (NAUTIYAL, 1999; KAPRI & TEWARI,  
1622 2010) e, pode estar correlacionada com a sua fixação no micélio dos isolados fúngicos. Segundo  
1623 Kapri & Tewari (2010), este fosfato poderá ser libertado de uma forma facilmente disponível  
1624 em estreita proximidade com as raízes após a lise de micélio com a idade.

1625 Os resultados obtidos demonstram o potencial dos fungos entomopatogênicos *M.*  
1626 *anisopliae* e *B. bassiana* como possíveis promotores do crescimento vegetal, tendo em vista a  
1627 capacidade de aumentar os níveis de clorofila e os níveis de sacarose da planta, assim como,  
1628 tem a capacidade de solubilizar fosfato e síntese de AIA, porém é necessário testes de  
1629 inoculação de desses fungos em outras espécies vegetais.

1630

1631

## 1632 CONCLUSÃO

1633 - Os fungos entomopatogênicos *M. anisopliae* e *B. bassiana*, assim como o fungo *T.*  
1634 *asperellum* aumentaram os níveis de *Chl a* *Chl b* e *Chl* total em plantas de *A. oleracea*.

1635



1636 - Os fungos *M. anisopliae*, *B. bassiana* e *T. asperellum* inoculados em plantas de jambu,  
 1637 aumentaram o nível de sacarose, no entanto, apenas *T. asperellum* foi capaz de aumentar o nível  
 1638 de frutose nas plantas.

1639

1640 - Os três fungos avaliados no trabalho são capazes de solubilizar fosfato de cálcio em  
 1641 meio de cultura e produzir AIA na presença do percussor L-triptofano em meio de cultura FAN,  
 1642 destacando-se com os melhores resultados, o isolado *T. asperellum*.

1643

#### 1644 REFERÊNCIAS BIBLIOGRÁFICAS

1645

1646 ALABOUVETTE, C., HEILIG, U., E CORDIER, CH. “Controle microbiano de doenças de  
 1647 plantas”, em Microorganismos benéficos na agricultura, alimentação e meio ambiente:  
 1648 avaliação e regulamentação de segurança, eds I. Sundh, A. Wilcks, M. Stanisław Goettel, et al.  
 1649 (Wallingford: CAB International), 96–111. doi: 10.1079/ 9781845938109.0000. 2012.

1650

1651 AW, KMS, HUE, SM. Modo de infecção de *Metarhizium* spp. fungos e seu potencial como  
 1652 agentes de controle biológico. **J. Fungus** 3 (2), 30. 2017. <https://doi.org/10.3390/jof3020030> .

1653

1654 BARRA-BUCAREI L, IGLESIAS AF, GONZÁLEZ MG, AGUAYO GS, CARRASCO-  
 1655 FERNÁNDEZ J, CASTRO JF, CAMPOS JO. Atividade antifúngica do endófito *Beauveria*  
 1656 *bassiana* contra *Botrytis cinerea* em duas culturas de *Solanaceae* . *Microorganismos* 8:1–15.  
 1657 <https://doi.org/10.3390/microorganisms8010065>. 2020.

1658

1659 BARROSO, C.B.; NAHAS, E. Solubilização de fosfato de ferro em meio de cultura. **Pesquisa**  
 1660 **Agrropecuária Brasileira**, Brasília, v. 43, n. 4, p. 529-535, 2008.

1661

1662 BENNEKOU, S.H. Caminhando em direção a uma abordagem holística para avaliação de  
 1663 riscos à saúde humana – A abordagem atual é adequada para o propósito? *EFSA J.* 17:e170711.  
 1664 2019. doi: 10.2903/

1665

1666 BJORKMAN, T. Effect of *Trichoderma* colonization on auxin-mediated regulation of root  
 1667 elongation. **Plant Growth Regulation**, Berlin, v. 43, n. 1, p. 89-92, 2004.

1668

1669 CABALLERO-MELLADO, J. Microbiología agrícola y interacciones microbianas con plantas.  
 1670 **Revista Latinoamericana de Microbiología**, México, v. 48, n. 2, p. 154-161, 2006.

1671

1672 CARVALHO FILHO, M.R. ***Trichoderma* spp. como agentes de biocontrole de**  
 1673 ***Cylindrocladium scoparium* e como promotores de crescimento de mudas de eucalipto.**  
 1674 Brasília: Universidade de Brasília, 2008. 74p. Dissertação Mestrado.

1675

1676 CARVALHO FILHO, M.R. ***Trichoderma* spp. como agentes de biocontrole de**  
 1677 ***Cylindrocladium scoparium* e como promotores de crescimento de mudas de eucalipto.**  
 1678 Brasília: Universidade de Brasília, 2008. 74p. Dissertação Mestrado.

1679

1680 CHIRINO-VALLE, I., KANDULA, D., LITTLEJOHN, C., HILL, R., WALKER, M.,  
 1681 SHIELDS, M., WRATTEN, S. Potencial do fungo benéfico *Trichoderma* para melhorar o

- 1682 serviço ecossistêmico benefício no biocombustível grama *Miscanthus giganteus* na agricultura.  
1683 **ciência Rep.** 6, 25109. 2016. <https://doi.org/10.1038/srep25109>.  
1684
- 1685 CHOJNACKA, K., MOUSTAKAS, K. E WITEK-KROWIAK, A. Fertilizantes de base  
1686 biológica: uma abordagem prática para a economia circular. *Biorecurso. Tecnol.* 295:122223.  
1687 doi: 10.1016/j.biortech.2019.122223. 2020.  
1688
- 1689 FERNIE AR, CARRARI F, SWEETLOVE LJ. Respiratory metabolism: Glycolysis, the TCA  
1690 cycle and mitochondrial electron transport. *Curr. Opin. Plant Biol.* 2014  
1691
- 1692 GAVA, C.A.T.; MENEZES, M.E.L. Eficiência de isolados de *Trichoderma* spp no controle de  
1693 patógenos de solo em meloeiro amarelo. **Revista Ciência Agronômica**, Fortaleza, v. 43, n. 4,  
1694 p. 633-640, 2012.  
1695
- 1696 GIBSON SI. Controle do desenvolvimento de plantas e expressão gênica por sinalização de  
1697 açúcar. **Curr Opin Plant Biol** 8:93–102. 2005. <https://doi.org/10.1016/j.pbi.2004.11.003>  
1698
- 1699 GILL SS, TUTEJA N. Espécies reativas de oxigênio e maquinaria antioxidante na tolerância  
1700 ao estresse abiótico em plantas cultivadas. **Plant Physiol Biochem** 48:909–930.  
1701 <https://doi.org/10.1016/j.plaphy.2010.08.016>. 2010.  
1702
- 1703 GORDON, S.A.; WEBER, R.P. Colorimetric estimation of indole acetic acid. **Plant**  
1704 **Physiology**, Rockville, v. 26, n. 1, p. 192-195, 1951.  
1705
- 1706 GRAVEL, V.; ANTOUN, H.; TWEDDELL, R.J. Growth stimulation and fruit yield  
1707 improvement of greenhouse tomato plants by inoculation with *Pseudomonas putida* or  
1708 *Trichoderma atroviride*: Possible role of índole acetic acid (IAA). **Soil Biology &**  
1709 **Biochemistry**, Amsterdam, v. 39, n. 8, p. 1968-1977, 2007.  
1710
- 1711 HAO, Q., ALBAGHDADY, DMD, XIAO, Y., XIAO, X., MO, C., TIAN, T., WANG, G., 2021.  
1712 Endofítico *Metarhizium anisopliae* é um potencial agente de biocontrole contra o crescimento  
1713 de *Fusarium* do trigo causado por *Fusarium graminearum*. **J. Plant Pathol.** 2021. 1–11  
1714 <https://doi.org/10.1007/s42161-021-00866-6>.  
1715
- 1716 HARMAN, G.E., HOWELL, C.R., VITERBO, A., CHET, I., LORITO, M. *Trichoderma*  
1717 species opportunistic, avirulent plant symbionts. **Nature Review Microbiology**, London, v. 2,  
1718 n. 1, p. 43-56, 2004.  
1719
- 1720 HUANG, J., XU, C.-C., RIDOUTT, BG, WANG, X.-C., AND REN, P.-A. Perdas de nitrogênio  
1721 e fósforo e potencial de eutrofização associados à aplicação de fertilizantes em terras agrícolas  
1722 na China. *J. Limpo. Produtos.* 159, 171–179. doi: 10.1016/j.jclepro.2017.05.008. 2017.  
1723
- 1724 JABER LR, OWNLEY BH. Podemos usar fungos entomopatogênicos como endófitos para  
1725 controle biológico duplo de pragas de insetos e patógenos de plantas? *Biol. Controle* 116:36–  
1726 45. 2018.  
1727
- 1728 JABER, LR E ENKERLI, J. Entomopatogênicos fúngicos como endófitos: eles podem  
1729 promover o crescimento de plantas? *Biocontrol Sci. Technol.* 27, 28–41. 2017.  
1730

- 1731 JAMMER A, GASPERL A, LUSCHIN-EBENGREUTH N, ET AL. Determinação simples e  
1732 robusta da assinatura de atividade das principais enzimas do metabolismo de carboidratos para  
1733 fenotipagem fisiológica em plantas modelo e cultivadas. **J Exp Bot** 66:5531–5542.  
1734 <https://doi.org/10.1093/jxb/erv228>. 201
- 1735
- 1736 KAPRI, A.; TEWARI, L. Phosphate solubilization potential and phosphatase activity of  
1737 rhizospheric *Trichoderma* spp. **Brazilian Journal of Microbiology**, São Paulo, v. 41, n. 3, p.  
1738 787-795, 2010.
- 1739
- 1740 KHAN, AL, HAMAYUN, M., KHAN, SA, KANG, SM, SHINWARI, ZK, KAMRAN, M.,  
1741 LEE, IJ. A cultura pura de *Metarhizium anisopliae* LHL07 reprograma a soja para um maior  
1742 crescimento e mitiga o estresse salino. **Mundo J. Microbiol. Biotecnologia**. 28 (4), 1483-1494.  
1743 2012. <https://doi.org/10.1007/s11274-011-0950-9>.
- 1744
- 1745 KUREK, E. E OZIMEK, E. “O uso da atividade microbiológica do solo para aumentar a  
1746 disponibilidade de fósforo e potássio para as plantas,” em *Soil Microbial Activity and Its*  
1747 *Fertility*, eds J. Tyburski, B. Godden e MJ Pennickx (Olsztyn: University of Warmia and  
1748 Mazury em Olsztyn), 119–136. 2013.
- 1749
- 1750 LIAO, X.; LOVETT, B.; FANG, W.; ST. LEGER, R. J. *Metarhizium robertsii* produces indole-  
1751 3-acetic acid, which promotes root growth in *Arabidopsis* and enhances virulence to insects.  
1752 **Microbiology**. v.163, p. 980–991, 2017. DOI: 10.1099/mic.0.000494.
- 1753
- 1754 MACHADO, R.G.; SÁ, E.L.S.; DAMASCENO, R.G.; HAHN, L.; ALMEIDA, D.; MORAES,  
1755 T.; CAMARGO, F.A.O.; REARTES, D.S. Promoção de crescimento de *Lotus corniculatus* L.  
1756 e *Avena strigosa* Schreb pela inoculação conjunta de *Trichoderma harzianum* e rizóbio.  
1757 **Ciência e Natura**, Santa Maria, v. 33, n. 2, p. 111-126, 2011.
- 1758
- 1759 MARRONE, P.G. Produtos pesticidas naturais – situação e potencial futuro. Controle de  
1760 Pragas. **Sci.** 75, 2325–2340.2019.
- 1761
- 1762 MAUÉS, THAMIRES MONTEIRO SILVA ; DA SILVA COSTA, RAFAEL RODRIGO ;  
1763 DOS SANTOS, MARCOS ANTÔNIO SOUZA ; da Silva, Gisele Barata . Agro-economic  
1764 performance of banana tree under nutritional management with *Trichoderma asperellum*, in a  
1765 family production system. **AIMS AGRICULTURE AND FOOD** , v. 7, p. 297-311, 2022.
- 1766
- 1767 MORENO, S. C. *et al.* Bioactivity of compounds from *Acmella oleracea* against *Tuta absoluta*  
1768 (Meyrick) (Lepidoptera: Gelechiidae) and selectivity to two non-target species. **Pest**  
1769 **Management Science**, v. 68, n. 3, p. 386–393, 2012.
- 1770
- 1771 MOZUMDER, P. E BERRENS, RP. Uso de fertilizantes inorgânicos e risco à biodiversidade:  
1772 uma investigação empírica. **Eco. econ.** 62, 538–543. doi: 10.1016/j.ecolecon 2006.07.016.  
1773 2007.
- 1774
- 1775 MURPHY, J.; RILEY, J.P. A modified single solution method for determination of phosphate  
1776 in natural waters. **Analytical Chemistry Acta**, Amsterdam, v. 27, p. 31-36, 1962.
- 1777
- 1778 NAUTIYAL, C.S. An efficient microbiological growth medium for screening phosphorus  
1779 solubilizing microorganisms. **FEMS Microbiology Letters**, Malden, v. 170, n. 1, p. 265-270,  
1780 1999.
- 1781

- 1782 NIETO-JACOBO, MF, STEYAERT, JM, SALAZAR-BADILLO, FB, NGUYEN, DV,  
1783 ROST´AS, M., BRAITHWAITE, M., MENDOZA-MENDOZA, A.. Condições ambientais de  
1784 crescimento de *Trichoderma* spp. afetando conseqüências de ácido indol acético, compostos  
1785 orgânicos voláteis e promoção de crescimento de plantas. *Frente. Plant Sci.* 8, 102. 2017.  
1786 <https://doi.org/10.3389/fpls.2017.00102> .  
1787
- 1788 NORSE, D. Poluição difusa da produção agrícola: questões globais, regionais e nacionais.  
1789 *Pedofera* 15, 1–10. 2005.  
1790
- 1791 OLIVEIRA, P. R.; REMÉDIO, R. N.; BECHARA, G. H.; ANHOLETO, L. A.; CAMARGO-  
1792 MATHIAS, M. I. C. Dinotefuran-induced morphophysiological changes in the ovaries and  
1793 midgut of semi-engorged females *Rhipicephalus sanguineus* Latreille, 1806 (Acari: Ixodidae)  
1794 ticks. *Parasitology Research*, v. 115, n. 2, p. 829– 849, 2016a.  
1795
- 1796 PORRA et al. 1989. Determination of accurate extinction coefficients and simultaneous  
1797 equations for assaying chlorophylls a and b extracted with four different solvents: verification  
1798 of the concentration of chlorophyll standards by atomic absorption spectroscopy. *BBA -*  
1799 *Bioenerg* 975. 1989. [https://doi.org/10.1016/S0005-2728\(89\)80347-0](https://doi.org/10.1016/S0005-2728(89)80347-0)  
1800
- 1801 RAI, MK, SHENDE, S., STRASSER, RJ. Teste JIP para transientes de fluorescência rápida  
1802 como técnica rápida e sensível na avaliação da eficácia de fungos micorrízicos arbusculares em  
1803 *Zea mays*: análise de clorofila a fluorescência. *Biossist.* 142 (2), 191-198. 2008.  
1804 <https://doi.org/10.1080/11263500802150225>.  
1805
- 1806 RESENDE, M.L. Inoculação de sementes de milho utilizando o *Trichoderma harzianum* como  
1807 promotor de crescimento. *Ciência e Agrotecnologia*, Lavras, v. 28, n. 4, p. 793-798, 2004.  
1808
- 1809 ROITSCH T, GONZÁLEZ MC. Função e regulação das invertases vegetais: Doces sensações.  
1810 Tendências *Plant Sci* 9:606–613. 2004. <https://doi.org/10.1016/j.tplants.2004.10.009>  
1811
- 1812 RONDANELLI, M.; FOSSARI, F.; VECCHIO, V.; BRASCHI, V.; RIVA, A.; ALLEGRINI,  
1813 P.; PETRANGOLINI, G.; IANNELLO, G.; FALIVA, M.A.; PERONI, G.; et al. *Acmella*  
1814 *oleracea* for pain management. *Fitoterapia*, 140, 1044-19. [CrossRef]. 2020.  
1815
- 1816 SAMANIEGO-GÁMEZ, BY, GARRUÑA, R., TUN-SUÁREZ, JM, KANTUN-CAN, J.,  
1817 REYES-RAMÍREZ, A., Y CERVANTES-DÍAZ, L. *Bacillus* spp. a inoculação melhora a  
1818 eficiência do fotossistema II e aumenta a fotossíntese em plantas de pimenta. *Revista Chilena*  
1819 *de Pesquisa Agrícola*. 2016. 76(1), 77-83. DOI:76(4), 409–416.  
1820
- 1821 SÁNCHEZ-BAYO, F., E WYCKHUYS, KAG. Declínio mundial da entomofauna: uma revisão  
1822 de seus drivers. *Biol.Conserv.* 232, 8–27. 2019. doi: 10.1016/j. biocon.2019.01.020.  
1823
- 1824 SILVA FILHO, G.N.; NARLOCH, C.; SCHARF, R. Solubilização de fosfatos naturais por  
1825 microrganismos isolados de *Pinus* e *Eucalyptus* de Santa Catarina. *Pesquisa Agropecuária*  
1826 *Brasileira*, Brasília, v. 37, n. 6, p. 847-854, 2002.  
1827
- 1828 SILVA, V.N.; GUZZO, S.D.; LUCON, C.M.M.; HARAKAVA, R. Promoção de crescimento  
1829 e indução de resistência à antracnose por *Trichoderma* spp. em pepineiro. *Pesquisa*  
1830 *Agropecuária Brasileira*, Brasília, v. 46, n. 12, p. 1609-1618, 2011.  
1831

- 1832 SIMAS, N.K.; DELLAMORA, E.D.C.L.; SCHRIPSEMA, J.; LAGE, C.L.S.; DE OLIVEIRA  
1833 FILHO, A.M.; WESSJOHANN, L.; PORZEL, A.; KUSTER, R.M. Acetylenic 2  
1834 phenylethylamides and new isobutylamides from *Acmella oleracea* (L.) R. K. Jansen, a  
1835 Brazilian spice with larvicidal activity on *Aedes aegypti*. **Phytochemistry**, 6, 67–72.  
1836 [[CrossRef](#)], 2013.  
1837
- 1838 SIQUEIRA, ACO, MASCARIN, GM, GONÇALVES, CR, MARCON, J., QUECINE, MC,  
1839 FIGUEIRA, A., DELALIBERA JR., I. Características bioquímicas multicaracterísticas de  
1840 espécies de *Metarhizium* e suas atividades que estimulam o crescimento de plantas de tomate.  
1841 Frente. **Sustentar. Food Syst** 4, 137. 2020. <https://doi.org/10.3389/fsufs.2020.00137>.  
1842
- 1843 SOUCHIE, E.L.; ABBOUD, A.C.S.; CAPRONI, A.L. Solubilizadores de fosfatos *in vitro* por  
1844 microrganismos rizosféricos de guandu. **Bioscience Journal**, Uberlandia, v. 23, n. 2, p. 53-60,  
1845 2007.  
1846
- 1847 SOUCHIE, E.L.; AZCÓN, R.; BAREA, J.M.; SAGGIN-JÚNIOR, O.J.; SILVA, E.M.R.  
1848 Solubilização de fosfatos em meios sólido e líquido por bactérias e fungos do solo. **Pesquisa**  
1849 **Agropecuária Brasileira**, Brasília, v. 40, n. 11, p. 1149-1152, 2005.
- 1850 SOUSA, THATYANE PEREIRA ; CHAIBUB, AMANDA ABDALLAH ; CORTES,  
1851 MARCIO VINICIUS DE CARVALHO BARROS ; BATISTA, TELMA FÁTIMA COELHO  
1852 ; BEZERRA, GUSTAVO DE ANDRADE ; da Silva, Gisele Barata ; DE FILIPPI, MARTA  
1853 CRISTINA CORSI . Molecular identification of *Trichoderma* sp. isolates and biochemical  
1854 characterization of antagonistic interaction against rice blast. ARCHIVES OF  
1855 MICROBIOLOGY , v. xx, p. xx-xx, 2021.
- 1856 SPINOZZI, E.; PAVELA, R.; BONACUCINA, G.; PERINELLI, D.R.; CESPI, M.;  
1857 PETRELLI, R.; CAPPELLACCI, L.; FIORINI, D.; SCORTICHINI, S.; GARZOLI, S.; et al.  
1858 Spilanthal-rich essential oil obtained by microwave-assisted extraction from *Acmella oleracea*  
1859 (L.) R.K. Jansen and its nanoemulsion: Insecticidal, cytotoxic and anti-inflammatory activities.  
1860 **Ind. Crops Prod.**, 172, 114027. [[CrossRef](#)], 2021.  
1861
- 1862 STEFAN, M., MUNTEANU, N., STOLERU, V., MIHASAN, M., HRITCU, L. A inoculação  
1863 de sementes com Rizobactérias promotoras de crescimento de plantas aumentam a fotossíntese  
1864 e o rendimento do feijão (*Phaseolus coccineus* L.). **ciência Hortico**. 151, 22-29. 2013.  
1865 <https://doi.org/10.1016/j.scienta.2012.12.006>.  
1866
- 1867 SUZUKI, W., SUGAWARA, M., MIWA, K., MORIKAWA, M. Promovendo o crescimento  
1868 de plantas A bactéria *Acinetobacter calcoaceticus* P23 aumenta o teor de clorofila da  
1869 monocotiledônea *Lemna minor* (lentilha) e da dicotiledônea *Lactuca sativa* (alface). J. 2014.  
1870 **Biosci**.  
1871
- 1872 VASSILEV, N.; MEDINA, A.; AZCÓN, R.; VASSILEVA, M. Microbial solubilization of rock  
1873 phosphate on media containing agro-industrial wastes and effect of the resulting products on  
1874 plant growth and P uptake. **Plant and Soil**, Amsterdam, v. 287, n. 1-2, p. 77-84, 2006.  
1875
- 1876 VEGA FE. Patologia de insetos e endófitos fúngicos. **J Invertebr Pathol** 98:277–279. 2008.  
1877 <https://doi.org/10.1016/j.jip.2008.01.008>  
1878

- 1879 VEGA, FE, GOETTEL, MS, BLACKWELL, M., CHANDLER, D., JACKSON, MA,  
1880 KELLER, S., et al. Entomopatogênicos fúngicos: novos insights sobre sua ecologia. **Fungal**  
1881 **Ecol.** 2, 149–159. doi: 10.1016/j.funeco.2009.05.001 Vimal, SR, Singh, JS. 2009.  
1882  
1883 VEGA, FE. Patologia de insetos e fungos endofíticos. **J. Invertebr. Patol.** 98, 277-279. 2008.  
1884  
1885